

Geometría Hiperbólica  
(un enfoque elemental)

Tesis que para obtener el título de  
Licenciado en matemáticas

Presenta  
Luz María Marván Ardún

Ago 84



**UNAM – Dirección General de Bibliotecas**

**Tesis Digitales**  
**Restricciones de uso**

**DERECHOS RESERVADOS ©**  
**PROHIBIDA SU REPRODUCCIÓN TOTAL O PARCIAL**

Todo el material contenido en esta tesis está protegido por la Ley Federal del Derecho de Autor (LFDA) de los Estados Unidos Mexicanos (México).

El uso de imágenes, fragmentos de videos, y demás material que sea objeto de protección de los derechos de autor, será exclusivamente para fines educativos e informativos y deberá citar la fuente donde la obtuvo mencionando el autor o autores. Cualquier uso distinto como el lucro, reproducción, edición o modificación, será perseguido y sancionado por el respectivo titular de los Derechos de Autor.

A mis padres  
A mi maestro  
por excelencia  
Huis Che' Colavita

## Prólogo

Cuando empecé a pensar en escoger tema de tesis, quería trabajar en algo que se relacionara con la enseñanza de las matemáticas.

La profesora Guadalupe Lucio sugirió que el trabajo de tesis podía consistir en la elaboración de un programa para un curso de geometría no euclídea a nivel elemental (tercer o cuarto semestre de las licenciaturas en matemáticas), y en la redacción de las notas para dicho curso.

Posteriormente, el profesor Arturo Ramírez me propuso referirme únicamente a geometría hiperbólica, y seleccionó el material que debía incluir en el trabajo.

La tesis fue redactada bajo la dirección del profesor Carlos Boesch Gómez y con asesoría del profesor Arturo Ramírez. Las ilustraciones fueron entalladas por mi hermana Adriana.

Desgraciadamente, al presente trabajo le falta mucho todavía para poder usarse como notas de clase: la redacción no es tal vez la más adecuada para unas notas, no hay ejercicios, se supone que el lector tiene acceso a la bibliografía dada, cosa que no sucede con la mayoría de los alumnos de licenciatura, etc. Pero sobre todo, el material no ha sido ensayado, pues, por el momento, no existe la posibilidad de dar un curso de geometría hiperbólica a un nivel elemental.

Espero tener algún día la oportunidad de completar este trabajo.

Contenido

Contenido	1
Introducción	4
Primera Parte	
El postulado de las paralelas	5
Capítulo I El quinto postulado de Euclides	7
I.1 Euclides y la geometría euclídea	8
I.2 El quinto postulado de Euclides o postulado de las paralelas	11
I.3 "Demostaciones" del quinto postulado	16
I.3.1 "Demostación" de Wallé	17
I.3.2 "Demostación" de W. Bolyai	18
I.3.3 "Demostación" de Legendre	19
I.3.4 Otra "demostación"	22
Fragmento de carta de W. Bolyai	24
Capítulo II Independencia del quinto postulado	25
II.1 Modelos de Poincaré del semiplano	
II.1.1 ¿Qué es un modelo?	26
II.1.2 Modelos de Poincaré del semiplano	27
II.2 Independencia del quinto postulado	
II.3.1 Independencia del quinto postulado	33
II.3.2 Resultados de geometría euclídea que no son consecuencia de los cuatro primeros postulados	35
II.3 Modelos de Poincaré del disco y modelo de Beltrami-Klein	
II.3.1 Isomorfismo entre el modelo de Beltrami-Klein y el de Poincaré del semiplano	37
II.3.2 Isomorfismo entre el modelo de Poincaré del disco y el modelo de Poincaré del semiplano	39

	Segunda parte	
	Geometría hiperbólica	41
	desarrollo de la geometría hiperbólica	43
	Capítulo I $\lambda$ -congruencia	45
I.1.	$\lambda$ -isometrías	47
I.2.	cinco construcciones básicas	57
I.2.1	Dadas un $\lambda$ -punto $P$ y una $\lambda$ -recta $G$ , encontrar el transformado de $P$ bajo la invención con respecto a $G$	57
I.2.2	Dadas dos $\lambda$ -rectas $l$ y $g$ , encontrar el inversor de $l$ con respecto a $g$	57
I.2.3	Dadas dos $\lambda$ -puntos, encontrar la $\lambda$ -recta tal que la invención con respecto a ella transforme a uno en el otro	59
I.2.4	Dadas dos $\lambda$ -rectas, encontrar una $\lambda$ -recta tal que la invención con respecto a ella transforme a una en la otra!	60
I.2.5	Dadas una $\lambda$ -recta $l$ , encontrar una $\lambda$ -recta tal que al invertir con respecto a ella, $l$ se transforme en si misma globalmente.	61
I.3	$\lambda$ -congruencia	68
I.4	una $\lambda$ -isometría que no resultaría útil (transformar una sucesión de $\lambda$ -segmentos $\lambda$ -colineales $\lambda$ -congruentes $A_1 A_2, A_2 A_3, A_3 A_4$ etc. en la sucesión $A_2 A_3, A_3 A_4, A_4 A_5$ etc.)	73

<b>Capítulo II Conceptos básicos</b>	76
II.1 L-perpendiculares	77
II.2 L-mediatrices	82
II.3 L-bisectrices	85
II.4 L-círculos	89
<b>Capítulo III Paralelas</b>	94
III.1 L-paralelas y paralelas frontales	95
III.2 Perpendicular común	102
III.3 Distancia entre paralelas	107
<b>Capítulo IV L-triángulos</b>	110
IV.1 Suma de ángulos de un L-triángulo	113
IV.2 Congruencia de L-triángulos	116
IV.3 Teorema de Pitágoras	120
IV.4 L-bisectrices, L-mediatrices y L-alturas	
IV.4.1 L-bisectrices de un L-triángulo	125
IV.4.2 L-mediatrices de un L-triángulo	127
IV.4.3 L-alturas de un L-triángulo	133
<b>Apéndice</b>	141
<b>Bibliografía</b>	1

## Introducción

Este trabajo, titulado "Geometría hiperbólica en enfoque elemental", está dividido en dos partesencialmente distintas: "El postulado de las paralelas" y "Geometría hiperbólica".

Lo que pretendemos con la primera parte (Postulado de las paralelas) es, situar el surgimiento de la geometría hiperbólica en su correspondiente marco histórico y mostrar cómo puede usarse un modelo para verificar los axiomas de una cierta teoría.

En la segunda parte (Geometría hiperbólica), demostremos, trabajando únicamente con el modelo de Poincaré del semiplano, algunos resultados de geometría hiperbólica. En la mayoría de las demostraciones utilizaremos alguna propiedad intrínseca del modelo, como por ejemplo, el hecho de que la distancia definida para este modelo se preserva bajo inversión euclídea, por lo que nuestras demostraciones solo serán válidas en el modelo. Sin embargo, es posible demostrar que todos los resultados a que haremos referencia son válidos en general.

Lo que pretendemos con esta segunda parte no es demostrar la validez, en el modelo, de los resultados que presentaremos, sino más bien mostrar la utilidad del modelo en la obtención de dichos resultados.

## Primera Parte

El postulado de las paralelas

En esta primera parte, únicamente prepararemos el terreno para poder emplear al final de geometría hiperbólica.

En el primer capítulo (el quinto postulado de Euclides), haremos, después de explicar qué se entiende por geometría euclídea, del quinto postulado de Euclides (postulado de las paralelas).

Mencionaremos las razones por las cuales se pensaba que éste debía ser, no un postulado, sino un teorema de la geometría euclídea y analizaremos algunos de los intentos de demostración de dicho postulado.

En el segundo capítulo (la independencia del quinto postulado), demostraremos la imposibilidad de demostrar el postulado de las paralelas.

## Capítulo I

### el quinto postulado de Euclides

En este capítulo presentaremos una breve reseña histórica de los intentos de demostración del quinto postulado de Euclides, llamado también postulado de las paralelas.

En la sección I.1 (Euclides y la geometría euclídea) hablaremos del trabajo de Euclides y explicaremos quién se entiende por geometría euclídea.

A continuación, en la sección I.2 (El quinto postulado o postulado de las paralelas), mencionaremos las razones por las cuales se pensaba que el quinto postulado debía ser, no un postulado, sino un resultado de la geometría euclídea y nos referiremos, en términos muy generales, a algunos intentos de demostración del postulado.

Finalmente, en la sección I.3 ("Demostaciones" del quinto postulado), presentaremos con detalle cuatro intentos de demostración del quinto postulado y explicaremos por qué ninguno es válido.

Cerraremos el capítulo con una carta de W. Bolyai (1775-1856), que consideramos muestra lo agobiante que llegó a ser no poder resolver el problema del quinto postulado.

## I.1 Euclides y la geometría euclídea

Poco se sabe con certeza de la vida de Euclides. Es costumbre ubicarla alrededor del año 300 A.C. Sin embargo, algunos historiadores ponen en duda esta fecha y bien la existencia misma de Euclides, atribuyendo su obra a la labor conjunta de una escuela que pretendió recopilar todos los conocimientos matemáticos de la época.

La obra de Euclides sonata fundamentalmente de los famosos Elementos. Los Elementos de Euclides forman un conjunto de once libros dedicados al desarrollo lógico y sistemático de la geometría. Son considerados como la obra culminante de la matemática griega. Durante siglos fueron el texto obligado de geometría en todas las escuelas. Son el primer libro de fundamentación geométrica.

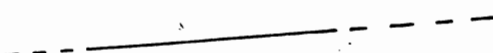
El libro I de los Elementos está dedicado a geometría plana. Euclides empleó este libro definiendo ciertos conceptos: punto, recta, superficie, rectas paralelas etc.

A continuación diré cinco postulados, es decir, hechos que supuso que se cumplían y que utilizó para ilustrar resultados.

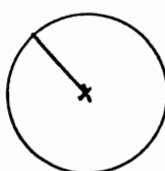
Postulado I.- Por dos puntos pasa una única recta.



Postulado II.- Una recta puede prolongarse indefinidamente.



Postulado III.- Un punto y una distancia determinan un círculo.

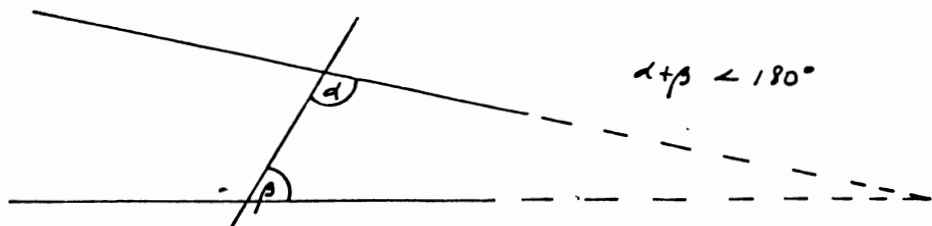


Postulado IV.- Todas las igualas rectas son iguales



Postulado IV.- Todas las ángulos rectos son iguales.

Postulado V.- Si una recta que corta a otras dos forma con ellas ángulos interiores del mismo lado de ella que sumados sean menores que dos rectos, las dos rectas, si se prolongan indefinidamente, se cortarán del lado en que dicha suma de ángulos sea menor que dos rectos.\*



Y estableció también lo que él llamó nociones comunes: cosas iguales a una tercera son iguales entre sí; si a iguales se suman iguales, los totales son iguales; si a iguales se restan iguales los residuos son iguales; las cosas que coinciden entre sí son iguales entre sí; el todo es mayor que la parte.

Utilizando las definiciones, los postulados y las nociones comunes, Euclides construyó toda su geometría. Todos los resultados que pueden obtenerse como consecuencia de los postulados de Euclides conforman lo que se conoce como geometría euclídea.

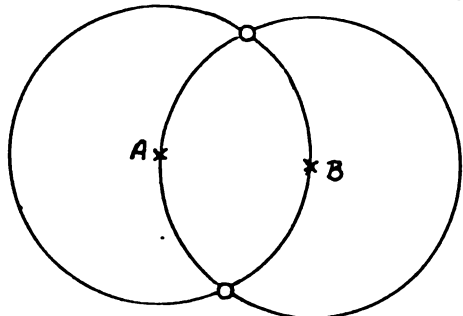
Los resultados de geometría euclídea son entonces no solamente los que Euclides demuestró en los Elementos, también todos los que se obtuvieron posteriormente, pero con base en los resultados de Euclides: Teorema de Menelao (fines del siglo I d.c.), Teorema de Desargues (1593-1622), Teorema de Pera (1647-1734) etc.

\* La manera como Euclides enunció sus postulados no es plenamente ésta. Para una traducción fija del original ver [3].

Se mencionan que, especialmente durante el siglo pasado, se hicieron algunas críticas al trabajo de Euclides, argumentando que éste presentaba algunas fallas lógicas.

Además de que algunas de sus definiciones fueron consideradas poco claras, se observó que Euclides utilizó en sus demostraciones suposiciones que ni postuló, ni demostró, ni pueden demostrarse con sus postulados.

Como ejemplo podemos mencionar que, en la primera demostración de los Elementos (proposición 1, libro I), Euclides consideró dos círculos, uno con centro en A y que pasa por B, y otro con centro en B y que pasa por A, y utilizando bien sus postulados ni haber demostrado ni postulado, el hecho de que dichos círculos se intersectaban.



El problema aquí radica no tanto en que Euclides haya utilizado algo que no demostró, sino en que, con los postulados de Euclides, no es posible demostrar que dichos círculos se intersectan.

Hilbert (1862-1943) renunció a Euclides postulando, en 1901, su libro *Fundamentos de la Geometría*, [8] en donde dio cinco grupos de axiomas (20. axiomas en total) para la geometría euclidiana.

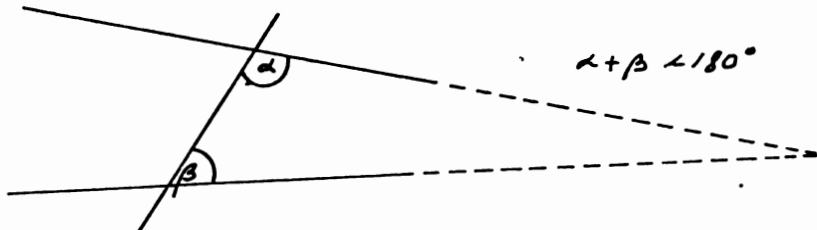
Con ellos es posible demostrar, apoyándose a la lógica más rigurosa, todos los resultados de geometría euclidiana.

El lector interesado en conocer las demostraciones de geometría que utilizan los axiomas de Hilbert puede consultar L33. Nosotros, cuando demostremos un resultado de geometría euclidiana lo haremos, en general, al estilo Euclides, sabiendo que, si quisieramos, podríamos utilizar los axiomas de Hilbert para una demostración impecable desde el punto de vista de la lógica.

## I.2 El quinto postulado de Euclides o postulado de las paralelas

Entre todas las postuladas de Euclides, el quinto postulado (axioma de las paralelas) en la axiomática de Hilbert), ocupa un lugar en cierto modo especial. El quinto postulado dice:

"Si una recta que corta a otras dos forma con éstas ángulos interiores del mismo lado de ella que sumados sean menores que dos rectos, las dos rectas, si se prolongan indefinidamente, se cortarán del lado en que dicha suma de ángulos sea menor que dos rectos"



Dende el principio el postulado fue objetado como tal. Proclo (410 - 485) en su obra "Comentarios al libro I de los Elementos de Euclides" dijo que puede ser engañoso suponer que el que la suma sea menor que dos rectos sirve las bases para creer que las rectas se cortan.

No es nuestra intención discutir aquí que tan "engañoso" o "foco evidente" puede ser el quinto postulado. Basta mencionar que a los griegos les preocupaba la naturaleza del postulado y que desde el principio se intentó prescindir de él.

Por otra parte, el reciproco del quinto postulado, es decir, la affirmación:

"Si dos rectas se cortan, al ser cortadas por una tercera se forman, de un lado de ella, ángulos interiores cuya suma es menor que dos rectas"

es un teorema que puede demostrarse utilizando únicamente las cuatro primeras postulaciones de Euclides (y con las axiomas de Hilbert, sin usar el de las paralelas, ver E57).

De hecho, la proposición 28 de los Elementos:

"Si una recta que corta a otras dos forma con ellas ángulos interiores del mismo lado cuya suma es dos rectas, las rectas son paralelas"

que Euclides obtuvo como consecuencia de las primeras cuatro postulaciones (ver E31), es el reciproco del quinto postulado.

Los griegos sabían que el hecho de que un teorema fuera demostrable, no implicaba necesariamente que su reciproco también lo fuera. Sin embargo, dada la gran cantidad de teoremas geométricos que son válidos tanto ellos como sus reciprocos, se pensó que tal vez fuera posible obtener también el quinto postulado (como consecuencia de las cuatro primeras), y esto se intentó de muy diversas maneras.

De hecho, no solamente durante la época de los griegos, sino a lo largo de dos mil años (desde Euclides hasta 1800), varios matemáticos trataron por todos los medios, de demostrar el quinto postulado.

Todo parece indicar que los primeros intentos que se hicieron para demostrar el postulado intentaban en realidad demostrar que las paralelas son equidistantes, pues se sabía que con la equidistancia podía obtenerse el quinto postulado.

Como esto no fue posible, Posidonius (siglo I A.C.) cambió la definición de paralelas. Euclides había definido a las paralelas como rectas que prolongándose indefinidamente en ambos sentidos, no se cortan ni en un sentido ni en otro; Posidonius propuso definirlas como rectas coplanares y equidistantes.

Sin embargo, hay un problema, y es que Euclides no postuló la existencia de las paralelas, sino que la demostró (Proposición 16). Lo que demostró en esta proposición fue la existencia de rectas que no se cortan, no la existencia de rectas equidistantes, por lo que para demostrar el quinto postulado era necesario no solamente cambiar la definición de paralelas, sino demostrar la existencia de rectas equidistantes, cosa que tampoco pudo hacerse.

Ptolomeo (siglo II d.c.) "demostró" el quinto postulado utilizando lo que posteriormente recibió el nombre del Axioma de Playfair: "Si una recta corta a una paralela a una recta por un punto fuera de ella es única", pero nunca demostró la unicidad de la paralela.

Proclo (410-485 d.c.) obtuvo el quinto postulado a partir de un resultado que "derrochará" previamente: "Si una recta corta a una paralela, corta a la otra". Para demostrar su resultado, Proclo utilizó, sin demostrarlo, que la distancia entre paralelas está acotada (ver L32), por lo que para aceptar su demostración es necesario primero aceptar lo anterior.

Ocho siglos después, el persa Nastradín al-Zuáni (1208-1274) obtuvo el postulado utilizando, como lema, que la suma de los ángulos interiores de un triángulo es igual a  $180^\circ$ . Supuestamente demostró el lema, pero la demostración de éste no es válida pues en ella intervienen argumentos que a su vez necesitan ser demostrados.

L. Clavius (1537-1612), obtuvo el quinto postulado suponiendo, sin saberlo demostrado, que el lugar geométrico de los puntos que equidistan de una recta y que están del mismo lado de ella, es otra recta.

También se "demonstró" el postulado suponiendo que dos paralelas a una tercera son paralelas entre sí.

A partir del siglo XVII, la mayoría de los matemáticos interesados en el problema del quinto postulado, lo que pretendían era demostrar la unicidad de la paralela o, en su defecto, que la suma de los ángulos interiores de un triángulo es  $180^\circ$ .

Por ejemplo J. Wallis (1616-1703), y posteriormente W. Bolyai (1775-1850) intentaron demostrar el postulado de Playfair. Sus intentos de demostración se presentarán con detalle en la siguiente sección.

G. Saccheri (1667-1733), J. H. Lambert (1728-1777) y A. M. Legendre (1752-1833) intentaron demostrar que la suma de ángulos de un triángulo es  $180^\circ$ .

Saccheri, trabajando con ciertos cuadriláteros (cuadriláteros de Saccheri) obtuvo una demostración correcta de que la suma de ángulos interiores de un triángulo no puede ser mayor que  $180^\circ$  y después intentó demostrar que no puede ser menor que  $180^\circ$ . No logró hacerlo; sin embargo, descubrió que si se podía demostrar que todo ángulo inscrito en un semicírculo es recto, o que dos paralelas siempre tienen una perpendicular común, se podía demostrar entonces que la suma de ángulos interiores de un triángulo no era menor que  $180^\circ$  y obtener así el postulado de las paralelas.

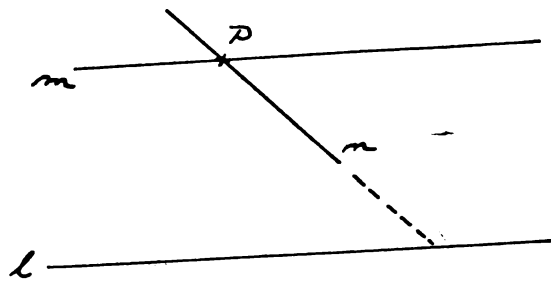
En 1823, Legendre pensó que había resuelto el problema del quinto postulado, "demostrando" que la suma de los ángulos de un triángulo es  $180^\circ$ . Al igual que Saccheri obtuvo una demostración correcta de que dicha suma no es mayor que  $180^\circ$ , y posteriormente "demostró" que tampoco puede ser menor, pero utilizando (consciente o inconscientemente) un hecho que no pudo demostrar y que propuso adoptar como axioma. En la siguiente sección presentaremos con detalle la demostración de Legendre.

### I.3 "Demostación" del quinto postulado

En esta sección presentamos cuatro intentos de demostración del quinto postulado. En las dos primeras lo que se pretende es demostrar el axioma de Playfair (unicidad de la paralela); en las dos últimas se pretende demostrar que la suma de ángulos interiores de todo triángulo es  $180^\circ$ .

Para una demostración de que tanto el axioma de Playfair como el hecho de que la suma de ángulos interiores de un triángulo sea  $180^\circ$  implica el quinto postulado, ver I.3

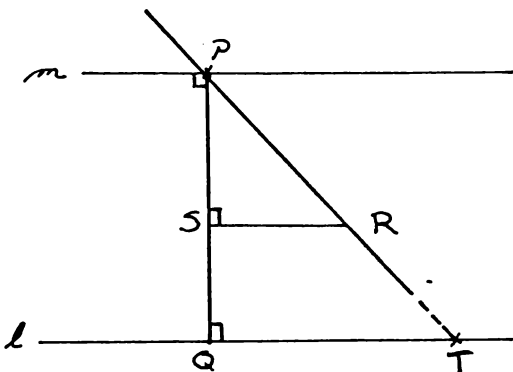
En las dos demostraciones del postulado de Playfair que presentamos a continuación, lo que se hace es, dados una recta  $l$  y un punto  $P$  fuera de ella, trazar una recta  $m$  paralela a  $l$  por  $P$ , después trazar una recta arbitraria por  $P$  ( $n$ ), diferente de  $m$  y "demostrar" que  $l$  y  $n$  se intersectan. En lo que resulta ser la única paralela a  $l$  por  $P$ .



Demostración I.3.1 (J. Wallis 1616 - 1703)

Sea  $l$  una recta, y  $P$  un punto fuera de  $l$ . Tracemos desde  $P$  una perpendicular a  $l$  y llámennos  $Q$  a su pie.

Tracemos, por  $P$ , una recta  $m$  perpendicular a  $PQ$ ,  $l$  y  $m$  resultan ser paralelas.



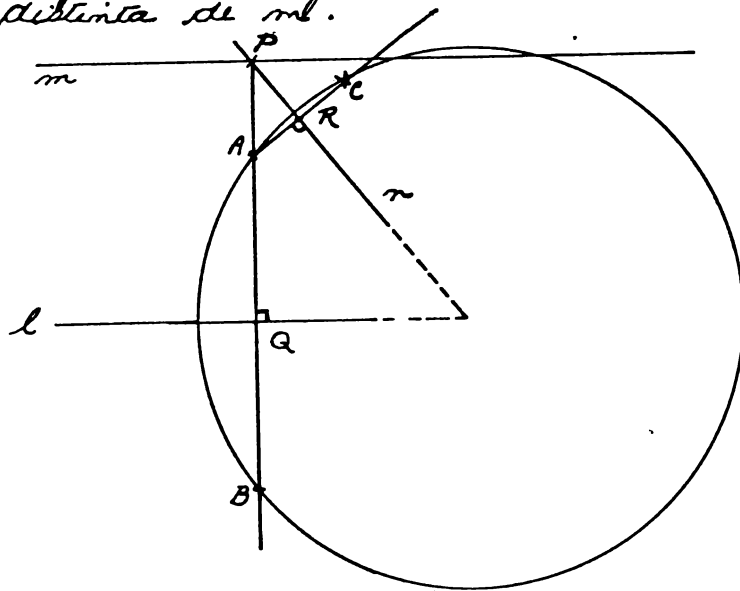
Sea  $n$  una recta por  $P$  diferente de  $m$  y sea  $R$  un punto de  $n$  en la región comprendida entre  $l$  y  $m$ . Tracemos desde  $R$  una perpendicular a  $PQ$  y llámanos  $S$  a su pie.

Tracemos un triángulo  $PQT$  semejante al triángulo  $PSR$ , es decir, un triángulo  $PAT$  tal que  $\angle PQT = \angle PSR$ ;  $\angle QTP = \angle SPR$  y  $\angle TPA = \angle RPS$ .

Entonces  $T$  está sobre  $n$  ( $n = PR$ ) y sobre  $m$  ( $l$  es perpendicular a  $PQ$ ), por lo que  $n$  y  $l$  se intersectan en  $T$  y por lo tanto no son paralelas y  $m$  es la única paralela a  $l$  por

Demostración I.3.2 (basada en un argumento de W. Bolyai 1775 - 1856)

Sea  $l$  una recta y sea  $P$  un punto fuera de  $l$ .  
 Sea  $Q$  el pie de la perpendicular de  $l$  desde  $P$   
 y sea  $m$  otra p. la perpendicular a  $PQ$  por  $P$ .  
 $l$  y  $m$  son paralelas! (Seas  $n$  una recta por  $P$   
 distinta de  $m$ .)



Sea  $A$  un punto  
 del segmento  $PQ$ .  
 Sean  $B \neq A$  el  
 punto sobre la  
 recta  $PQ$  tal que  
 $AQ = QB$ .

Tracemos la per-  
 pendicular a  $m$   
 desde  $A$  y la-  
 mamos  $R$  a su  
 pie.

Sea  $C \neq A$  el punto  
 sobre la recta  
 $AR$  tal que  $AR = RC$ .

$A, B$  y  $C$  son tres puntos no colineales. Tracemos el  
 círculo que pasa por ellos.

$AC$  y  $AB$  resultan ser cuerdas de este círculo, y  
 $l$  y  $m$  medianas de esas cuerdas, por lo que  
 $l$  y  $m$  se intersectan en el centro del círculo y  
 entonces no son paralelas y  $m$  es la única pa-  
 lela a  $l$  por  $P$ .

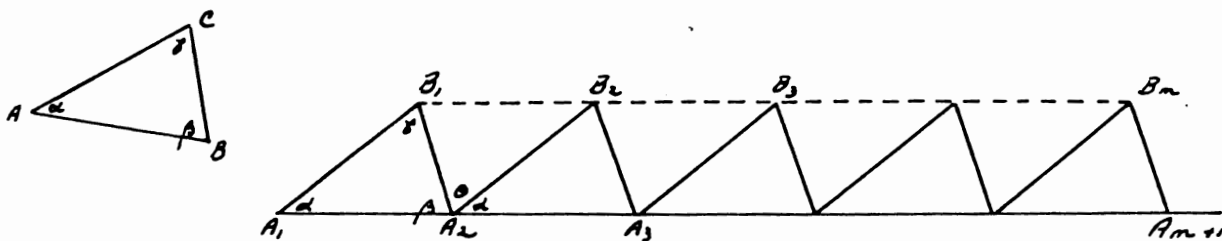
"La suma de los ángulos interiores de todo triángulo es igual a  $180^\circ$ "

Demostración I.3.3 (Legendre)

i) No existen triángulos tales que la suma de sus tres ángulos interiores sea mayor que  $180^\circ$ .

Demostración: Supongamos que existe un triángulo  $AOC$  cuyos ángulos interiores,  $\alpha, \beta$  y  $\gamma$ , suman más de  $180^\circ$ .

Sobre una recta marquemos  $n+1$  puntos  $A_1, A_2, A_3, \dots, A_{n+1}$  tales que  $A_2$  está entre  $A_1$  y  $A_3$ ;  $A_3$  entre  $A_2$  y  $A_4$ ;  $A_n$  entre  $A_3$  y  $A_5$  etc. y tales que los segmentos  $A_1A_2, A_2A_3, A_3A_4, \dots, A_nA_{n+1}$  son congruentes con  $AB$ .



Sobre cada uno de los segmentos  $A_iA_{i+1}$ ,  $1 \leq i \leq n$ , construyamos un triángulo  $A_iA_{i+1}B_i$  congruente con el triángulo  $ABC$  (Todos los triángulos deben estar del mismo lado de la recta  $A_1A_{n+1}$ ).

Sea  $\theta$  el ángulo  $B_iA_2B_2$ . Entonces  $\alpha + \beta + \theta = 180^\circ$ , y como estamos suponiendo que  $\alpha + \beta + \gamma > 180^\circ$ , tenemos que  $\gamma > \theta$ .

Como  $\gamma > \theta$ ,  $A_1A_2 > B_1B_2$  y, en general,  $A_iA_{i+1} > B_iB_{i+1}$   
 $(1 \leq i \leq n)$

$$A_iA_{i+1} > B_iB_{i+1} \quad (1 \leq i \leq n) \dots (1)$$

Por otra parte, el segmento  $A_1A_{n+1}$  es menor que la poligonal  $A_1B_1 + B_1B_2 + \dots + B_nB_n + B_nA_{n+1}$ , es decir,

$$m(A_1A_{n+1}) < A_1B_1 + B_1B_2 + \dots + B_nB_n + B_nA_{n+1}$$

de donde

$$m(A_1A_2 - B_1B_2) < A_1B_1 + B_nA_{n+1}$$

y como  $B_nA_{n+1} = B_1A_2$ , tenemos que

$$m(A_1A_2 - B_1B_2) < A_1B_1 + B_1A_2 \dots (2)$$

por (1), la diferencia  $A_1A_2 - B_1B_2$  es igual a un segmento  $m$  mlti  $c$ , por lo que (2) puede escribirse en la forma

$$m \cdot c < A_1B_1 + B_1A_2 \dots (3)$$

lo cual es un absurdo, pues no puede ser arbitrariamente grande.

Por lo tanto,  $\gamma$  no puede ser mayor que  $0^\circ$ , de donde  $\alpha + \beta + \gamma$  no puede ser mayor que  $180^\circ$  y así no existen triángulos cuya suma de ángulos interiores sea mayor que  $180^\circ$ .

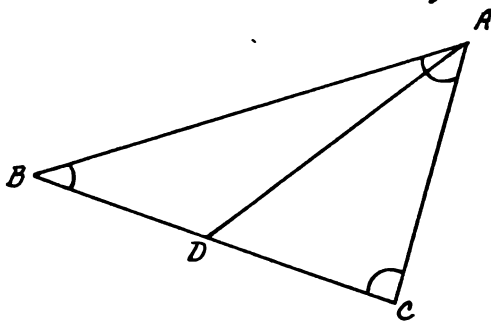
(ii) No existen triángulos cuya suma de ángulos interiores sea menor que  $180^\circ$ .

Para demostrar esto, utilizaremos el concepto de defecto de un triángulo. El defecto de un triángulo cuyos ángulos interiores son  $\alpha, \beta$  y  $\gamma$ , se define como el ángulo  $\delta$  tal que  $\alpha + \beta + \gamma + \delta = 180^\circ$  es decir,  $\delta = 180^\circ - (\alpha + \beta + \gamma)$ .

Observa que el defecto no puede ser mayor que  $180^\circ$ .

El defecto,  $\delta$ , tiene la siguiente propiedad: si dividimos un triángulo por medir de una recta por un vértice, en dos subtriángulos, el defecto del triángulo original es igual a la suma de los defectos de los dos subtriángulos.

Para demostrar esta propiedad del defecto consideremos, un triángulo  $AOC$  y una recta  $CD$  por el vértice  $C$  que intersecte al lado  $AB$  en  $D$ .



$\delta_1$ , el defecto de  $AOC$ , es igual a 2 rectos - ( $\angle AOC + \angle OCA + \angle CAO$ )

$\delta_2$ , el defecto de  $COB$ , es igual a 2 rectos - ( $\angle COB + \angle CAB + \angle AOC$ ).

$\delta_3$ , el defecto de  $COB$  es igual a 2 rectos - ( $\angle BCO + \angle CDB + \angle DCB$ ).

Tenemos así que

$$\begin{aligned}
 \delta_1 + \delta_2 &= 2 \text{ rectos} - (\angle DCA + \angle CAO + \angle ADC) + \\
 &\quad 2 \text{ rectos} - (\angle BCO + \angle CDB + \angle DCB) \\
 &= 4 \text{ rectos} - \angle CAO - \angle DCB - (\angle DCA + \angle BCO) \\
 &\quad - (\angle AOC + \angle CDB) \\
 &= 4 \text{ rectos} - \angle CAO - \angle DOC - \angle BCA - 2 \text{ rectos} \\
 &= 2 \text{ rectos} - (\angle CAB - \angle AOC - \angle DCA) \\
 &= \delta
 \end{aligned}$$

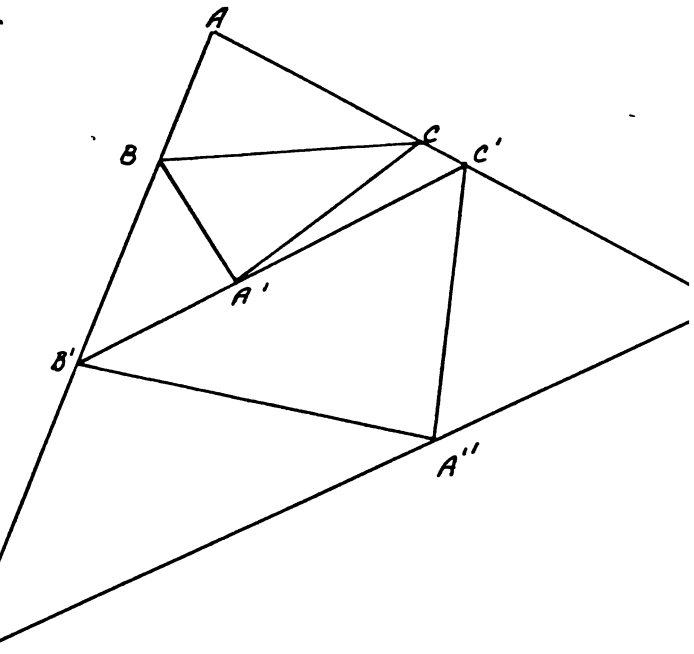
En general, si dividieras un triángulo en  $n$  subtriángulos, el defecto del triángulo original es igual a la suma de los defectos de los  $n$  subtriángulos.

Ahora, para demostrar que la suma de ángulos de un triángulo no puede ser menor que  $180^\circ$ , supongamos que existe un triángulo  $ABC$  cuyos ángulos interiores suman menos que  $180^\circ$ .

Entonces d. el defecto de  $ABC$ , es estrictamente mayor que cero.

Reflejando  $A$  sobre  $BC$  obtenemos un punto  $A'$  tal que los triángulos  $ABC$  y  $A'BC$  son congruentes, por lo que tienen el mismo defecto,  $d_1$ .

Prolongando los lados  $AB$  y  $AC$  del triángulo  $ABC$  y trazando una recta por  $A'$  que intersecte a las prolongaciones de  $AB$  y  $AC$  en  $B'$  y  $C'$  respectivamente, obtenemos un triángulo  $A'B'C'$  tal que dos de sus subtriángulos ( $ABC$  y  $A'BC$ ), tienen defecto  $d_1$ , por lo que su defecto es mayor o igual que  $2d_1$ .



Volviendo a reflejar  $A$ , pero ahora sobre  $B'C'$ , obtenemos un punto  $A''$  tal que el triángulo  $A''BC$  es congruente con el triángulo  $A'B'C'$ , por lo que su defecto es también mayor o igual que  $2d_1$ .

Trazando una recta por  $A''$  que intersecte a las prolongaciones de  $AB'$  y  $AC'$  en  $B''$  y  $C''$  respectivamente, obtenemos un triángulo  $A''B''C''$  tal que dos de sus subtriángulos tienen defecto mayor o igual que  $2d_1$ , por lo que el defecto de  $A''B''C''$  es por lo menos  $4d_1$ .

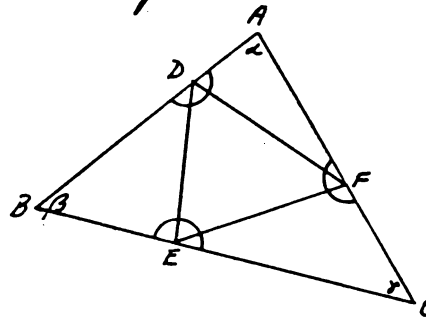
Repetiendo este proceso tantas veces como sea necesario, podemos obtener un triángulo  $A''''B''''C''''$  cuyo defecto,  $d$ , sea mayor que  $180^\circ$ , lo cual es imposible, y esto implica que no existen triángulos cuya suma de ángulos interiores sea menor que  $180^\circ$ .

Habiendo demostrado que no existen triángulos cuya suma de ángulos es mayor que  $180^\circ$ , y que no existen triángulos cuya suma de ángulos es menor que  $180^\circ$ . Tenemos que, en todo triángulo, la suma de ángulos interiores es igual a  $180^\circ$ .

Otra manera de "demostrar" que la suma de ángulos de un triángulo es  $180^\circ$ , es la siguiente:

Demostración I.3.4 Sean  $ABC$  un triángulo y sean  $\alpha, \beta$  y  $\gamma$  sus ángulos interiores.

Sean  $x$  la suma de los ángulos interiores de un triángulo. Entonces  $\alpha + \beta + \gamma = x$ .



Sean  $\delta, \epsilon$  y  $\zeta$  tres puntos sobre cada uno de los lados del triángulo  $ABC$ .

Unamos estos puntos para formar cuatro subtriángulos de  $ABC$ .

la suma de los ángulos interiores de cada uno de estos subtriángulos es  $x$ , por lo que la suma de los ángulos interiores de los cuatro subtriángulos es  $4x$ .

Pero dicha suma es igual a

$$\begin{aligned} & \alpha + \angle ADF + \angle FDE + \angle EDB + \beta + \angle BDE + \angle DEF + \angle FEC + \gamma \\ & + \angle CFE + \angle FED + \angle DEA = \end{aligned}$$

$$\alpha + 180^\circ + \beta + 180^\circ + \gamma + 180^\circ = \alpha + \beta + \gamma + 3(180^\circ)$$

y así

$$4x = \alpha + \beta + \gamma + 3(180^\circ),$$

y como  $\alpha + \beta + \gamma = x$ , tenemos que

$$3x = 3(180^\circ)$$

de donde

$$x = 180^\circ.$$

Por increíble que parezca, ninguna de estas demostraciones es válida, pues, en cada una de ellas, interviene un argumento que como se demostraría posteriormente, no es posible obtener como consecuencia de las primeras cuatro postuladas.

Estos argumentos son los siguientes:

En la demostración de Wallis del postulado de Playfair (demostración I.3.1), se utiliza que, dado un triángulo  $PQR$ , y un segmento  $(PQ)$ , siempre es posible construir un triángulo  $(PQT)$ , semejante al dado y tal que uno de sus lados sea el segmento dado.

Wallis sabía que esto no podía obtenerse como consecuencia de las primeras postuladas, por lo que propone adoptar como axioma. (postulado de Wallis).

En la demostración de Bolyai del postulado de Playfair (demostración I.3.2), el error consiste en suponer que dados tres puntos no colineales, siempre existe un círculo que pasa por ellos.

Por lo que se refiere a la demostración de Legendre de que la suma de ángulos de todo triángulo es  $180^\circ$ , la primera parte, es decir, donde se demuestra que tal suma no puede ser mayor que  $180^\circ$ , es válida.

Ain embargo, en la segunda parte, hay un argumento

"Dado un punto  $(A')$  en el interior de un ángulo  $\angle (CAB)$ , siempre es posible trazar una recta  $(O'C')$  que pase por el punto dado, y que intersecte al ambos lados del triángulo".

que no es consecuencia de las primeras postuladas, y que Legendre propuso adoptar como axioma (axioma de Legendre).

En la última demostración (demostración I.3.4), tomada de [5], el error consiste en suponer que todo triángulo tiene la misma suma de ángulos.

Finalizamos este capítulo con un fragmento de la carta que Wolfgang Bolyai (1775-1856), escribió a su hijo János (1802-1860), al enterarse que él también estaba intentando resolver el problema del postulado de las paralelas.

... No debes intentar sacarte a la ciencia de las paralelas. Conozco este camino hasta el final, pues he atravesado esta noche sin fondo que ilumina toda luz y alegría de mi vida. Te lo ruego, déja en paz a la ciencia de las paralelas...

... Yo pensé en sacrificarme por la verdad, luchar despiadadamente convirtiéndome en un mártir que borara la imperfección de la geometría y la devolvera purificada a la humanidad. Realicé trabajos monstruosos, enormes. Mis creaciones son bastante mejores que las de otros y aún así no logré obtener completa satisfacción... Regresé cuando vi que ningún hombre podía tocar el fondo de la noche. Regresé desconsolado, sintiendo la tristeza de mi mismo y de la humanidad...

... Admito que espero poco de lo que me comunicas. Siento que te estás abriendo en esas regiones, que te recorridas todas las edades de ese mar muerto y funerario y que te regresas siempre con el mástil roto y las velas desgarradas. La ruina de mi disposición y mi caída datan de ese tiempo. Ahresque sin pensar mi vida y mi felicidad...

## Capítulo II

### Independencia del quinto postulado

En el presente capítulo demostraríamos que el quinto postulado no puede demostrarse, es decir, demostraríamos, utilizando el modelo de Poincaré del semiplano, que el quinto postulado no es una consecuencia de las cuatro primeras.

En la sección II.1 (modelos de Poincaré del semiplano), aplicaremos qui se entiende por modelo de una geometría, presentaremos al modelo de Poincaré del semiplano, y demostraríamos que satisface las cuatro primeras postuladas de Euclides.

En la sección II.2 (independencia del quinto postulado), veremos que el modelo de Poincaré del semiplano no satisface el quinto postulado y que por lo tanto éste es independiente de las otras cuatro. Recordaremos además aquellas suposiciones a partir de las cuales podía obtenerse el quinto postulado, únicamente paraclarar que no son válidas si no se cuenta con el quinto postulado.

Finalmente, en la sección II.3 (modelos de Poincaré del disco y modelo de Beltrami - Klein) presentaremos otros dos modelos que, por ser isomórfos al modelo de Poincaré del semiplano, satisfacen también las cuatro primeras postuladas pero no satisfacen el quinto.

## II.1 Modelos de Poincaré del semiplano.

### II.1.1 ¿Qué es un modelo?

Actualmente, para revisar un conjunto de postulados, en particular para revisar si éstos son o no independientes, se utiliza el método de los modelos.

Para poder explicar qué es un modelo, hay que mencionar que, en general, en matemáticas los conceptos básicos se definen enumorando sus propiedades, y que en muchas teorías matemáticas los conceptos básicos no se definen explícitamente, pues los axiomas, o postulados de la teoría los definen explícitamente, hablando de sus propiedades.

La manera como se represente a los conceptos básicos de una teoría puede variar; pero para que una representación sea válida es necesario que ésta satisfaga los axiomas de la teoría.

Se llama modelo de un conjunto de postulados a cualquier representación, consistente con los postulados, de los conceptos básicos introducidos en ellos.

En el caso de la geometría, actualmente los conceptos de punto, recta y plano no se definen explícitamente; las propiedades de estos conceptos están determinadas por los axiomas.

Podemos, por lo tanto, representar a los puntos, las rectas y los planos como se nos venga en gana, siempre y cuando la representación sea consistente con los axiomas.

Hay otros conceptos, como el orden, la congruencia, la distancia entre dos puntos etc., que tampoco se definen explícitamente, pero que también están determinadas por los axiomas.

Así, en el caso de la distancia, por ejemplo, ésta puede definirse de manera distinta en cada modelo, lo importante es, que con cualquier definición que de ella se dé, se sigan cumpliendo los axiomas.

## II.1.2 Modelo de Poincaré del semiplano

El modelo de Poincaré del semiplano es un modelo que satisface los cuatro primeros axiomas de Euclides.

En este modelo, el "plano",  $\Pi$ , es uno de los semiplanos determinados por una recta a la que llamaremos eje  $x$ . Los puntos del eje  $x$  no pertenecen a  $\Pi$ .

Por comodidad, en las representaciones gráficas el eje  $x$  será una linea horizontal y  $\Pi$  el semiplano superior, lo que nos permitirá, entre otras cosas hablar de izquierda y derecha, arriba y abajo, sin que se preste a confusiones.

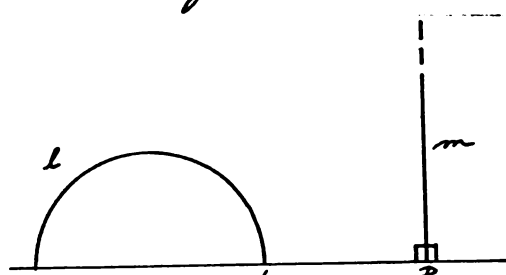
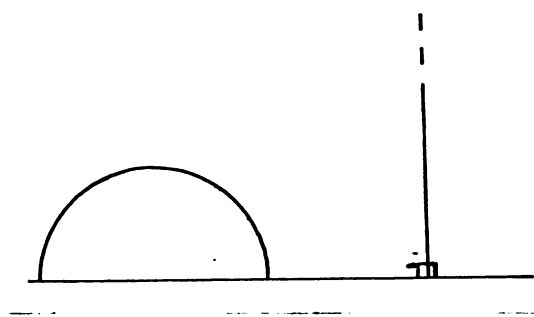
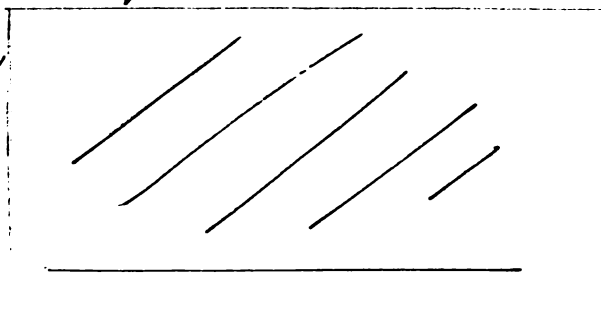
Las "rectas" son las  $e$ -semicircunferencias de radio finito o infinito contenidas en  $\Pi$  y perpendiculares al eje  $x$ , es decir, las "rectas" son las semicircunferencias con centros en el eje  $x$  y los rayos perpendiculares al eje  $x$ .

A los puntos se les representa de la manera usual.

Para evitar confusiones, a los elementos del modelo de Poincaré, los llamaremos  $h$ -elementos:  $h$ -punto,  $h$ -recta,  $h$ -círculos etc., y a los del modelo euclídeo, es decir, a los de la representación usual, los llamaremos  $e$ -elementos:  $e$ -recta,  $e$ -punto,  $e$ -círculo etc.

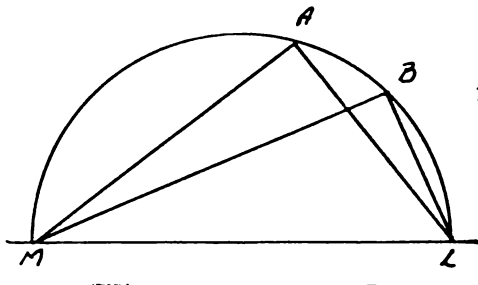
A los  $e$ -puntos en donde una  $h$ -recta intersecta al eje  $x$ , los llamaremos puntos al infinito.

En la figura,  $l$  y  $m$  son los puntos al infinito de la  $h$ -recta  $l$ , y  $P$  es un punto al infinito de la  $h$ -recta  $m$ . (El otro punto al infinito de la  $h$ -recta  $m$  está sobre la  $e$ -recta al infinito).



En este modelo, dados dos h-puntos A y B, la distancia entre ellos (h-distancia), se define como

$$d_h^A = \left| \log\left(\frac{AL}{L_0} / \frac{AM}{M_0}\right) \right|$$



Donde L y M son los puntos al infinito de las h-rectas que contiene a A y B y tales que A está entre M y B y B está entre A y L, y AL, L\_0, AM y MB son las e-longitudes de los e-segmentos AL, L\_0, AM y MB.

Al cociente  $\frac{AL}{L_0} / \frac{AM}{M_0}$  se le llama razón cruzada de A, B, L y M y se denota  $\{ABL\}$ .

En el caso en que la h-recta AB es un e-rayo, la e-longitud de los e-segmentos AL y L\_0 es infinita, bien embargo,

$$\lim_{L \rightarrow \infty} \frac{AL}{L_0} = -1$$

y así

$$\begin{aligned} \lim_{L \rightarrow \infty} \left| \log \frac{AL}{L_0} / \frac{AM}{M_0} \right| &= \left| \log -1 / \frac{AM}{M_0} \right| \\ &= \left| \log \frac{MB}{MA} \right| \end{aligned}$$

por lo que consideraremos que, en el caso en que AB es e-rayo,

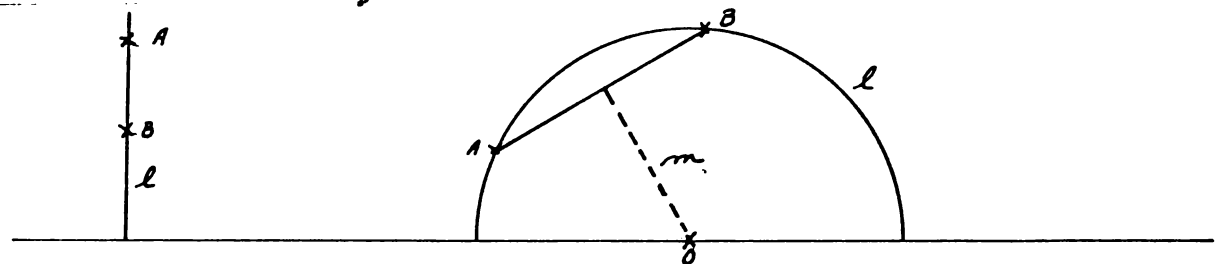
$$d_h^A = \left| \log \frac{MB}{MA} \right|$$

Como no estamos dando dos definiciones distintas de h-distancia, sino únicamente mencionando que, en el caso en que AB es e-rayo, ésta se simplifica, todas las demostraciones en donde aparecen la definición de h-distancia, serán válidas tanto para el caso en que AB es e-semicircunferencia como para el caso en que AB es e-rayo.

A continuación demostraremos que el modelo de Poincaré del semiplano  $\mathbb{H}$  satisface los cuatro primeros postulados de Euclides (Para una demostración de que el modelo satisface los axiomas de Hilbert I-1, II-3, II-3, II-4, II-5, II-6, II-7, III-3, II-1, II-2, II-3, III-1, III-2, III-4, III-5, IV-1 y IV-2, ver [5])

Postulado I.- Por dos puntos pasa una única recta.

Sean  $A$  y  $B$  dos  $\mathbb{H}$ -puntos. Sea  $l$  la  $\mathbb{e}$ -recta que contiene a  $A$  y  $B$ . Si  $l$  es  $\mathbb{H}$ -recta, es decir, si  $l$  es perpendicular al eje  $x$ ,  $l$  es la  $\mathbb{h}$ -recta que buscamos.



Si  $l$  no es  $\mathbb{H}$ -recta, sea  $m$  la  $\mathbb{e}$ -mediatriz del  $\mathbb{e}$ -segmento  $AB$ , y  $O$  la intersección de ésta con el eje  $x$ .

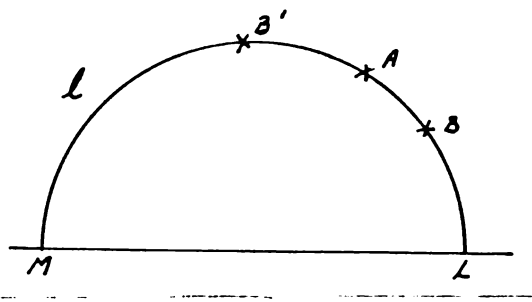
Sea  $b$  la  $\mathbb{e}$ -circunferencia con centro en  $O$  y radio  $OA$ . La parte de  $b$  contenida en el  $\mathbb{H}$ -plano es una  $\mathbb{H}$ -recta que pasa por  $A$  y por  $B$ .

Así, dadas dos  $\mathbb{H}$ -puntos, siempre hay una  $\mathbb{H}$ -recta que los contiene.

Además, la  $\mathbb{H}$ -recta que pasa por dos  $\mathbb{H}$ -puntos dados resulta ser única, pues tanto la  $\mathbb{e}$ -recta que pasa por dos puntos dados como la  $\mathbb{e}$ -circunferencia que pasa por dos  $\mathbb{e}$ -puntos dados y su centro en una  $\mathbb{e}$ -recta dada son únicas.

Postulado II. - Una recta puede prolongarse indefinidamente.

Interpretaremos este postulado como: dadas una recta, un punto sobre ella, y un número real positivo  $d$ , siempre es posible encontrar, de cada lado del punto dado, un punto sobre la recta dada tal que su distancia al punto dado sea  $d$ .



Sea  $\ell$  una  $\lambda$ -recta y  $L$  y  $M$  sus puntos al infinito. Sea  $A$  un  $\lambda$ -punto sobre  $\ell$  y sea  $d$  un real positivo.

Existen solamente dos números reales,  $\lambda$  y  $1/\lambda$ , ambos positivos, tales que

$$d = |\log \lambda| \text{ y } d = |\log 1/\lambda|.$$

y dados  $\lambda$  y  $1/\lambda$  existen sólo dos  $\lambda$ -puntos,  $B$  y  $B'$ , sobre  $\ell$  tales que  $\{ABLM\} = \lambda$  y  $\{AB'L'M\} = 1/\lambda$ .

Como  $\lambda$  y  $1/\lambda$  son positivas,  $A$  y  $B$ , al igual que  $A$  y  $B'$ , están en el mismo arco de tal  $\lambda$ -circunferencia determinado por  $L$  y  $M$ , es decir,  $B$  y  $B'$  son  $\lambda$ -puntos (ver [3])

Así, existen sólo dos  $\lambda$ -puntos,  $B$  y  $B'$ , tales que

$$d = |\log \{ABLM\}| = |\log \{AB'L'M\}|$$

Además,  $B$  y  $B'$  están uno de cada lado de  $A$ , pues

$$\{ABLM\} = \frac{1}{\{AB'L'M\}} \Rightarrow \{AOLM\} = \{O'ALM\} \Rightarrow AB = O'A$$

$$\Rightarrow AB = -AB' \quad (\text{ver [7]}) .$$

Hemos demostrado entonces, no solamente que existen un punto de cada lado de  $A$  tal que su distancia a  $A$  es  $d$ , sino que dichos puntos son únicos.

Obsérvese que la definición de  $\lambda$ -distancia no solamente se concuerda con el postulado II, sino también satisface:

$$i) \text{ si } A = B, \quad d_A^\lambda = 0$$

$$A = B \Rightarrow d_A^\lambda = |\log \{AALM\}| = |\log 1| = 0.$$

$$ii) \quad d_A^\lambda = d_A^0.$$

$$\begin{aligned} d_A^\lambda &= |\log \{AALM\}| = |-\log \{AALM\}| \\ &= |\log \frac{1}{\{AALM\}}| = |\log \{BALM\}| = d_A^0. \end{aligned}$$

$$iii) \text{ si } B \rightarrow L \quad (\text{o si } B \rightarrow M), \quad d_B^\lambda \rightarrow \infty$$

$$\begin{aligned} B \rightarrow M &\Rightarrow d_B^\lambda \rightarrow |\log \{AMLM\}| = |\log \frac{AL}{LM} / \frac{AM}{ML}| \\ &= |\log \frac{AL \cdot Cerr}{LM \cdot AM}| = |\log Cerr| = |-\infty| = \infty. \end{aligned}$$

$$\begin{aligned} B \rightarrow L &\Rightarrow d_B^\lambda \rightarrow |\log \{ALLM\}| = |\log \frac{AL}{LL} / \frac{AM}{ML}| \\ &= \left| \log \frac{AL \cdot AM}{LL \cdot ML} \right| = \left| \log \frac{AL \cdot AM}{Cerr \cdot ML} \right| = |\log \infty| = \infty. \end{aligned}$$

Postulado III. - Un punto y una distancia determinan un círculo.

Entenderemos por círculo el conjunto de puntos que están a la misma distancia de un punto dado.

Sea  $C$  un punto y  $r$  una  $t$ -distancia.

Aunque todavía no se haya mencionado cómo pueden representarse los círculos del modelo de Poincaré ( $t$ -círculos), es posible demostrar que estos satisfacen el tercer postulado.

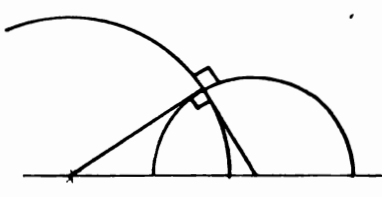
Sea  $C$  un  $t$ -punto y  $r$  una  $t$ -distancia.

Sobre cada una de las  $t$ -rectas por  $C$  (que son una infinitud, sólo hay como acabamos de demostrar, dos  $t$ -rectas) que están bien determinadas, cuya distancia a  $C$  es  $r$ .

Así, el  $t$ -círculo de centro  $C$  y  $t$ -radio  $r$ , es decir, el conjunto de  $t$ -puntos que están a una  $t$ -distancia  $r$  de  $C$ , está bien determinado, por lo que el modelo de Poincaré satisface el tercer postulado.

Postulado IV. - Todos los ángulos rectos son congruentes.

Representaremos a los  $t$ -ángulos de la misma manera que los  $e$ -ángulos, y diremos que dos  $t$ -ángulos son  $t$ -congruentes si son  $e$ -congruentes. Así, todos los  $t$ -ángulos rectos son  $e$ -congruentes.



Hemos dado entonces un modelo cuyos elementos satisfacen los cuatro primeros postulados de Euclides, y tenemos así que existen al menos dos maneras distintas de representar a los elementos de una geometría cuyos axiomas son los cuatro primeros postulados de Euclides: la representación usual (modelo euclídeano), y el modelo de Poincaré del semiplano.

## II.2.4 Independencia del quinto postulado

### II.2.4.1 Independencia del quinto postulado

En cualquier rama de las matemáticas, en particular en geometría, los resultados no se demuestran utilizando lo que parecen indicar las representaciones gráficas, sino como consecuencia de los postulados y de los teoremas previamente demostrados.

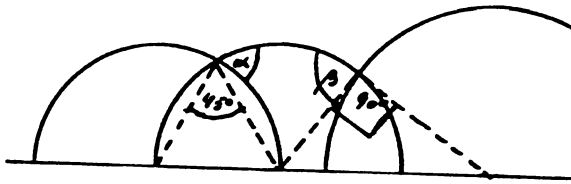
Así, los resultados obtenidos son válidos independientemente de la manera que se recoja para representar a los conceptos básicos de la teoría.

En el caso de los Elementos, por ejemplo, las primeras 28 proposiciones del libro I son válidas claramente para la representación euclídea, pero dado que para demostrarlas Euclides se basó en los cuatro primeros postulados y no en los que le indicaban las figuras, estas proposiciones también son válidas en el modelo de Poincaré.

Y no sólo eso, cualquier otro resultado que pueda obtenerse a partir de los primeros cuatro postulados tiene que ser válido tanto para la representación euclídea como para el modelo de Poincaré.

En particular, si el postulado de las paralelas puede obtenerse a partir de los otros cuatro, tiene que ser válido en el modelo de Poincaré, es decir, si el quinto postulado es consecuencia de los otros cuatro, luego habrá dos rectas en el modelo de Poincaré que al ser cortadas por una transversal formen con ella ángulos internos del mismo lado cuya suma sea menor que dos rectas, deben intersectarse.

En esta figura,  $a$  y  $b$  son dos rectas en el modelo de Poincaré, y  $c$  una tercera recta que corta a ambas. Los ángulos  $\alpha$  y  $\beta$ , que son ángulos internos del mismo lado de  $c$ , suman menos que dos rectas ( $\alpha = 45^\circ$ ,  $\beta = 90^\circ$ ); sin embargo, las rectas  $a$  y  $b$  no se intersectan.



Con esto queda demostrado entonces que el postulado de las paralelas no puede ocurrir como una consecuencia de los otros postulados.

es independiente de ellos, pues si no lo fuera, sería válido en el modelo de Poincaré.

II. 2.2 Resultados de geometría euclídea que no son consecuencia de los primeros cuatro postulados.

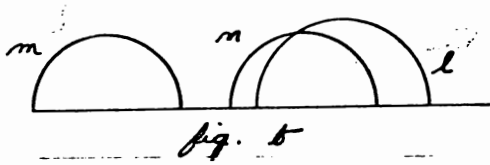
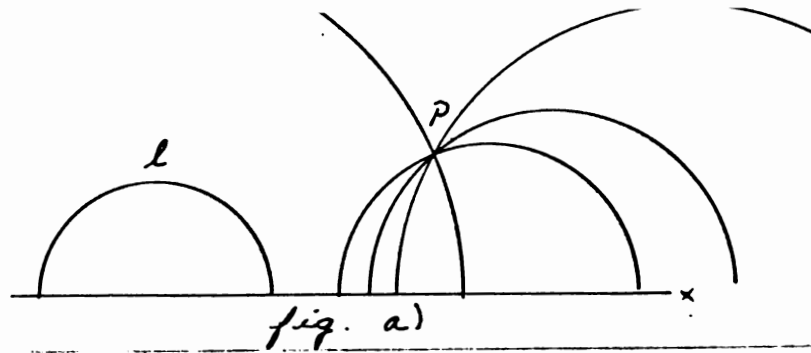
Como se mencionó en el capítulo I, secciones I.2 y I.3, el quinto postulado puede sistenerse como consecuencia de algunas de las siguientes afirmaciones:

- las paralelas equidistan
- la paralela a una recta por un punto fuera de ella es única
- una recta que corta a una paralela corta a otra.
- dos paralelas a una tercera son paralelas entre sí.
- la distancia entre paralelas está acotada
- la suma de ángulos interiores de todo triángulo es  $180^\circ$ .
- los puntos que equidistan de una recta están en una recta
- dos paralelas siempre tienen una perpendicular común
- Todo ángulo inscrito en un semicírculo es recto.
- existen los triángulos semejantes que no son congruentes
- dados tres puntos no colineales, existe un círculo que pasa por ellos
- por un punto en el interior de un ángulo siempre es posible trazar una recta que corte a ambos lados del ángulo
- Todos los triángulos tienen la misma suma de ángulos.

Una vez demostrado que el quinto postulado no es una consecuencia de los otros cuatro, queda claro que tampoco estas afirmaciones son consecuencia de los cuatro primeros postulados.

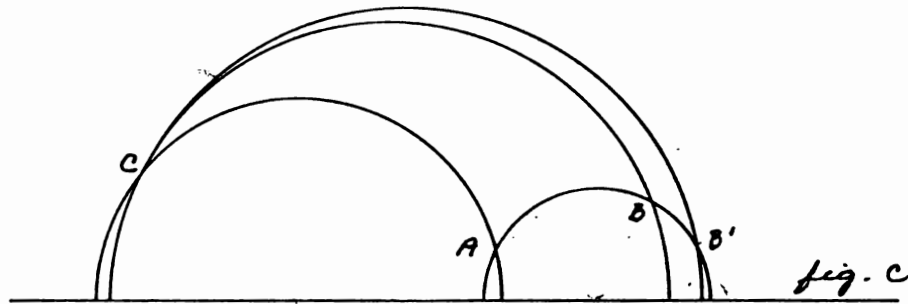
Además, el modelo de Poincaré permite comprobar la independencia de estas afirmaciones. En algunos casos, la comprobación es inmediata, por ejemplo:

En la figura a), P es un punto fuera de la recta l y por él pasan al infinito las rectas que no intersectan a l (de hecho pasan una infinitad).

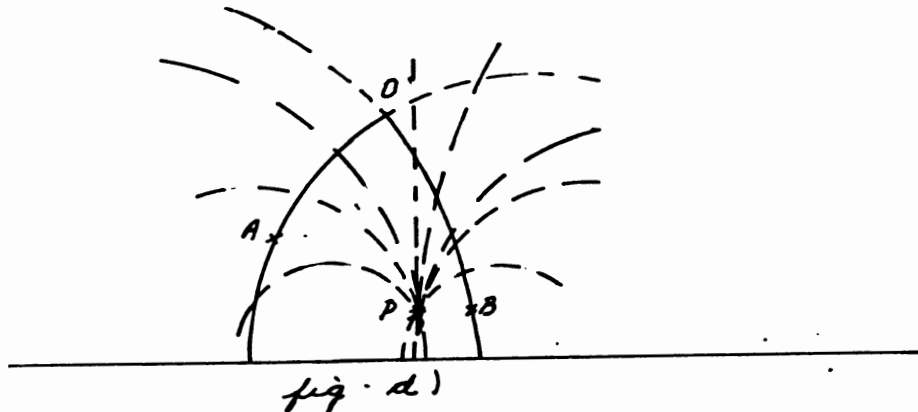


En la figura b), l y m son paralelas, y n es una recta que corta a l pero no a m. En esta misma figura, l y m son paralelas a m y n son paralelas entre sí.

En la figura c), el triángulo AOC tiene suma de ángulos  $40 + 40 + 10 = 90 < 180^\circ$ , y el triángulo ABC tiene suma de ángulos  $40 + 20 + 111 = 171 > 90$



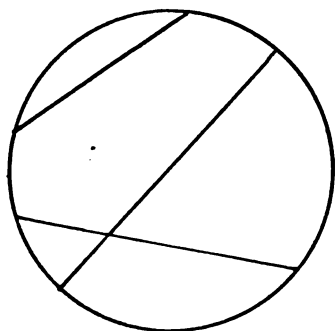
En la figura d), P es un punto en el interior del ángulo AOB tal que ninguna de las rectas por él intersecta a ambas lados del ángulo



### II.3 Modelos de Beltrami Klein y modelo de Poincaré del disco

A continuación presentamos estos dos modelos que satisfacen las cuatro primeras postuladas y no satisfacen el quinto.

#### II.3.1 Modelo de Beltrami Klein.



Por brevedad, nos referiremos a este modelo como modelo de Klein. En él, el h-plant es el interior de un círculo  $\gamma$ ; y las h-puntas las l-puntas en el interior de  $\gamma$  y las h-rectas las l-cuerdas abiertas que unen dos puntos sobre  $\gamma$ . (los dos puntos sobre  $\gamma$  no pertenecen a la l-cuerda) pues no están en el h-plant.

En este modelo, ni la h-congruencia de ángulos ni la h-congruencia de segmentos coinciden con la euclídea.

Para demostrar que el modelo de Klein satisface las cuatro primeras postuladas de Euclides y no satisface el quinto, lo que faremos será demostrar que este modelo es similar al modelo de Poincaré del semiplano, es decir, demostraremos que existe una función biyectiva  $f$ , del h-plant de Klein al h-plant de Poincaré, que asocia a cada h-punto del h-plant de Klein un h-punto del modelo de Poincaré del semiplano y bajo la cual las h-rectas de un modelo son o se transforman en h-rectas del otro modelo, preservándose la incidencia y la relación estar entre.

Una vez demostrado el semejanza, tendremos que ambos modelos tienen las mismas propiedades. En particular, tendremos que ambos satisfacen las cuatro primeras postuladas de Euclides y no satisfacen el quinto.

Para demostrar el semejanza demostraremos que es posible pasar de un modelo a otro mediante composición de proyecciones.

Sea  $\gamma$  el modelo de Klein, sean  $S$  y  $r$  el centro y el e.-radio de  $\gamma$  respectivamente, y sea  $P_1$  el plan $\tau$  que contiene a  $\gamma$ . Sea  $C_1$  una e.-esfera cuya e.-radio es también  $r$  y tangente a  $P_1$  en  $S$ .

Sea  $P_1$  la proyección que manda a cada punto  $x$  de  $\gamma$  al punto  $x'$  en donde la e.-recta por  $x$  y perpendicular al plan $\tau$ , intersecta por primera vez a la cáscara de la esfera.

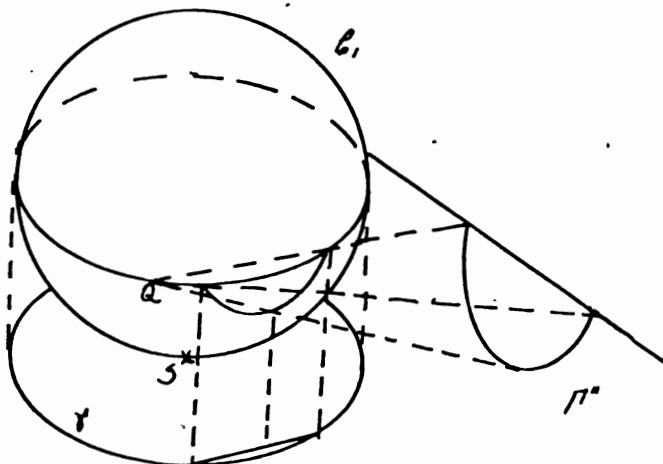
Al aplicar  $P_1$ , la e.-circunferencia  $\gamma$  va se transforma en el ecuador de la esfera, y el interior de  $\gamma$ , id. decir, el h.-plan $\tau$  de Klein, se transforma en la

cáscara de la semiesfera que contiene a  $S$ , a la que llamaremos  $\gamma'$ . Las h.-rectas del modelo de Klein, es decir, las e.-cuerdas de  $\gamma$ , van a dar a e.-semicircunferencias sobre  $\gamma'$  ortogonales al ecuador.

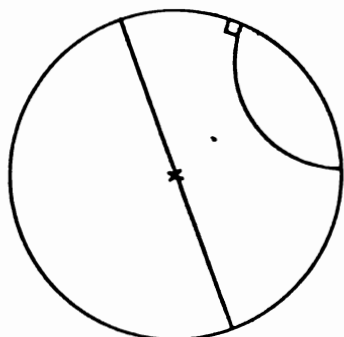
Sea  $Q$  un punto sobre el ecuador. Sea  $P_2$  el e.-plan $\tau$  tangente a  $b$ , en el punto diametralmente opuesto a  $Q$ , y sea  $P_2$  la proyección estereográfica de  $C_1$  sobre  $P_2$  desde  $Q$ .

Al aplicar  $P_2$ , todos los puntos del ecuador distintos de  $Q$  se transforman en una recta sobre  $P_2$  (eje  $\chi$ );  $\gamma'$ , la cáscara de la esfera que contiene a  $b$ , se transforma en  $\gamma''$ , uno de los dos semiplanos determinados por el eje  $\chi$ . Las e.-semicircunferencias ortogonales al ecuador, que no pasan por  $Q$ , se transforman en e.-semicircunferencias ortogonales al eje  $\chi$ ; y las e.-semicircunferencias de  $\gamma$  sobre  $\gamma'$  ortogonales al ecuador que si pasan por  $Q$ , van a se transforman en e.-rayas sobre  $\gamma''$  ortogonales al eje  $\chi$ .

Existe entonces una función  $f: \gamma \rightarrow \gamma''$ ,  $f(x) = P_2(P_1(x))$ , que transforma el modelo de Klein en el modelo de Poincaré del semiplano, y tal que su inversa,  $f^{-1}: \gamma'' \rightarrow \gamma$ ,  $f(x'') = P_1(P_2(x''))$ , transforma al modelo del semiplano en el de Klein, y tenemos así que ambos modelos son isomorfos.



### I.3.2 Modelo de Poincaré del disco.



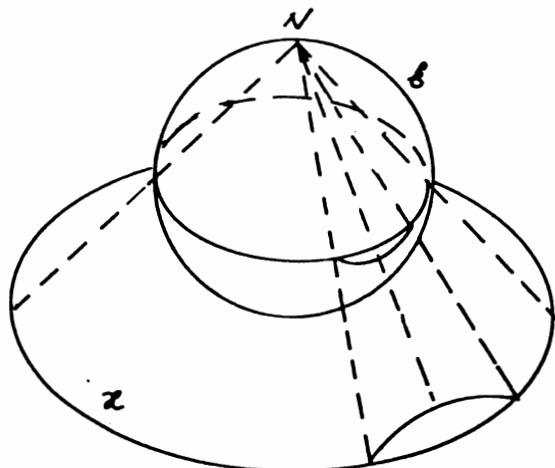
en él, el  $\mathbb{H}$ -plano es el interior de un círculo  $\mathcal{X}$ , los  $\mathbb{H}$ -puntos son los  $\mathbb{L}$ -puntos en el interior de  $\mathcal{X}$  y las  $\mathbb{H}$ -rectas son las  $\mathbb{L}$ -diametres de  $\mathcal{X}$  y las  $\mathbb{L}$ -semicircunferencias ortogonales a  $\mathcal{X}$ .

Este modelo también es isomorfo al de Poincaré del semiplano (y por lo tanto al de Klein). Para demostrar el isomorfismo proyectaremos, también al disco sobre una semiesfera, y a ésta sobre un segundo plano, pero ahora de la siguiente manera:

Sea  $\mathcal{L}$  el modelo de Poincaré del disco.

Sean  $S$  y  $r$  el  $\mathbb{L}$ -centro y el  $\mathbb{L}$ -radio de  $\mathcal{L}$  respectivamente, y sea  $\mathcal{P}$ , el  $\mathbb{L}$ -plano que contiene a  $\mathcal{L}$ .

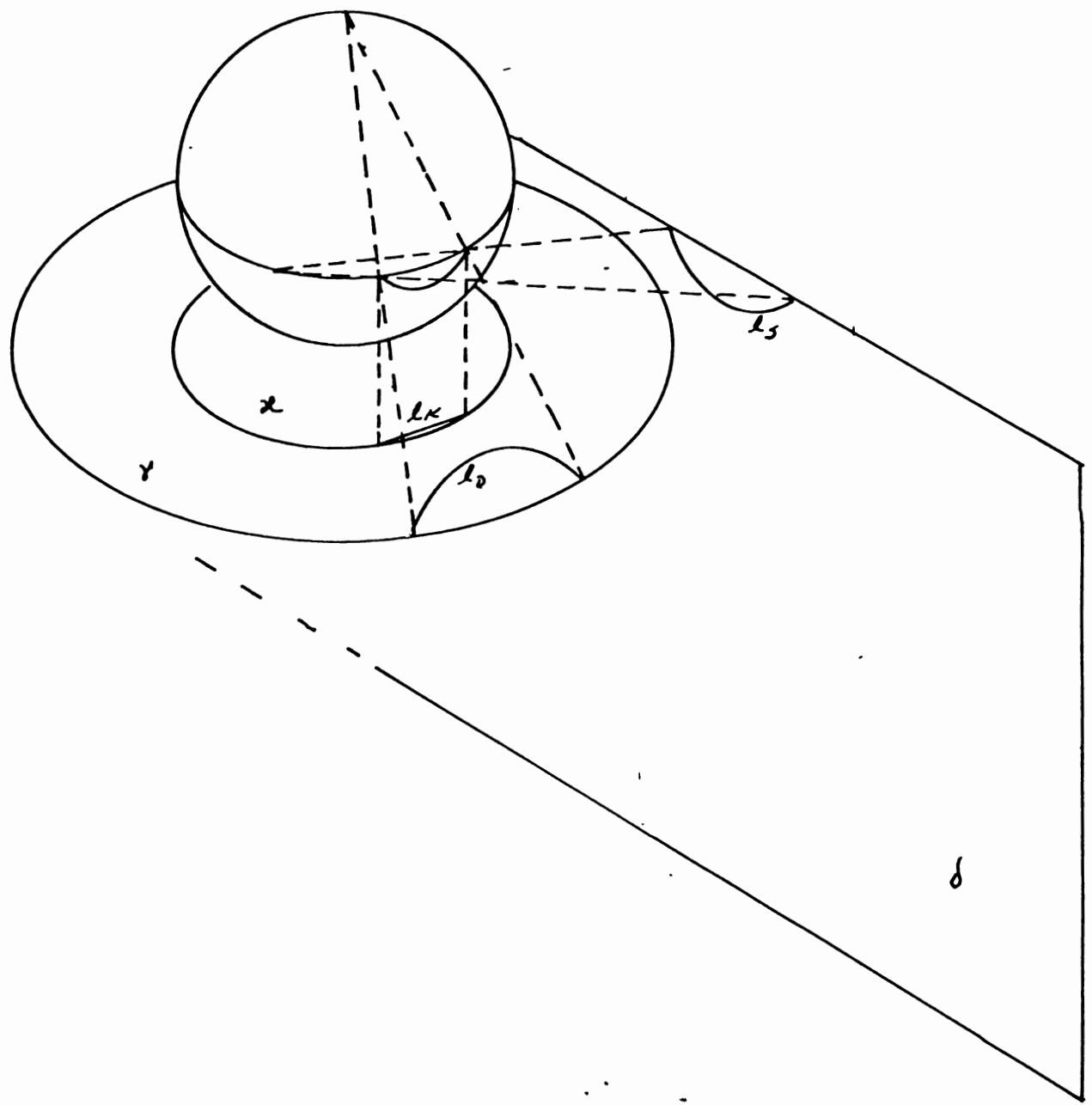
Sea  $\mathcal{S}$  una esfera cuyo radio,  $r$  es menor que  $r$  y tangente a  $\mathcal{P}$ , en  $S$ . Sea  $N$  el punto sobre  $\mathcal{S}$  diametralmente opuesto a  $S$ .



Sea  $P'$  la proyección estereográfica, desde  $N$ , de la cáscara de la semiesfera que contiene a  $S$  sobre  $\mathcal{P}$ .

Al aplicar  $P'$ , las  $\mathbb{L}$ -circunferencias de  $\mathcal{L}$  van a dar al ecuador de la esfera; el interior de  $\mathcal{L}$ , es decir el  $\mathbb{H}$ -plano, van a dar a la cáscara de la esfera que contiene a  $S$ . Las  $\mathbb{H}$ -rectas del modelo del disco, es decir, los diámetros de  $\mathcal{L}$  y las  $\mathbb{L}$ -semicircunferencias ortogonales a  $\mathcal{L}$ , van a dar a  $\mathbb{L}$ -semicircunferencias ortogonales al ecuador.

Definimos  $P_2$  como en el caso anterior, es decir, como la proyección estereográfica de la esfera, desde un punto  $Q$  al plan  $\mathcal{P}$  tangente a  $\mathcal{S}$  en el punto diametralmente opuesto a  $Q$ , si así, como en el caso anterior, al aplicar  $P_2$  obtenemos el modelo de Poincaré del semiplano.



Esta figura ilustra el isomorfismo entre los tres modelos. En Y es el modelo de Poincaré del disco, Z es el modelo de Klein y X es el modelo de Poincaré del semiplano.  $l_0$ ,  $l_K$  y  $l_S$  son la misma  $\ell$ -recta en el modelo de Poincaré del disco, en el modelo de Klein y en el modelo de Poincaré del semiplano.

Segunda Parte

Geometría Hipbólica

## Segunda Parte

La segunda parte de este trabajo la dedicaremos al estudio de algunos resultados de geometría hiperbólica.

Después de una breve introducción en donde diremos quién se entiende por geometría hiperbólica y haremos el surgimiento de esta, presentaremos algunos resultados de geometría hiperbólica en el modelo de Poincaré del semiplano.

Trabajaremos, suponiendo válidos todos los resultados de geometría euclídea, y teniendo en cuenta que las rectas del modelo de Poincaré del semiplano son semicírculos en la geometría euclídea. Es decir, utilizaremos aquellas propiedades que, ser semicírculos euclidianos, poseen las rectas del modelo.

Muchas de nuestras demostraciones, entonces, serán válidas únicamente para el modelo de Poincaré: es posible demostrar, aunque no lo haremos, que todos los resultados a los cuales hacemos referencia son válidos en general.

Esta segunda parte está dividida en cuatro capítulos:

- I       $\lambda$ -congruencia
- II     Conceptos elementales
- III    Paralelas
- IV     $\lambda$ -triángulos .

En los dos primeros capítulos, prácticamente lo que faremos es proporcionar los herramientas necesarias para el desarrollo de los dos últimos: definir los conceptos de  $\lambda$ -congruencia,  $\lambda$ -perpendicular,  $\lambda$ -mediatrij etc; demostrar algunas de sus propiedades, e indicar con qué hacer ciertas construcciones.

En los dos últimos capítulos estudiaremos propiedades de las paralelas y de los triángulos en geometría hiperbólica.

Durante el desarrollo de la geometría hiperbólica  
la mayoría de las intentas intentas por demostrar  
el postulado de las paralelas utilizaban  
el método indirecto: Suponían que el postulado  
era falso y esperaban de este modo llegar a  
una contradicción.

A medida que se negaba el postulado y la con-  
tradicción no aparecía, se empleó a pensar,  
mucha antes de contar con los modelos de Poin-  
caré y de Klein no solamente que el postulado  
de las paralelas no podía demostrarse, sino que,  
después de todo, tal vez fuera posible construir  
una geometría en donde fuera válida la nega-  
ción del postulado.

Gauss (1777-1855) fue tal vez el primero en concebir  
una geometría "no euclídea". El pensamien-  
to le pareció tan revolucionario que no lo publicó.  
En 1829 le escribe a Bessel:

"Tiene que pasar mucho tiempo antes de que  
haga públicas mis investigaciones al respecto;  
en realidad esto no sucedería mientras yo  
viva, pues temo al juicio de los estúpidos  
si hago efectivas mis puntos de vista."

En algunos párrafos de sus cartas, Gauss expresa  
la convicción de que existe una geometría con-  
sistente en la cual no es válido el postulado de  
las paralelas.

Los primeros trabajos publicados que hablan de una geo-  
metría no euclídea deben al ruso Konachevski (1793-  
1856) y al húngaro János Bolyai (1802-1860).

En 1823, J. Bolyai escribe a su padre:

"Estoy dispuesto a publicar un trabajo sobre  
paralelas en cuanto lo ponga en orden, lo  
completo y se presente la oportunidad..."

"He encontrado cosas magníficas y sor-  
prendentes... Todo lo que puedo decir es que  
he creado, de la nada, un mundo nuevo  
y diferente..."

J. Bolyai publicó su trabajo en 1831, pero se le había anticipado Lobachevski, quien presentó su tratado a la división de física-matemáticas de la Universidad de Kazan el 2 de febrero de 1826.

Gauss, Bolyai y Lobachevsky llegaron independientemente a la misma conclusión: Existe una geometría cuyos postulados son los cuatro primeros de Euclides y donde no vale el quinto.

Esta nueva geometría recibió diferentes nombres: geometría anti-euclídea, geometría astral, geometría imaginaria, pangeometría. En la actualidad, se le conoce con el nombre de geometría hiperbólica.

Los contemporáneos de estos matemáticos no prestaron mucha atención a sus ideas. La creencia de que la geometría euclídea era la única geometría posible, estaba tan arraigada en el pensamiento de la época, que costaba trabajo aceptar la nueva noción.

A pesar de que la nueva geometría se desarrolló hasta el punto de trabajar con su trigonometría, seguía siendo intuitivamente inaceptable y casi incomprensible.

Los descubridores creían fermamente que no había en ella contradicciones lógicas; estaban seguros de que el postulado de las paralelas era independiente de los otros cuatro, sin embargo, nunca dan una demostración formal de este.

No es sino hasta finales del siglo pasado, que Felix Klein (1849-1925) y Henri Poincaré (1854-1912), construyen modelos de esta geometría. En esto se demuestra la imposibilidad de demostrar el postulado de las paralelas.

## Capítulo I

### 1.- Congruencia

Con este capítulo comenzaremos el estudio de la geometría hiperbólica.

Como ya se mencionó trabajaremos únicamente con el modelo de Poincaré del semiplano. Al igual que en la sección II.3 de la primera parte, dispondremos a los elementos del modelo de Poincaré de las euclidianas, suponiendo una "h" a los hiperbólicos y una "e" a los euclidianos: h-rectas, e-rectas, h-puntos, e-puntos etc.

Básicamente, lo que se hará en este primer capítulo será definir el concepto de h-congruencia.

Dado que definiremos la h-congruencia de h-segmentos diciendo que dos h-segmentos son h-congruentes si y sólo si, existe una transformación del h-plano (en sí mismo que preserve la h-distancia y tal que transforma a un h-segmento en otro, como veremos en la sección I.1, h-isometrías), hablando de las transformaciones que preservan la h-distancia. Esencialmente lo que demostraremos es que la inversión euclídea con respecto a h-rectas es una h-isometría. Se menciona, aunque no se demuestra, que toda h-isometría es producto de e-inversiones con respecto a h-rectas.

En la sección I.2 (lincei construcciones básicas) indicaremos como hacer cinco construcciones que consideramos básicas: dadas dos h-puntos, encontrar la h-isometría que transforma a uno en otro; dadas dos h-rectas, encontrar una h-isometría que transforma a una en otra; dada una h-recta, encontrar una h-isometría que transforme a la h-recta en sí misma; dada un h-punto y una h-isometría, encontrar el transformado del punto con respecto a la h-isometría, y dada una h-recta y una h-isometría, encontrar la h-transformada de la h-recta con respecto a la h-isometría.

Para esto supondremos que se conoce la manera de trazar e-perpendiculares, e-mediáticos, y encontrar el e-punto medir de un e-segmento.

En la sección I.3 definimos la  $h$ -congruencia de segmentos y demostramos que, dados dos  $h$ -segmentos, existe una  $h$ -isometría que transforma a uno en otro si y sólo si los  $h$ -segmentos tienen la misma  $h$ -longitud.

Finalmente, en la sección I.4 (Una  $h$ -isometría que nos resultaría útil), se indica la forma de transformar a una sucesión de  $h$ -segmentos  $h$ -congruentes  $h$ -colineales  $A_1A_2, A_2A_3, A_3A_4, \dots$  en la sucesión  $A_1A_3, A_3A_4, A_4A_5, \dots$

## Capítulo I $\lambda$ -convergencia

### I.1. $\lambda$ -isometrías

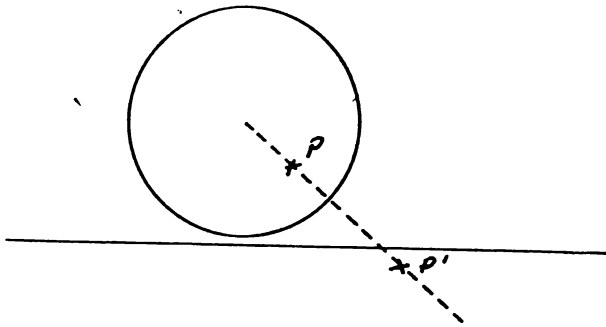
Una  $\lambda$ -isometría es una transformación del  $\lambda$ -plano en si mismo que preserva la  $\lambda$ -distancia.

$f: \mathbb{H} \rightarrow \mathbb{H}$  es  $\lambda$ -isometría si y sólo si  $d_{\mathbb{H}}^{\lambda} = d_{f(\mathbb{H})}^{\lambda}$  para cualesquier  $\lambda$ -puntos  $\mathfrak{X}$  y  $\mathfrak{T}$ .

Estudiaremos únicamente una  $\lambda$ -isometría: la  $\epsilon$ -inversión con respecto a  $\lambda$ -rectas.

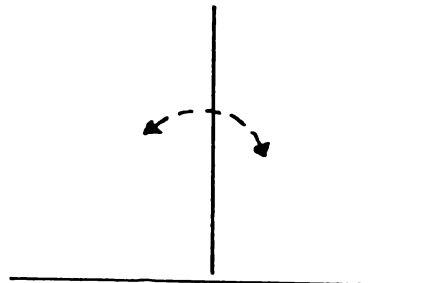
En general, la  $\epsilon$ -inversión con respecto a un  $\epsilon$ -círculo  $\mathcal{C}_0$  contenido en el  $\lambda$ -plano no es una transformación del plano en si mismo, pues puede transformar puntos del  $\lambda$ -plano en  $\epsilon$ -puntos que no pertenecen al  $\lambda$ -plano.

En la figura, el  $\epsilon$ -invíctor  $P'$  del  $\lambda$ -punto  $P$  con respecto a la  $\epsilon$ -circunferencia  $\mathcal{C}_0$  no está en el  $\lambda$ -plano.

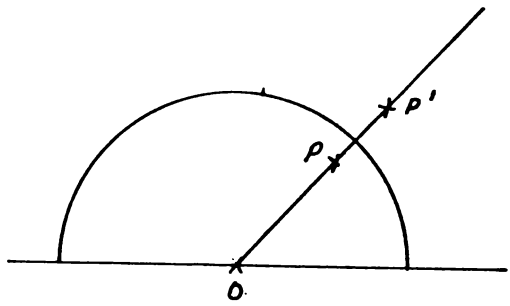


sin embargo, la  $\epsilon$ -inversión con respecto a  $\lambda$ -rectas si transforma puntos del  $\lambda$ -plano en puntos del  $\lambda$ -plano.

**Teorema I.1.-** La  $\epsilon$ -inversión con respecto a  $\lambda$ -rectas es una transformación del  $\lambda$ -plano en si mismo.



Si la  $\lambda$ -recta de invención es un  $\epsilon$ -rayo, la  $\epsilon$ -inversión resulta ser una  $\epsilon$ -reflexión con respecto al  $\epsilon$ -rayo y así el  $\lambda$ -plano se transforma en el  $\lambda$ -plano.



Si la h-recta de inversión es la e-semicircunferencia de e-centro  $O$  y e-radio  $r$ , el e-inversor de un h-punto  $P$  es el inicio e-punto  $P'$  sobre la e-recta  $OP$  tal que

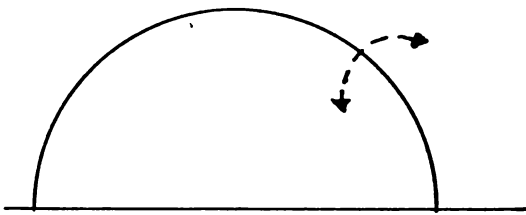
$$OP \cdot OP' = r^2, \text{ donde}$$

$OP$  y  $OP'$  son las e-longitudes de los e-segmentos  $\overline{OP}$  y  $\overline{OP'}$ .

Como  $r^2$  siempre es mayor que cero,  $OP$  y

$OP'$  tienen el mismo signo, lo que implica que  $P$  y  $P'$  están del mismo lado de  $O$ . Si  $P'$  está del mismo lado de  $O$  que  $P$ ,  $P'$  está en el h-plano, y con esto queda demostrado que la e-inversión con respecto a h-rectas es una transformación del h-plano en si mismo.

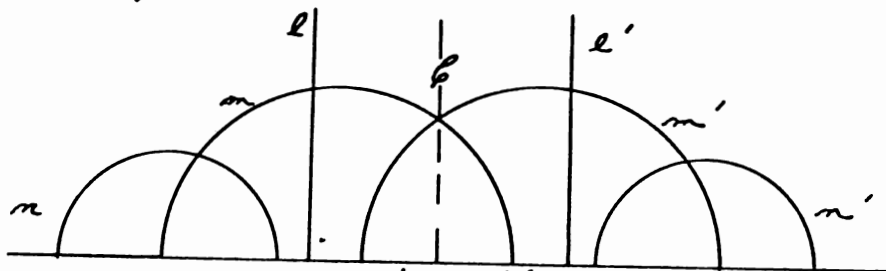
Una h-recta divide al h-plano en dos h-semiplanos opuestos. Al e-invertir con respecto a una h-recta, transformaremos a uno de los h-semiplanos determinados por la h-recta de inversión al otro y viceversa, y a los puntos sobre la h-recta de inversión en si mismos.



De ahora en adelante a menos que se indique lo contrario, cuando hablemos de inversión nos estaremos refiriendo a e-inversión con respecto a h-rectas.

**Teorema I.2** La  $\ell$ -inversión transforma  $\mathbb{H}$ -rectas en  $\mathbb{H}$ -rectas.

Si  $\ell$ , la  $\mathbb{H}$ -recta de  $\ell$ -inversión es un  $\mathbb{H}$ -rayo, la  $\ell$ -inversión resulta ser una  $\mathbb{H}$ -reflexión con respecto a  $\ell$ , por lo que los  $\mathbb{H}$ -rayos perpendiculars al eje  $\mathbb{H}$  se transforman en  $\mathbb{H}$ -rayos perpendiculars al eje  $\mathbb{H}$ , y las  $\mathbb{H}$ -semicircunferencias con centro en el eje  $\mathbb{H}$  se transforman en  $\mathbb{H}$ -circunferencias con centro en el eje  $\mathbb{H}$ .

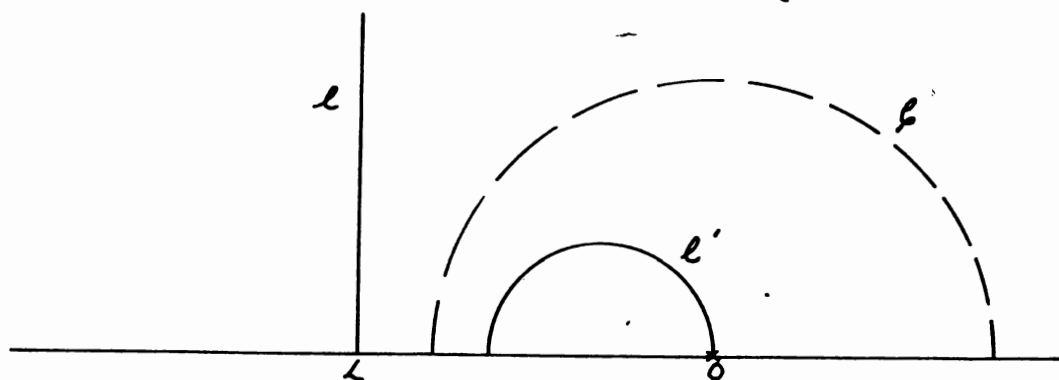


Si  $\ell$ , la  $\mathbb{H}$ -recta de inversión es  $\mathbb{H}$ -semicircunferencia, consideremos primero el caso en que  $\ell$ , la  $\mathbb{H}$ -recta invertida es un  $\mathbb{H}$ -rayo.

Sea  $O$  el  $\mathbb{H}$ -centro de  $\ell$  y sea  $L$  el pie de  $\ell$ .

Si  $L$  coincide con  $O$ ,  $\ell$  se transforma en si misma (globalmente, no puntualmente).

Si  $L$  es diámetro de  $O$ , la  $\mathbb{H}$ -recta que contiene al  $\mathbb{H}$ -rayo  $\ell$  se transforma en una  $\mathbb{H}$ -circunferencia  $\ell'$  que pasa por  $O$  y tal que su diámetro  $O$  es perpendicular a  $\ell$ . Así, la parte de  $\ell'$  contenida en el  $\mathbb{H}$ -plano es una  $\mathbb{H}$ -semicircunferencia con centro en el eje  $\mathbb{H}$  y por lo tanto una  $\mathbb{H}$ -recta.

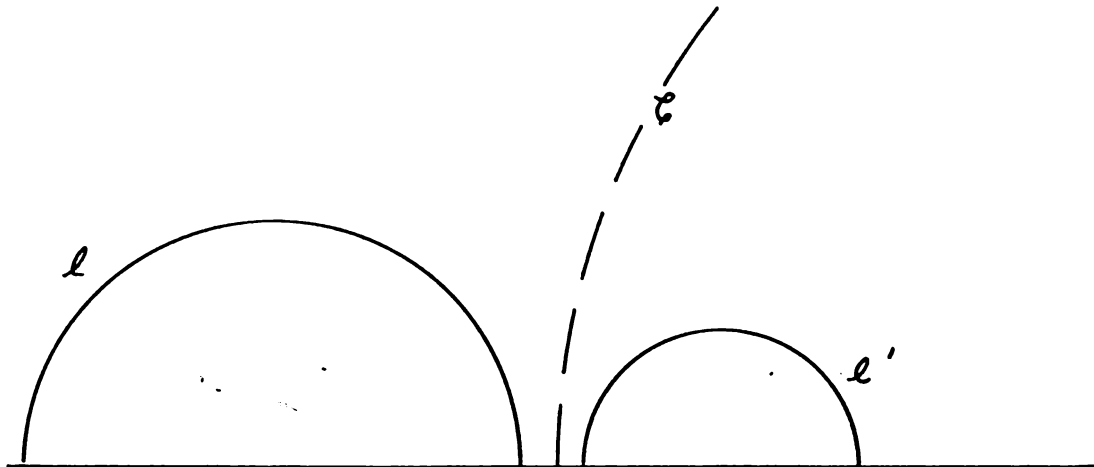


Recíprocamente, una  $\mathbb{H}$ -recta  $\mathbb{H}$ -semicircunferencia que pasa por el centro de  $\mathbb{H}$ -inversión se transforma en una  $\mathbb{H}$ -recta  $\mathbb{H}$ -rayo que no pasa por el centro de inversión.

Si  $l$ , la h-recta invertida, es una e-semicircunferencia que no pasa por  $O$ , el centro de e-inversión, la e-circunferencia que contiene a  $l$  se transforma en una e-circunferencia  $l'$  que tampoco pasa por  $O$ .

Como  $l$  es ortogonal al eje  $\ell$ , que globalmente se transforma en si mismo, y la e-inversión preserva ángulos,  $l'$ , el e-enisher de  $l$ , también es ortogonal al eje  $\ell$  y por lo tanto tiene su centro sobre él.

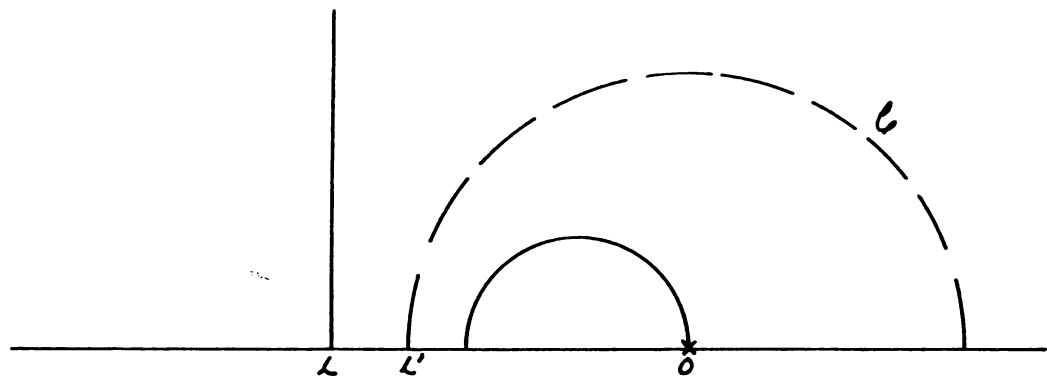
Así, la parte de  $l'$  comprendida en el h-plant es una e-semicircunferencia con centro en el eje  $\ell$ ; es decir, es una h-recta.



**Teorema I.3** *Bajo e-inversión, los puntos al infinito de una h-recta se transforman en los puntos al infinito de su inversa.*

Si la h-recta invertida es un e-rayo, el punto al infinito que no es el pie del e-rayo se transforma en el centro de inversión, que es un punto al infinito pues está sobre el eje  $\mathbb{X}$ .

El pie del e-rayo, por estar sobre el eje  $\mathbb{X}$ , se transforma en algún punto sobre el eje  $\mathbb{X}$ , pues el eje  $\mathbb{X}$ , por ser una h-recta que pasa por el centro de inversión, se transforma in si mismo globalmente.

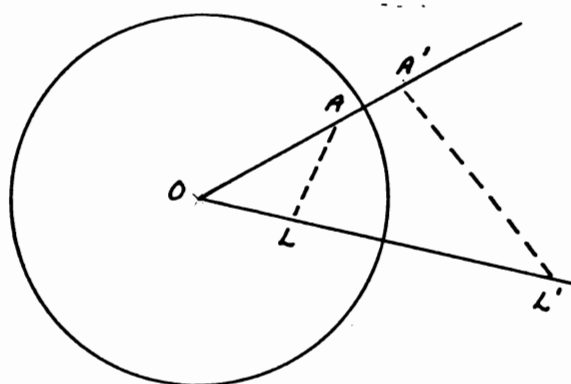


En el caso en que la h-recta invertida sea una e-semicircunferencia, se aplica el mismo razonamiento: puntos sobre el eje  $\mathbb{X}$  se transforman en puntos sobre el eje  $\mathbb{X}$  pues éste es su propio eje.

Teorema I.4 La e-inversión preserva las razones cruzadas.

Demostaremos este resultado en general, es decir, para e-inversión con respecto a cualquier e-circunferencia y no solamente con respecto a h-rectas. En particular, será válido para e-inversión con respecto a h-rectas.

Sean  $A, B, C$  y  $M$  cuatro puntos, y sean  $A', B', C'$  y  $M'$  sus inversos con respecto a una circunferencia de radio  $r$  y centro  $O$ .



$$\text{Entonces } OA \cdot OA' = r^2 \\ \text{y } OL \cdot OL' = r^2$$

de donde

$$OA \cdot OA' = OL \cdot OL'$$

$$\text{y } \frac{OA}{OL'} = \frac{OL}{OA'}$$

Además,

$$\angle OLA = \angle L'OA'$$

y así, los e-triángulos  $OAL$  y  $OAL'$  son inversamente semejantes, por lo que los lados  $AL$  y  $A'L'$  deben guardar la misma proporción que  $OA$  y  $OA'$ .

$$\text{Es decir, } \frac{AL}{A'L'} = \frac{OA}{OA'}$$

$$\text{y así } AL = \frac{A'L' \cdot OA}{OA'}$$

Análogamente,

$$LB = \frac{L'B' \cdot OL}{OB},$$

$$AM = \frac{A'M' \cdot OA}{OM} \quad \text{y}$$

$$MB = \frac{M'B' \cdot OM}{OB}$$

Sustituyendo estos valores en  $\{AOLM\}$ , la razón cruzada de  $A, B, L$  y  $M$ , tenemos que:

$$\{AOLM\} = \frac{AL}{LB} / \frac{AM}{MB} = \frac{\frac{A'L' \cdot OA}{OL'}}{\frac{L'B' \cdot OB'}{OB'}} / \frac{\frac{A'M' \cdot OM}{OM'}}{\frac{M'B' \cdot OM'}{OB'}} =$$

$$\frac{A'L' \cdot OA \cdot OB' \cdot M'B' \cdot OM \cdot OM'}{L'B' \cdot OL' \cdot OL \cdot A'M' \cdot OA \cdot OB'} = \left( \frac{AL' \cdot M'B'}{L'B' \cdot A'M'} \right) \left( \frac{OM \cdot OM'}{OL \cdot OL'} \right) =$$

$$\left( \frac{A'L'}{L'B'} / \frac{A'M'}{M'B'} \right) \left( \frac{OM \cdot OM'}{OL \cdot OL'} \right)$$

pero como  $OM \cdot OM' = OL \cdot OL'$  (pues ambas son iguales a  $r^2$ ),

$$\{AOLM\} = \frac{A'L'}{L'B'} / \frac{A'M'}{M'B'}$$

es decir,

$$\{AOLM\} = \{A'B'L'M'\}.$$

Teorema I.5 La  $\ell$ -inversión es una  $h$ -isometría.

Sea  $\ell$  una  $h$ -recta.

Sean  $A$  y  $B$  dos  $h$ -puntos y sean  $L$  y  $M$  los puntos del infinito de la  $h$ -recta que los contiene.  
Sean  $A'$  y  $B'$  los  $\ell$ -inversos de  $A$  y  $B$  con respecto a  $\ell$ .

Demostraremos que  $d_{\ell}^A = d_{\ell}^{B'}$ .

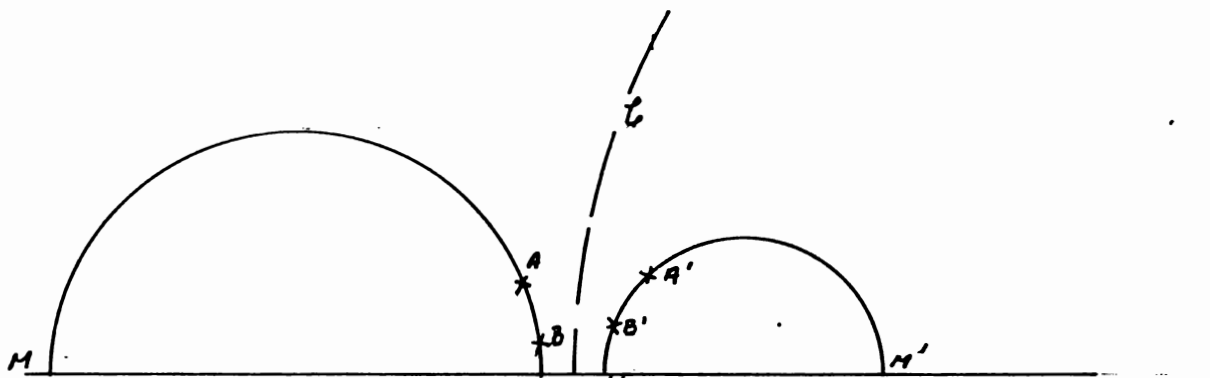
$L'$  y  $M'$  los inversos de  $L$  y  $M$  respectivamente, son los puntos al infinito de la  $h$ -recta que contiene a  $A'$  y  $B'$ .

Así, la  $h$ -longitud del  $h$ -segmento  $A'B'$  es:

$$d_{\ell}^{A'} = |\log \{A'B'L'M'\}|,$$

y como la  $\ell$ -inversión preserva la razón cruzada.

$$d_{\ell}^{A'} = |\log \{A'B'L'M'\}| = |\log \{ABLM\}| = d_{\ell}^B$$



Teorema I.6 La composición de  $\ell$ -inversiones es una  $h$ -isometría.

Sean  $f_1$  y  $f_2$  dos  $\ell$ -inversiones y Sean  $A$  y  $B$  dos  $h$ -puntos.  
Sean  $A' = f_1(A)$  y  $B' = f_1(B)$ . Como  $f_1$  es  $h$ -isométrica.

$$d_{\ell}^A = d_{\ell}^{B'}$$

Sean  $A'' = f_2(A')$  y  $B'' = f_2(B')$ . Como  $f_2$  es  $h$ -isométrica.

$$d_{\ell}^{A'} = d_{\ell}^{B''}$$

y así  $d_{\ell}^A = d_{\ell}^{B''} = d_{f_2(f_1(A))}^{f_2(f_1(B))}$ , es decir  $f_2 \circ f_1$  es  $h$ -isométrica.

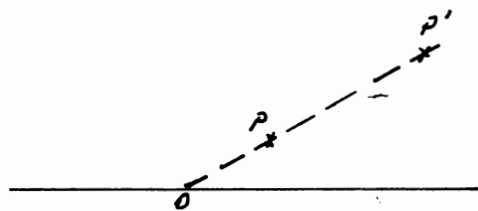
Es posible demostrar que toda  $h$ -isometría es producto de  $\ell$ -inversiones.

A continuación veremos que dadas dos  $\lambda$ -puntos, siempre existe una  $\lambda$ -isometría que transforma a uno en otro, y que dadas dos  $\lambda$ -isometrías también existe una  $\lambda$ -isometría que transforma a una en otra. En realidad lo único que haremos será aplicar algunos resultados de  $\lambda$ -inversión al modelo de Poincaré. Posteriormente (sección I.2), veremos como encontrar dicha inversión.

**Teorema I.7** Dados dos  $\lambda$ -puntos siempre existe una  $\lambda$ -isometría que transforma a uno en otro.

En el  $\epsilon$ -plano, dados tres  $\epsilon$ -puntos  $\epsilon$ -colineales  $P, P'$  y  $O$ , tales que  $P$  y  $P'$  están del mismo lado de  $O$ , siempre existe una  $\epsilon$ -inversión con centro en  $O$  que transforma a  $P$  en  $P'$  y viceversa (ver T.1).

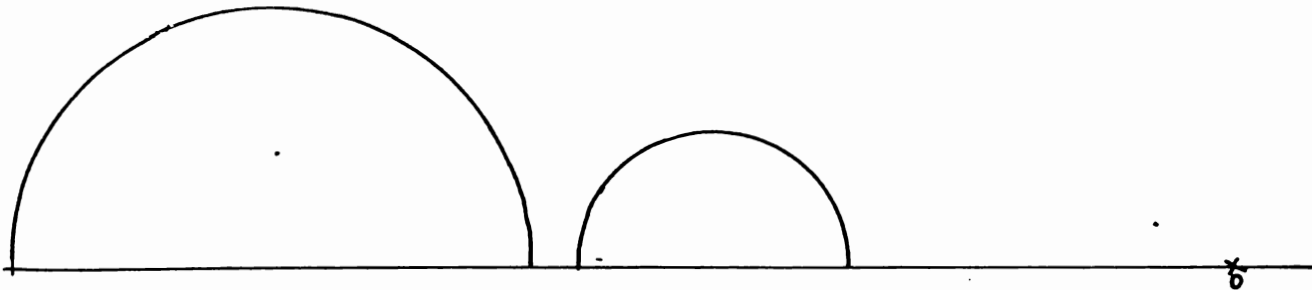
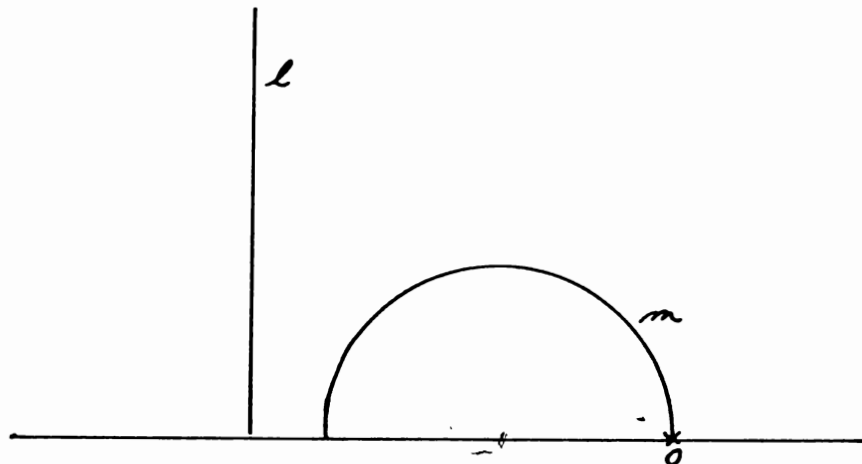
Así, si  $P$  y  $P'$  son dos  $\lambda$ -puntos y  $O$  el  $\epsilon$ -punto en donde la  $\epsilon$ -recta  $PP'$  interseca al eje  $x$ , siempre existe una inversión con centro en  $O$  que transforma a  $P$  en  $P'$  y viceversa.



**Teorema I.8** Dadas dos  $\ell$ -rectas siempre existe una  $\ell$ -isometría que transforma a una en otra.

En el  $\ell$ -plano, dadas una  $\ell$ -recta  $l$  y una  $\ell$ -circunferencia  $m$ , existe una  $\ell$ -inversión que transforma a  $l$  en  $m$  y viceversa; y, dadas dos  $\ell$ -circunferencias existe una  $\ell$ -inversión que transforma la una en otra (cuando las  $\ell$ -circunferencias se intersecan, existen dos  $\ell$ -inversiones). Además, en el caso de la  $\ell$ -recta  $l$  y la  $\ell$ -circunferencia  $m$ ,  $O$ , el centro de inversión, está sobre la  $\ell$ -recta perpendicular a  $l$  que pasa por el centro de  $m$ , y en el caso de las dos  $\ell$ -circunferencias, el centro de inversión ( $O$ ) está sobre la línea de los centros de las dos  $\ell$ -circunferencias (ver [77]).

Así, dadas dos  $\ell$ -rectas, la  $\ell$ -inversión que transforma a una en otra tiene centro en el eje  $x$  y por lo tanto es una  $\ell$ -isometría.

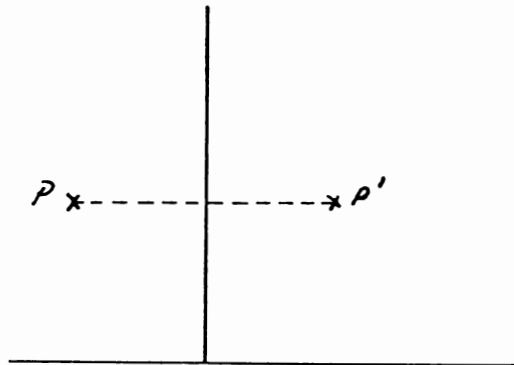


## I.2 Línea construcciones básicas

I.2.1 Dados un h-punto  $P$  y una h-recta  $b$ , encontrar el inverso  $P'$  de  $P$  con respecto a  $b$ .

Si  $P$  está sobre  $b$ ,  $P$  es su propio inverso. Supondremos entonces que  $P$  no está sobre  $b$ .

Si  $b$  es un e-rayo,  $P'$ , el inverso de  $P$ , es el e-reflejado de  $P$  con respecto a  $b$ .

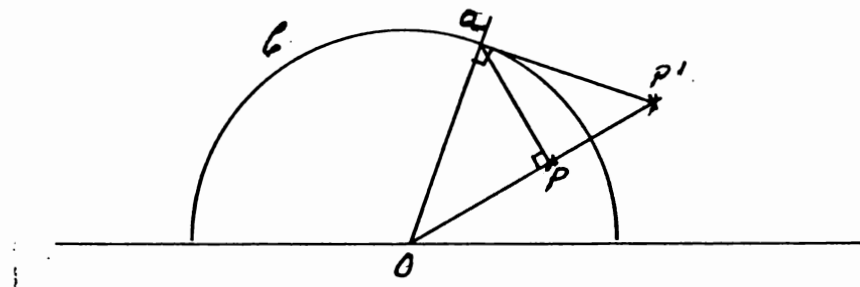


Si  $b$  es h-recta, l-semicirc., consideremos primero el caso en que  $P$  está en el interior de  $b$ .

Marquemos  $O$ , el centro de  $b$ , y tracemos la e-recta  $PO$ .

Tracemos la e-perpendicular por  $P$  a la e-recta  $PO$ , y llamemos  $Q$  al punto en donde ésta interseca a  $b$ .

Tracemos la e-tangente a  $b$  en  $Q$  - (para trazarla, conviene recordar que ésta es perpendicular al e-radio  $OQ$ ) y llamemos  $P'$  al punto en donde ésta interseca a la e-recta  $OP$ .  $P'$  resulta ser el inverso de  $P$  con respecto a  $b$ .



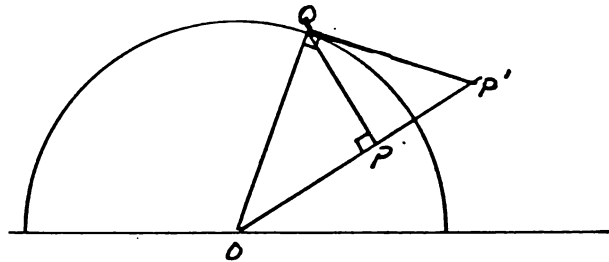
Demostración:-

Los  $\angle$ -ángulos  $\angle QOQ'$  y  $\angle QPO$  son rectos, y el  $\angle$ -ángulo  $QOQ'$  coincide en el  $\angle$ -ángulo  $POQ$ .  
Así, los  $\angle$ -triángulos  $P'QO$  y  $QPO$  son se-  
mejantes, por lo que

$$OP/QO = OQ/O'Q$$

de donde

$$OP \cdot O'Q = OQ \cdot OQ$$



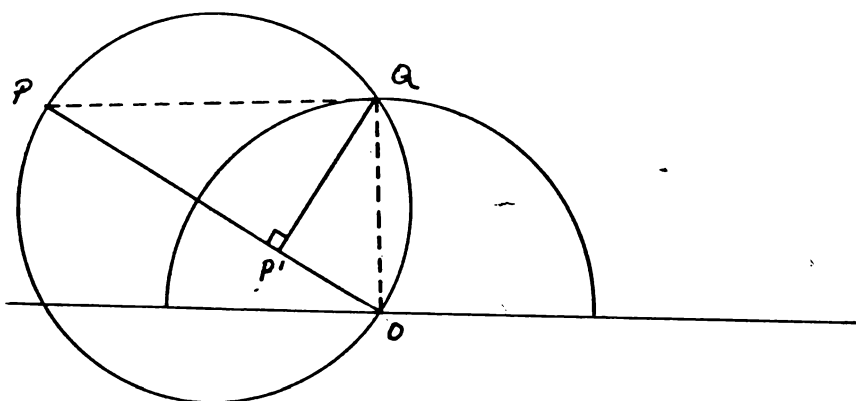
¶

$$OP \cdot O'P' = OQ \cdot OQ$$

(radio de  $c$ )<sup>2</sup>

es decir,  $P'$  es el inverso de  $P$  con respecto a  $c$ .

Si  $P$  esté fuera de  $c$ , tracemos la  $\angle$ -circunferen-  
cia de  $\angle$ -diámetro  $OP$ , y llamemos  $Q$  al punto  
donde esta interseca a  $c$ . Despues tracemos la  
 $\angle$ -perpendicular a la  $\angle$ -recta  $OP$  desde  $Q$ , y lla-  
memos  $P'$  al pie de esta perpendicular.  $P'$  resulta  
ser el inverso de  $P$  con respecto a  $c$ .

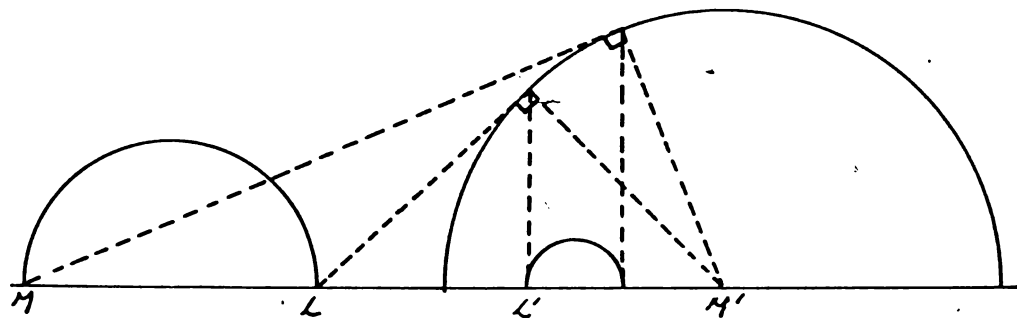
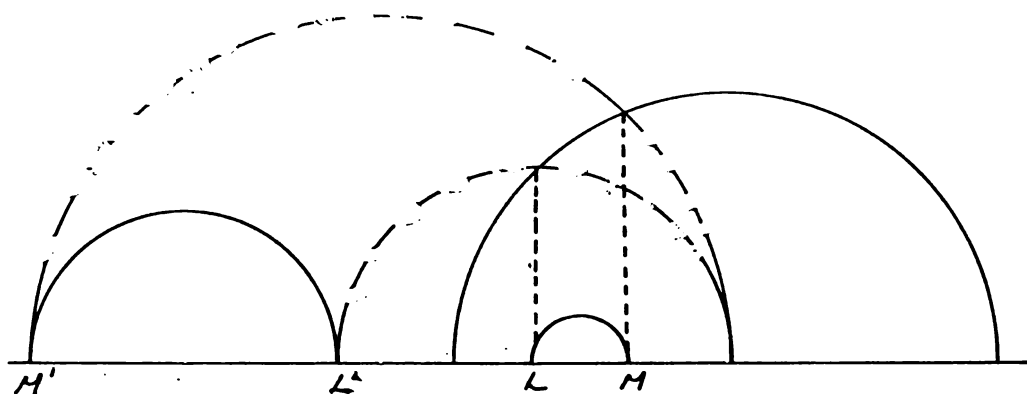


Para demostrarlo, basta observar que el  $\angle$ -ángulo  $PQO$  es recto por estar inscrito en un semicírculo,  
y aplicar la misma semejanza de  $\angle$ -triángulos  
que en el caso anterior.

I.3.2 Dadas dos h.-rectas,  $l$  y  $b$ , encontrar la h.-recta inversa de  $l$  con respecto a  $b$ .

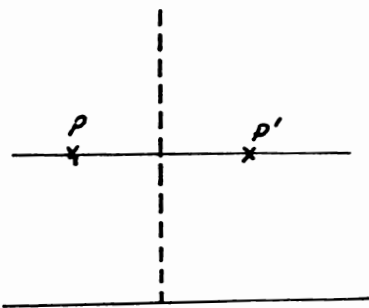
Para encontrar  $l'$ , la h.-recta inversa de  $l$  con respecto a  $b$ , basta tomar dos h.-puntos  $A$  y  $B$  sobre  $l$ , encontrar  $A'$  y  $B'$ , sus inversas con respecto a  $b$ , y trazar la h.-recta por  $A'$  y  $B'$ . Dicha recta resulta ser  $l'$ .

La manera más sencilla de trazar  $l'$  es encontrando las inversas de  $l$  y  $M$ , los puntos al infinito de  $l$ .



Si  $l$  y  $b$  se intersectan en un punto  $I$ , conviene tomar en cuenta que la h.-recta inversa de  $l$  tiene que pasar por  $I$ .

I. 3.3 Dados dos h-puntos, encontrar la h-recta tal que la inversión con respecto a ella transforma al uno en el otro.



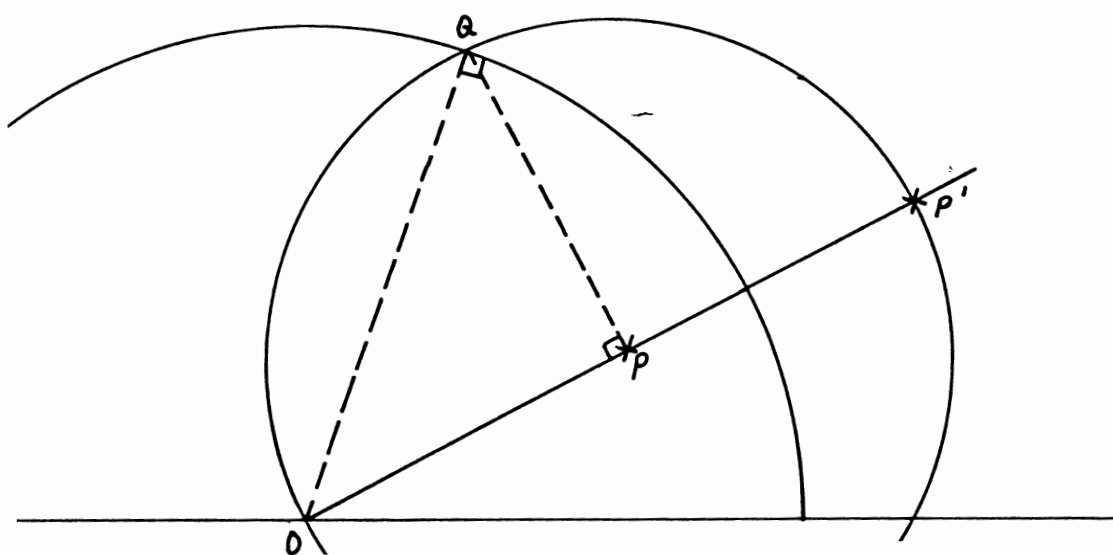
Sean  $P$  y  $P'$  dos h-puntos. Si la h-recta  $PP'$  es paralela al eje  $x$ , la h-recta de inversión es el h-rayo e-mediatrix del segmento  $PP'$ .

Si la h-recta  $PP'$  intersecta al eje  $x$  en un e-punto  $O$ , supondremos, sin pérdida de generalidad, que  $P$  está entre  $O$  y  $P'$ .

Tracemos la e-circunferencia de e-diametro  $OP'$ , y tracemos la e-perpendicular a  $PP'$  en  $P$  y llamemos a al h-punto de intersección de esta e-perpendicular en la e-circunferencia de e-diametro  $OP'$ .

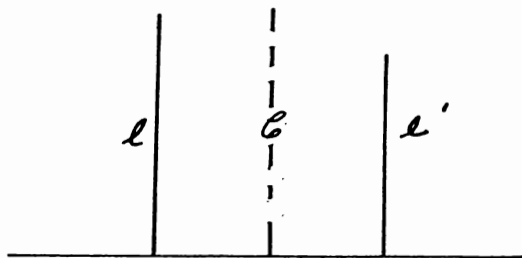
Tracemos  $b$ , la e-semicircunferencia de centro  $O$  y e-radio  $OQ$ .

$b$  resulta ser la h-recta tal que al invertir con respecto a ella,  $P$  y  $P'$  son mutuamente inversas. Para demostrarlo, utilizamos la semejanza de los e-triángulos  $P'QO$  y  $QPO$ , al igual que en la construcción I.2.1



2. 2. 4 Dadas dos h-rectas, encontrar la h-recta tal que la inversión con respecto a ella transforma a una en otra.

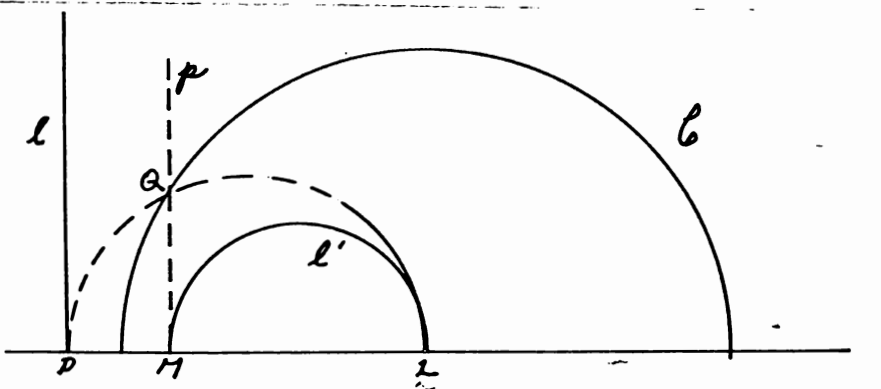
Sean  $l$  y  $l'$  dos h-rectas. Si ambas son e-rayos,  $\ell$ , la h-recta de inversión es el e-rayo que  $\ell$ -equidista de ambas.



Si  $l$  es un e-rayo y  $l'$  es e-semicircunferencia, sea  $P$  el pie del e-rayo y sean  $L$  y  $M$  los puntos al infinito de  $l'$ . Supondremos, sin pérdida de generalidad, que  $M$  está entre  $L$  y  $P$ .

Tracemos  $p$ , la e-perpendicular al eje  $x$  en el punto  $M$ . Tracemos la e-circunferencia de  $l$ -diametro  $LP$ , y llamemos  $Q$  a la intersección de esta con la e-perpendicular  $p$ .

Tracemos  $b$ , la e-semicircunferencia de centro  $L$  y e-radio  $LA$ .

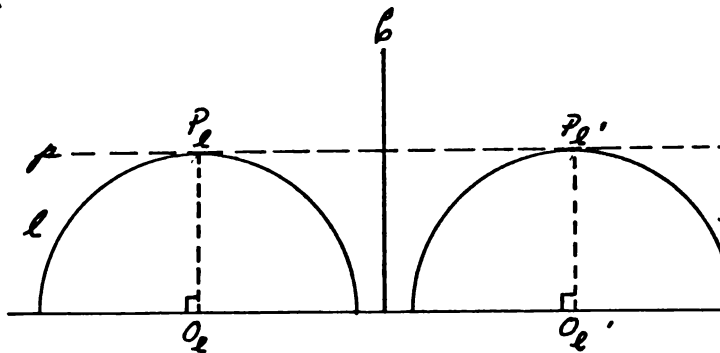


$l$  es la h-recta tal que al invertir con respecto a ella, un punto al infinito de  $l$ , ( $P$ ), se transforma en un punto al infinito de  $l'$ , ( $Q$ ), y el otro punto al infinito de  $l$  (el que está sobre la e-recta al infinito), se transforma en el otro punto al infinito de  $l'$ , ( $L$ ), por lo que al invertir con respecto a  $l$ ,  $l'$  se transforma en  $l$  y viceversa.

Ahora veamos como proceder cuando las dos h-rectas son e-semicircunferencias.

Sean  $l$  y  $l'$  dos h-rectas e-semicircunferencias y sean  $O_2$  y  $O'_2$  sus centros. Sean  $P_2$  y  $P'_2$  los h-puntos en donde las e-radios de  $l$  y  $l'$  son perpendiculares al eje  $x$  e intersectan a  $l$  y a  $l'$  respectivamente.

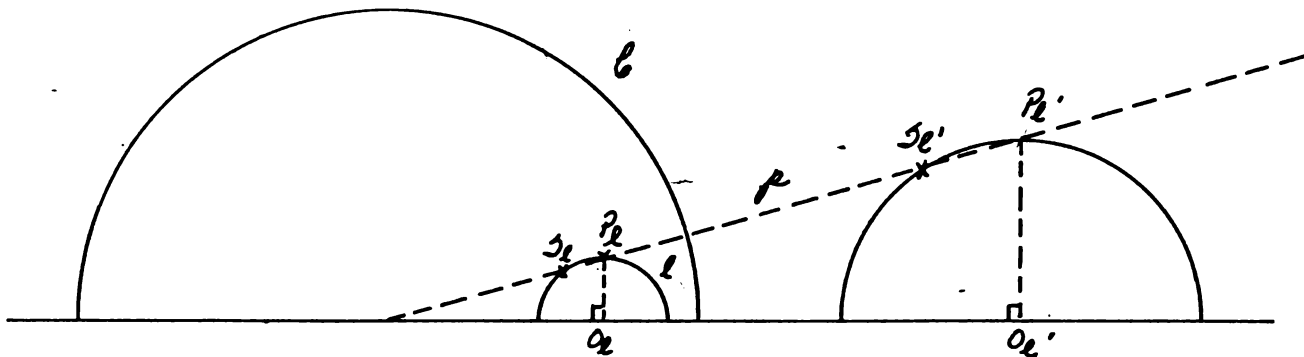
Tracemos  $p$ , la e-recta  $P_2 P'_2$ . Si  $p$  es paralela al eje  $x$ , la inversión que transforma a  $l$  en  $l'$  la invierte las las inversiones con respecto a la h-recta e-radio  $O_2 O'_2$ -media- triz del e-segmento  $O_2 O'_2$ .



Si  $p$  no es paralela al eje  $x$ , observemos que  $p$  no es tangente a  $l$ , pues la e-tangente a  $l$  en  $P_2$  es perpendicular al e-radio de  $l$  por  $P_2$  y en consecuencia paralela al eje  $x$ . (Análogamente,  $p$  tampoco es tangente a  $l'$ ).

Sea  $S_2$  el otro h-punto en donde  $p$  intersecta a  $l$ , y sea  $S'_2$  el otro h-punto donde  $p$  intersecta a  $l'$ .

Tracemos  $b$ , la h-recta tal que al invertir con res- pecto a ella,  $P_2$  y  $S'_2$  son mutuamente inversas. (ver I.3.3)



$b$  resulta ser la h-recta tal que al invertir con respecto a ella,  $l$  y  $l'$  son mutuamente inversas. Para demostrar esto, demostraremos que la in- versión con respecto a  $b$ , que por construcción transforma a  $P_2$  en  $S'_2$  y viceversa, también trans- forma a  $P'_2$  en  $S_2$  y viceversa, pues así, la h-recta que contiene a  $P_2$  y a  $S_2$  ( $l$ ), se transforma en la h-recta que contiene a  $P'_2$  y  $S'_2$  ( $l'$ ).

Para demostrar que  $s_e$  y  $p_e'$  son mutuamente inversas con respecto a  $\ell$ , basta demostrar que

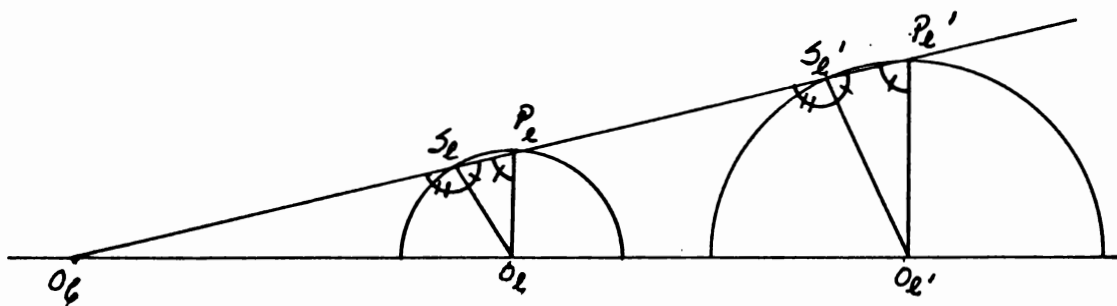
$$O_\ell s_e \cdot O_\ell p_e' = O_\ell p_e \cdot O_\ell s_e', \text{ donde } O_\ell \text{ es el e-centro de } \ell.$$

ya que, por construcción,  $O_\ell p_e \cdot O_\ell s_e'$  es el cuadrado del e-radio de  $\ell$ .

Demostración.-

Las e-rectas  $p_e O_\ell$  y  $p_e' O_\ell$  son ambas perpendiculares al eje  $x$ , por lo que los e-triángulos  $p_e O_\ell O_e$  y  $p_e' O_\ell O_e'$  son semejantes, y así,

$$\angle O_\ell p_e O_e = \angle O_\ell p_e' O_e' \dots (1)$$



Por otra parte, como  $O_\ell p_e$  y  $O_\ell s_e$  son ambos e radios de  $\ell$ , el e-triángulo  $O_\ell p_e s_e$  es isósceles, de donde

$$\angle p_e s_e O_\ell = \angle O_\ell p_e s_e = O_\ell p_e O_\ell \dots (2)$$

Análogamente, el e-triángulo  $O_\ell p_e' s_e'$  también es isósceles, por lo que

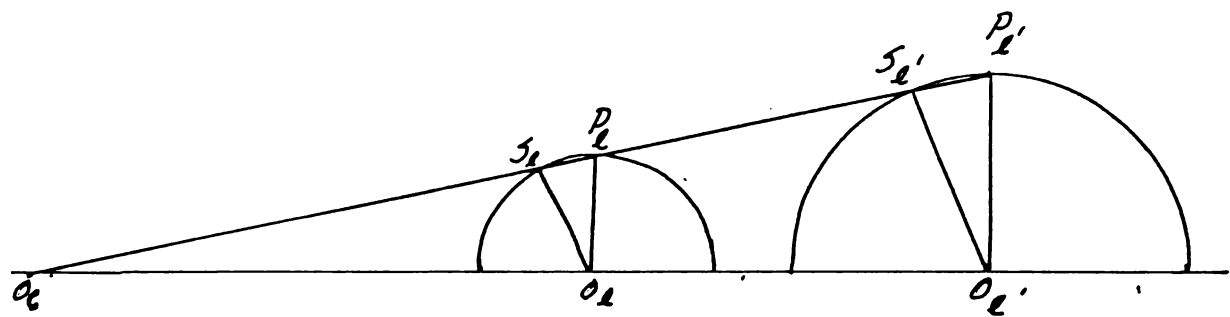
$$\angle p_e' s_e' O_\ell = \angle p_e' s_e O_\ell \dots (3)$$

Utilizando (1), (2) y (3), tenemos que

$$\angle p_e s_e O_\ell = \angle p_e' s_e' O_\ell \quad y, \text{ de aquí, que}$$

$$\angle O_\ell s_e O_\ell = \angle O_\ell s_e' O_\ell, \text{ lo que implica que.}$$

los e-triángulos  $O_\ell s_e O_\ell$  y  $O_\ell s_e' O_\ell$  también son semejantes.



Por la semejanza de los e-triángulos  $O_e S_e O_e'$  y  $O_e' S_e' O_e$ , tenemos que

$$O_e S_e / O_e S_{e'} = O_e O_e' / O_e' O_e .$$

y la semejanza de los e-triángulos  $O_e P_e O_e'$  y  $O_e' P_e' O_e$  implica que

$$O_e P_e / O_e P_{e'} = O_e O_e' / O_e' O_e$$

y así,

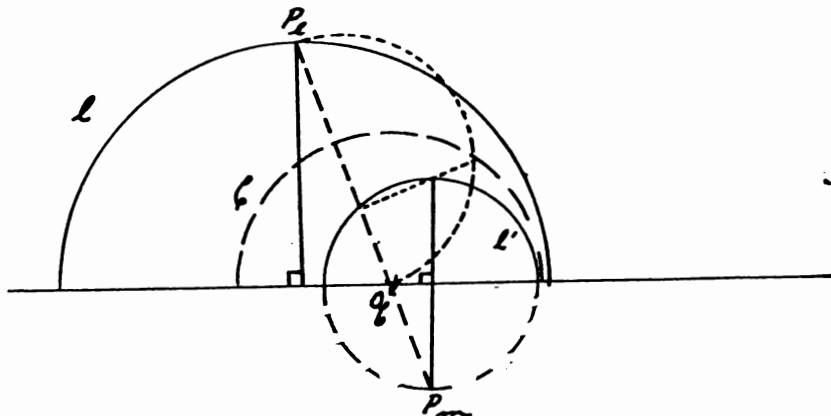
$$O_e S_e / O_e S_{e'} = O_e P_e / O_e P_{e'} ,$$

de donde

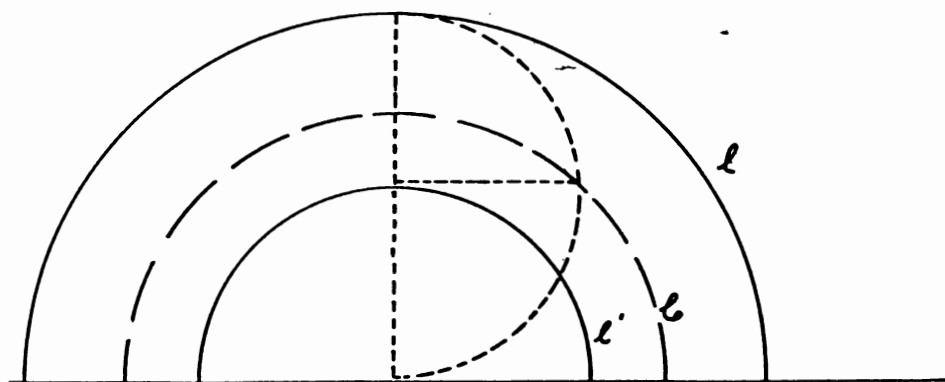
$$O_e S_e \cdot O_e P_{e'} = O_e P_e \cdot O_e S_{e'} ,$$

que es lo que queríamos demostrar.

Con un razonamiento análogo, es posible demostrar que, cuando  $\ell$  y  $\ell'$  son  $\ell$ -semicircunferencias iguales y una está dentro de la otra (supondremos  $\ell$  dentro de  $\ell'$ ),  $O_6$ , el centro de inversión, es el punto de intersección de la  $\ell$ -recta  $P_\ell \cdot P_m$  con el eje  $x$ , donde  $P_\ell$  es, como en el caso anterior, el  $\ell$ -punto donde el  $\ell$ -diametro de  $\ell'$  perpendicular al eje  $x$  intersecta a  $\ell$ , y  $P_m$  es el  $\ell$ -punto (fuera del  $\ell$ -plano) donde el  $\ell$ -diametro de  $\ell$  perpendicular a  $x$  intersecta a la parte de la  $\ell$ -circunferencia  $\ell$  que está fuera del  $\ell$ -plano.

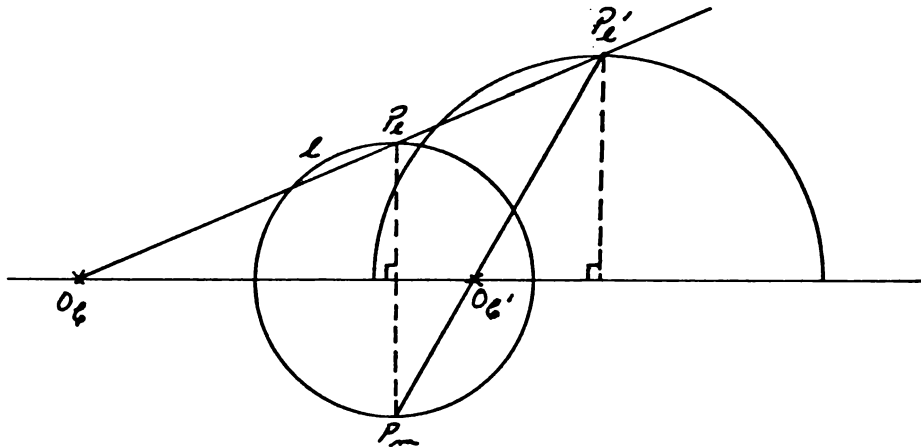


En el caso particular en que  $\ell$  y  $\ell'$  son concéntricas, el centro de inversión coincide con el centro de ambas.

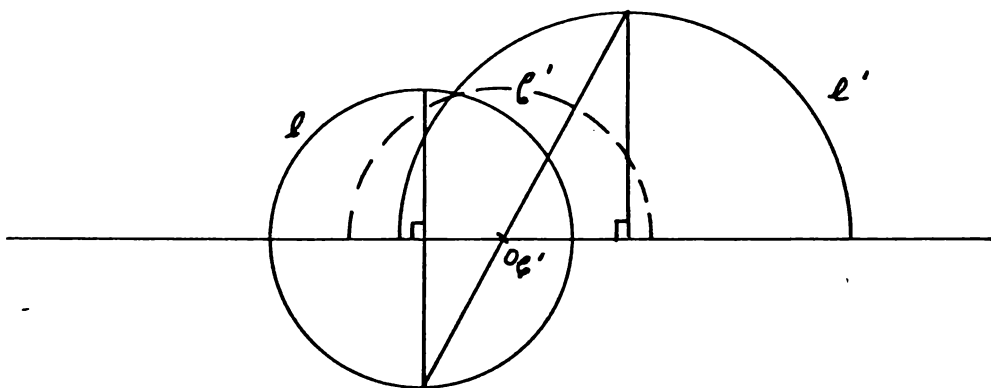
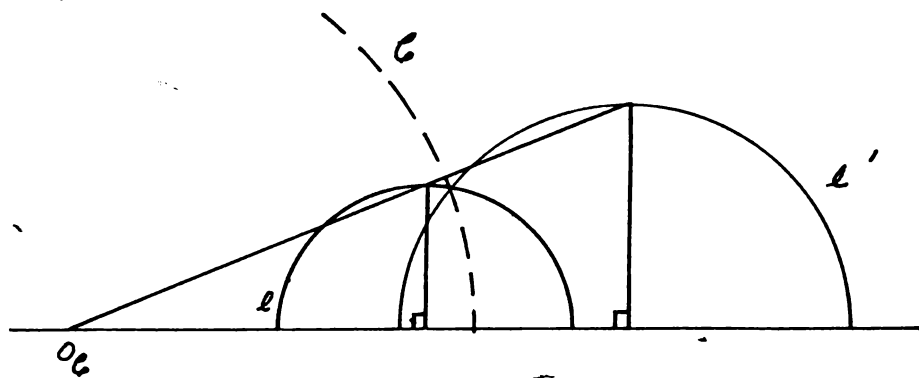


Note: En ambos casos (cuando una  $\ell$ -recta está dentro de la otra y cuando no lo está),  $O_6$ , el centro de inversión, resulta ser el centro de similitud (ver 573) de las  $\ell$ -circunferencias  $\ell$  y  $\ell'$ . Cuando  $\ell$  está dentro de  $\ell'$ ,  $O_6$  es el centro de similitud interno y cuando  $\ell$  no está dentro de  $\ell'$ ,  $O_6$  es el centro de similitud exterior.

También es posible demostrar que cuando las dos  $\ell$ -rectas  $\ell$  y  $\ell'$  se intersectan, existen dos centros de inversión: el centro de similitud interno y el centro de similitud externo, es decir, los  $\ell$ -puntos  $O_G$  y  $O_{G'}$  que se muestran en la figura.



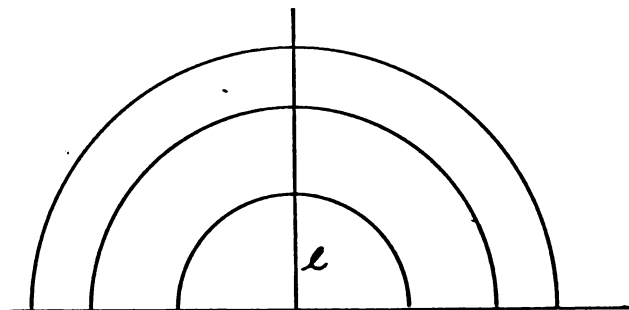
Una vez determinado un centro de inversión es trivial, en este caso, encontrar  $C$ , la  $\ell$ -recta de inversión, pues esta debe pasar por el punto de intersección de  $\ell$  y  $\ell'$ .



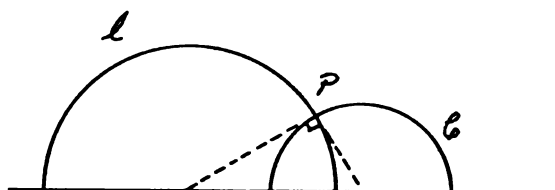
I. 3.5 Dada una h-recta  $l$ , encontrar una h-recta  $l'$  tal que, al invertir con respecto a ella,  $l$  se transforme en si misma globalmente.

Como la e-inversión transforma en si mismas (globalmente, no puntualmente), a las e-rectas que pasan por el centro de inversión y a las h-circunferencias ortogonales a las de inversión, dada una h-recta  $l$ , existen una infinidad de h-rectas  $l'$  tales que al invertir con respecto a ellas,  $l$  se transforma en si misma globalmente.

Si  $l$  es un e-rayo, toda h-recta e-semicircunferencia con centro en el pie de  $l$  resulta ser tal que al invertir con respecto a ella,  $l$  es su propio inverso.



Si  $l$  es e-semicircunferencia, toda h-recta  $l'$  orthogonal a  $l$  es tal que al invertir con respecto a ella,  $l$  es su propio inverso.



Dadas una e-circunferencia  $l$ , para trazar una e-circunferencia orthogonal a ella, basta recordar que los e radios en el punto de contacto deben de formar ángulo recto.

Podemos, además, dada una h-recta  $l$  y un h-punto  $P$  en  $l$ , encontrar la h-recta tal que al invertir con respecto a ella,  $l$  se transforme en si mismo globalmente y  $P$  quede fijo. Basta escoger, entre la infinidad de h-rectas que transforman a  $l$  en si misma globalmente, a aquella que pase por  $P$ .

### I.3 $\lambda$ -congruencia

Daremos que dos figuras son  $\lambda$ -congruentes si y sólo se aplica una  $\lambda$ -isometría que transforma a una en otra. En particular, daremos que dos  $\lambda$ -segmentos  $\overline{AB}$  y  $\overline{A'B'}$  son  $\lambda$ -congruentes si y sólo si existe una  $\lambda$ -isometría que transforma a uno en otro.

Lo decir,  $\overline{AB} =_{\lambda} \overline{A'B'}$  si y sólo si existe una función  $f$  del  $\lambda$ -plan en sí mismo que satisface:

$$1) d_{y'}^x = d_{f(y)}^{f(x)} \text{ para cualesquiera dos } \lambda\text{-puntos } x \text{ y } y$$

$$2) f(A) = A'$$

$$3) f(B) = B'$$

$$4) \text{ para todo } \lambda\text{-punto } z \text{ en } \overline{AB}, f(z) \text{ está en } \overline{A'B'}$$

**Teorema I.9.** Dos  $\lambda$ -segmentos son  $\lambda$ -congruentes si y sólo si tienen la misma  $\lambda$ -longitud.

(Entenderemos por  $\lambda$ -longitud de un  $\lambda$ -segmento, la  $\lambda$ -distancia entre sus puntos extremos.)

Una parte de la demostración es una consecuencia inmediata de la definición de  $\lambda$ -congruencia:

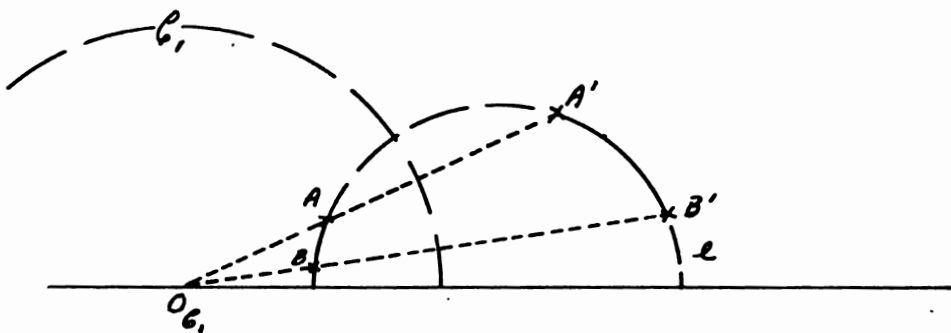
Si  $\overline{AB} =_{\lambda} \overline{A'B'}$ , existe una  $\lambda$ -isometría  $f$  tal que  $f(A) = A'$  y  $f(B) = B'$ . Como  $f$  es  $\lambda$ -isometría,  $d_{B'}^A = d_{f(B)}^{f(A)}$ .

$$\text{Lo decir, } d_{B'}^A = d_{B'}^{A'}.$$

Para demostrar que si dos  $h$ -segmentos tienen la misma  $h$ -longitud son  $h$ -congruentes, consideremos, como primer caso, aquél en el que ambos  $h$ -segmentos están sobre la misma  $h$ -recta.

Sean  $\overline{AB}$  y  $\overline{A'B'}$  dos  $h$ -segmentos tales que  $d_{\overline{AB}}^{(n)} = d_{\overline{A'B'}}^{(n)}$  y sea  $l$  la  $h$ -recta que los contiene.

Sea  $b_2$  la  $h$ -recta tal que al invertir con respecto a ella,  $A$  y  $A'$  son mutuamente inversos. Sea  $f_2$  la inversión con respecto a  $b_2$ .



Al aplicar  $f_2$ ,  $A$  se transforma en  $A'$  y  $B$  se transforma en un  $h$ -punto  $P$  (que también está sobre la  $h$ -recta  $l$ , pues  $b_2 \perp l$ ) de tal que

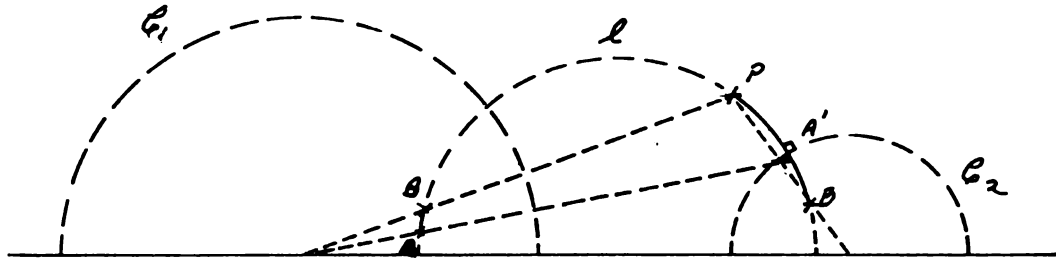
$$\overline{AB} =_h \overline{A'B'}, \text{ por lo que } d_{\overline{AB}}^{(n)} = d_{\overline{A'B'}}^{(n)}$$

Si  $P$  está del mismo lado de  $A'$  que  $B'$ ,  $P = B'$ , pues  $d_{\overline{AB}}^{(n)} = d_{\overline{A'B'}}^{(n)} = d_{\overline{A'B'}}^{(n)}$ . Y para se demuestra en la primera parte de este trabajo (sección II.1.2), dada una  $h$ -distancia específica de cada lado de  $A'$ , un único  $h$ -punto sobre  $l$  tal que su  $h$ -distancia a  $A'$  es la  $h$ -distancia dada.

$$\text{Así, } f_2(\overline{AB}) = \overline{A'B'}, \text{ es decir, } \overline{AB} =_h \overline{A'B'}.$$

Si  $P$  está sobre  $l$ , pero del otro lado de  $A'$  que  $B'$ , sea  $b_2$  la  $h$ -recta tal que al invertir con respecto a ella,  $l$  se transforma en si misma globalmente y  $A'$  queda fijo (I. 2.6), y sea  $f_2$  la invención con respecto a  $b_2$ .

Al aplicar  $f_2$ ,  $A'$  se transforma en si mismo y  $P$  se transforma en el  $h$ -punto  $X$  del otro lado de  $A'$  tal que  $d^{(A')}_{P'} = d^{(A')}_{X} = d^{(A')}_{B'}$ . Es decir,  $P$  se transforma en  $B'$ .



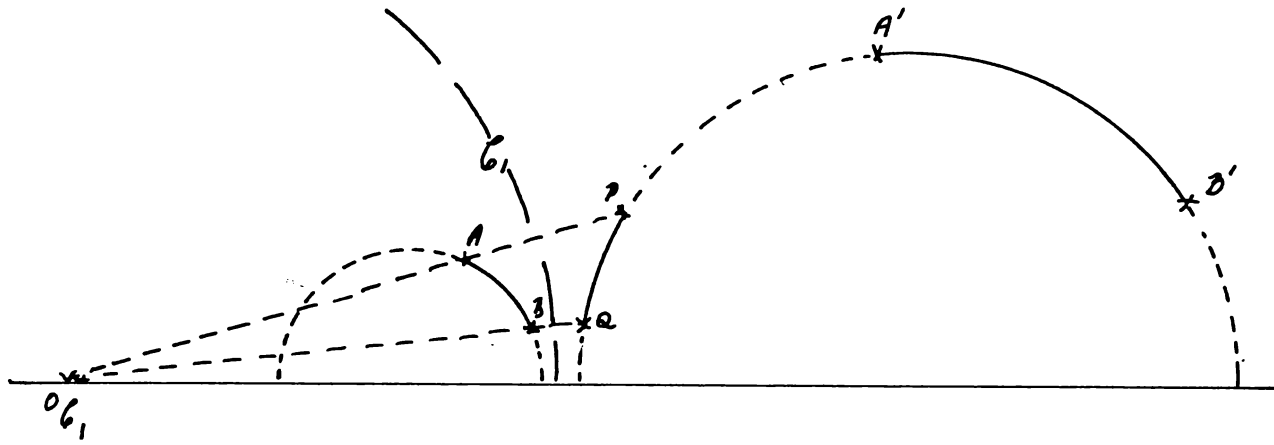
Tenemos entonces que  $f_2(f_1(\overline{AB})) = f_2(\overline{AP}) = \overline{A'B'}$  es decir,  $\overline{AB}$  y  $\overline{A'B'}$  son  $h$ -congruentes.

Ahora consideremos el caso en el que los dos h-segmentos cuya h-longitud es la misma, están sobre distintas h-rectas.

Sean  $\overline{AB}$  y  $\overline{A'B'}$  dos h-segmentos tales que  $d_{\alpha}^A = d_{\alpha'}^{A'}$ , y sean  $l$  y  $m$  las h-rectas que los contienen.

Sea  $b_1$  la h-recta tal que al invertir con respecto a ella,  $l$  y  $m$  son mutuamente inversas, y sea  $f_1$  la inversión con respecto a  $b_1$ .

Al aplicar  $f_1$ ,  $\overline{AB}$  se transforma en un h-segmento  $\overline{PQ}$  sobre  $m$ , h-congruente con  $\overline{AB}$ , con lo que tenemos, sobre la h-recta que contiene a  $\overline{A'B'}$ , un h-segmento  $\overline{PQ}$  tal que su h-longitud es la misma que la de  $\overline{AB}$  y por lo tanto la misma que la de  $\overline{A'B'}$ .

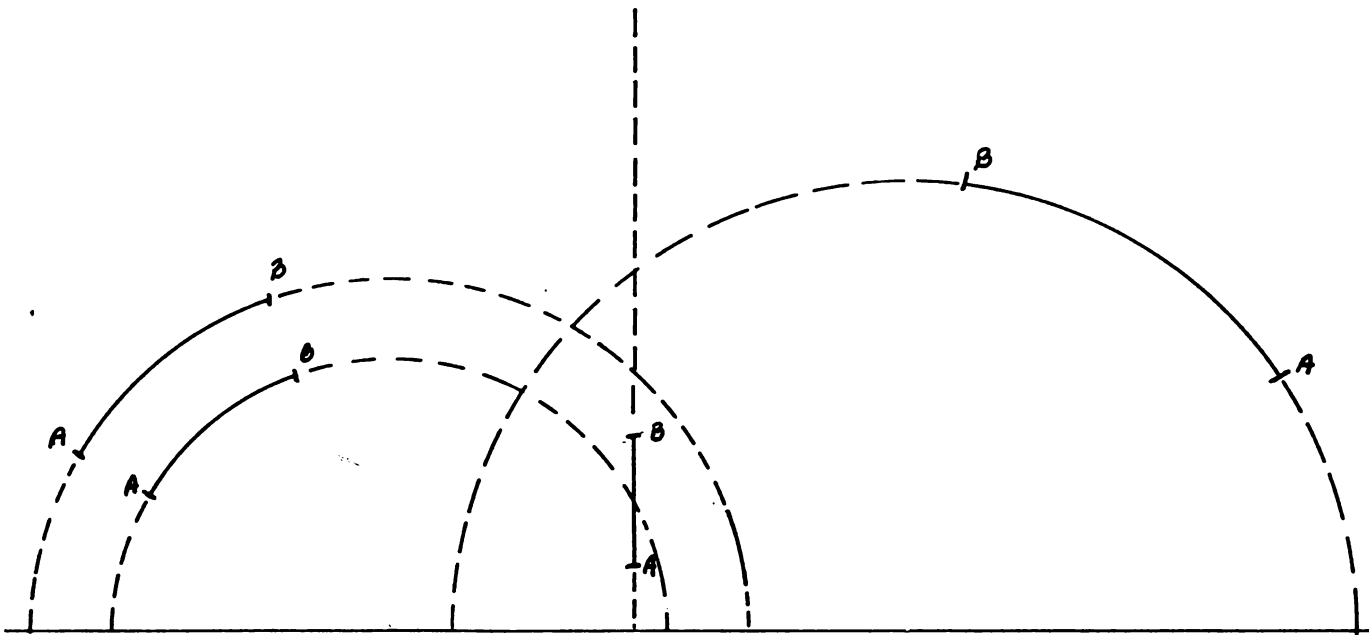


Siendo  $\overline{PQ}$  y  $\overline{A'B'}$  dos h-segmentos cuyas h-longitudes es la misma, es decir, como acá ademas de demostrar, una h-isometría  $f$  tal que  $f(\overline{PQ}) = \overline{A'B'}$ .

Tenemos entonces que  $f(f^{-1}(\overline{AB})) = f(\overline{PQ}) = \overline{A'B'}$ , es decir,  $\overline{AB} =_L \overline{A'B'}$ .

Como la  $k$ -distancia no es la misma que la  $e$ -distancia, la  $k$ -congruencia no es la misma que la  $e$ -congruencia.

En la siguiente figura, todas las  $k$ -segmentas  $\overline{AB}$  son  $k$ -congruentes y, sin embargo, no son  $e$ -congruentes.



I. 4 Una h-isometría que nos resultará útil

Terminamos este capítulo aplicando cómo encontrar la h-isometría que transforma a una sucesión de h-segmentos colineales h-congruentes  $A_1A_2, A_2A_3, A_3A_4$  etc. a la sucesión de h-segmentos  $A_2A_3, A_3A_4, A_4A_5$  etc.

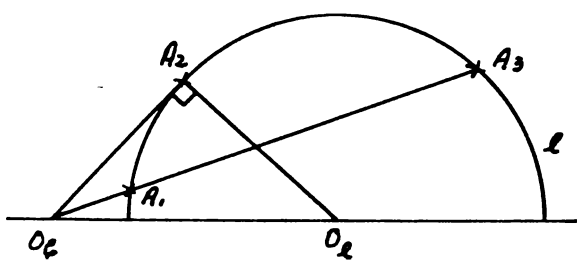
Supondremos que la recta que contiene a la sucesión de h-segmentos es  $\ell$ -semicircunferencia. En el caso en que ésta sea un  $\ell$ -rayo, las trazas pueden deducirse fácilmente una vez conocidas las trazas para  $\ell$ -semicircunferencias.

Además, omitiremos la justificación de todas las trazas, ya que todas ellas son consecuencia de resultados ya demostrados.

Para empezar, veamos cómo trazar una sucesión de h-segmentos colineales h-congruentes.

Sea  $l$  una h-recta y sea  $\overline{A_1A_2}$  un h-segmento sobre  $l$ .

Para encontrar un h-punto  $A_3$  tal que  $\overline{A_1A_2} =_h \overline{A_2A_3}$ , marcamos  $O_2$ , el centro de  $l$ , y trazamos el  $\ell$ -radio  $O_2A_2$ .

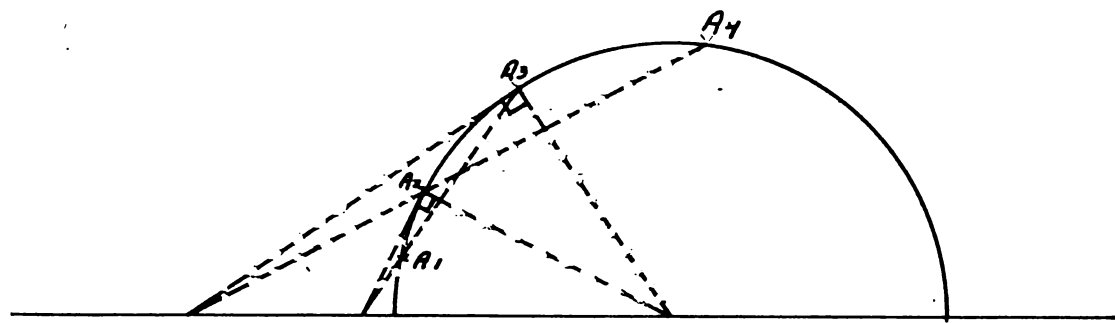


$A_3$  es tal que  $\overline{A_1A_2} =_h \overline{A_2A_3}$ .

Trazamos la  $\ell$ -recta perpendicular al  $\ell$ -radio  $O_2A_2$  en  $A_2$  y llamamos  $O_3$  al  $\ell$ -punto en donde ésta intersecta al eje  $x$ .

Trazamos la  $\ell$ -recta  $O_3A_3$  y llamamos  $A_3$  al h-punto de  $l$  distinto de  $A_2$  sobre  $O_3A_3$ .

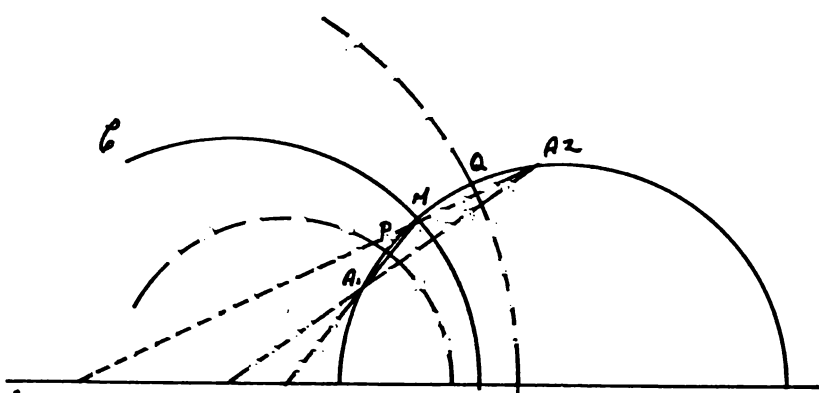
Repitiendo este proceso podemos obtener un h-punto  $A_4$  tal que  $\overline{A_2 A_3} = \lambda \overline{A_3 A_4}$ ; después un h-punto  $A_5$  tal que  $\overline{A_3 A_4} = \lambda \overline{A_4 A_5}$ , etc.



Ahora encontramos la h-isometría que transforma a  $A_1 A_2$  en  $A_2 A_3$ ; a  $A_2 A_3$  en  $A_3 A_4$ ; a  $A_3 A_4$  en  $A_4 A_5$  etc.

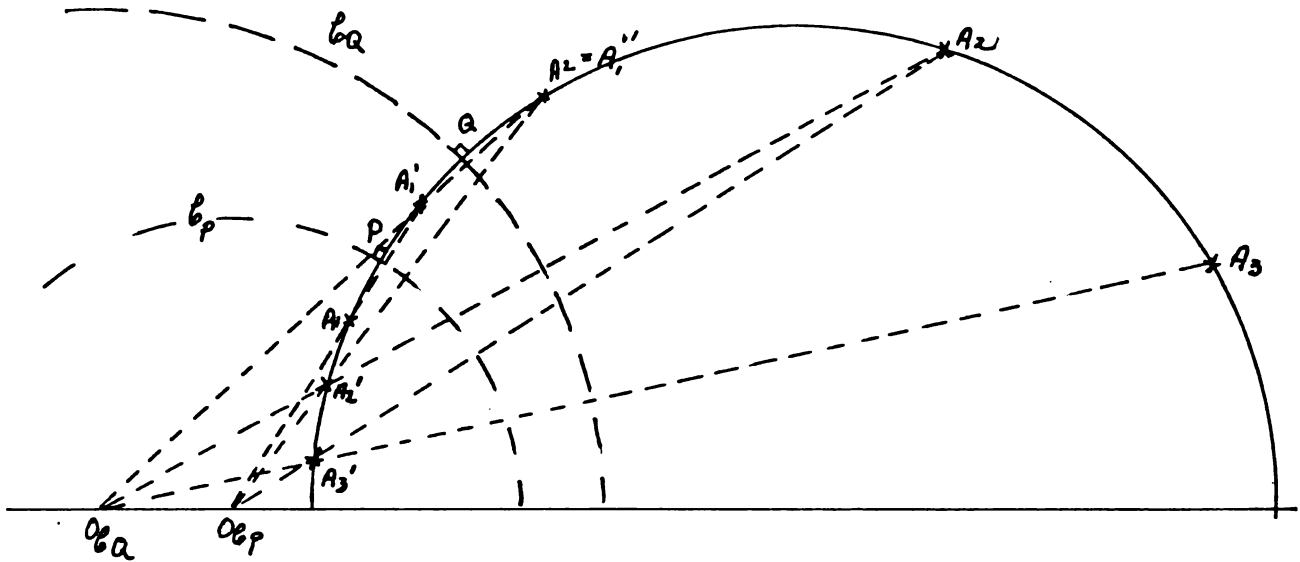
Para simplificar las cosas supondremos que los h-puntos  $A_1, A_2, A_3$  etc. están colocados de izquierda a derecha y tomaremos como unidad de h-distancia, a la h-longitud de los h-segmentos de la sucesión. Sea  $l$  la h-recta que contiene a la sucesión.

Sea  $P$  el h-punto sobre  $l$  situado a una h-distancia  $\frac{1}{4}$  a la derecha de  $A_1$ , y sea  $Q$  el h-punto sobre  $l$  situado a una h-distancia  $\frac{3}{4}$  a la derecha de  $A_1$ .



Para encontrar  $P$  y  $Q$ , trazamos la h-recta  $l'$  que transforma a  $A_1$  en  $A_2$ . El punto  $H$  en donde ésta interseca a  $l$ , resulta ser el h-punto medio del h-segmento  $A_1 A_2$ .

Una vez encontrado  $H$  encontramos, con el mismo método, el h-punto medio del h-segmento  $A_1 H$ , y éste resulta ser  $P$ . Y encontramos el h-punto medio de  $H A_2$  y éste resulta ser  $Q$ .



Sea  $l_P$  la  $h$ -recta ortogonal a  $l$  en  $P$ , y sea  $f_P$  la invención con respecto a  $l_P$ . Al aplicar  $f_P$ ,  $P$  queda fijo y  $l$  se transforma en sí misma globalmente, por lo que  $A_1, A_2, A_3$  etc. se transforman en  $h$ -puntos  $A'_1, A''_1, A'_2$  etc. que están sobre  $l$ .

Como  $A_1$  está a una  $h$ -distancia  $\frac{1}{4}$  a la izquierda de  $P$ ,  $A'_1$  está a una  $h$ -distancia  $\frac{1}{4}$  a la derecha de  $P$ , y por lo tanto a una  $h$ -distancia  $\frac{1}{4}$  a la izquierda de  $Q$ .

Como  $A_2$  está a una  $h$ -distancia  $\frac{3}{4}$  a la derecha de  $P$ ,  $A'_2$  está a una  $h$ -distancia  $\frac{3}{4}$  a la izquierda de  $P$ , y por lo tanto a una  $h$ -distancia  $\frac{5}{4}$  a la izquierda de  $Q$ .

En general, cada  $h$ -punto  $A'_i, i=1,2,3,\dots$  está a una  $h$ -distancia  $\frac{4i-3}{4}$  a la izquierda de  $Q$ .

Sea  $l_Q$  la  $h$ -recta ortogonal a  $l$  en  $Q$ , y sea  $f_Q$  la invención con respecto a  $l_Q$ . Al aplicar  $f_Q$ , cada  $h$ -punto  $A''_i, i=1,2,3,\dots$  se transforma en un  $h$ -punto  $A''_i$  sobre  $l$  situado a una  $h$ -distancia  $\frac{4i-3}{4}$  a la derecha de  $Q$ .

Pero para toda  $i, i=1,2,3,\dots, A''_i$  coincide con  $A_{i+1}$ , pues todo  $h$ -punto  $A_{i+1}$  está a una  $h$ -distancia  $\frac{4i-3}{4}$  a la derecha de  $Q$ .

$$\text{Así, } f_Q(f_P(A_2)) = f_Q(A'_1) = A''_1 = A_{2+1}$$

Por lo que la  $h$ -simetría  $f_Q \circ f_P$  transforma a la sucesión  $A_1 A_2, A_2 A_3, A_3 A_4, \dots$  en la sucesión  $A_2 A_3, A_3 A_4, A_4 A_5, \dots$

## Capítulo II

### Conceptos básicos

Las tres primeras secciones de este capítulo: II.1 h-perpendiculares, II.2 h-mediatrixes y II.3 h-bisectrices, estarán dedicadas al estudio de la h-perpendicular a una recta por un h-punto, la h-mediatrix de un h-segmento y la h-bisectriz de un hángulo. Definiremos estas h-rectas, demostraremos algunas de sus propiedades e indicaremos como trazarlas.

En la cuarta sección : II.4 h-círculos, hablaremos de h-círculos. Mencionaremos que forma tienen e indicaremos como trazarlos. Demostraremos que todo h-círculo es h-perpendicular a sus h-diametros y que, dados tres h-puntos no h-colineales, no siempre existe un h-círculo que pasa por ellos. Además, definiremos el concepto de h-árcos.

## II.1 L-perpendiculares.

Daremos que dos l.-rectas que se intersectan son perpendiculares si y sólo si el ángulo que forman al intersectarse es recto.

Teorema II.1. - Dados una l.-recta  $l$  y un l.-punto  $P$  sobre ella, existe una única l.-recta perpendicular a  $l$  en  $P$ .

Consideraremos primero el caso en el que  $l$  es l-rayo.

Sea  $L$  el pie de  $l$  y sea  $P$  un l.-punto sobre  $l$ .

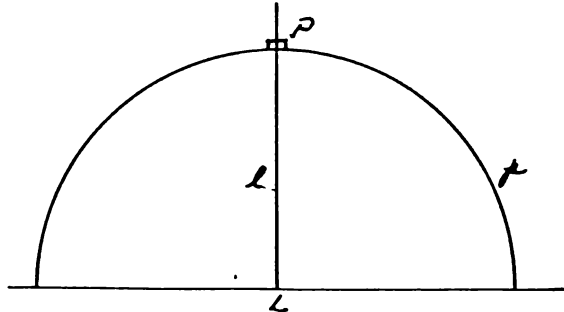
Sea  $p$  la l.-semicircunferencia con centro en  $L$  y e-radio  $LP$ .

Como las l.-circunferencias tienen la propiedad de ser ortogonales a sus radios,  $p$  es orthogonal a  $LP$  por lo que  $p$  resulta ser una l.-recta perpendicular al l-rayo  $l$  en  $P$ .

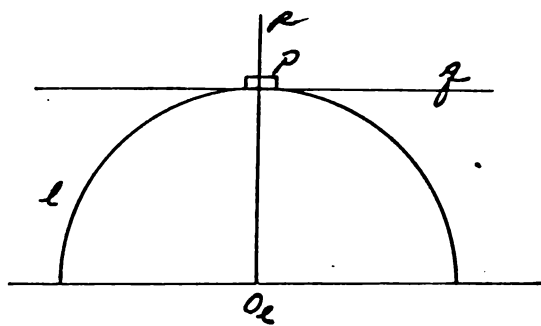
Ninguna otra l.-recta e-semicircunferencia  $q$ ,  $q \neq p$ , puede ser perpendicular a  $l$  en  $P$  pues toda l.-circunferencia perpendicular a  $l$  debe tener centro en  $L$ .

Tampoco existe una l.-recta e-rayo perpendicular a  $l$ , pues ninguna l.-recta l-rayo intersecta a  $l$ .

Así,  $p$  resulta ser la única perpendicular a  $l$  en  $P$ .

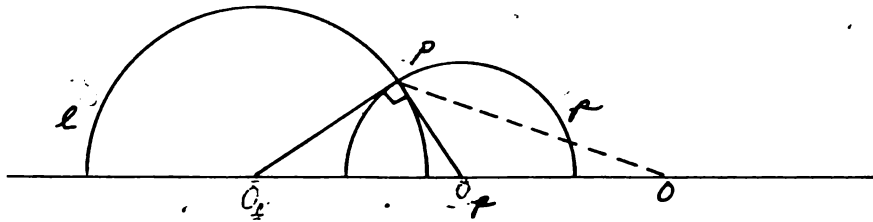


Si  $l$  es l-semicircunferencia, sea  $O_2$  el centro de  $l$ , sea  $P$  un l-punto de  $l$ , y sea  $g$  la l-recta perpendicular al l-radio  $O_2 P$ .



Si  $g$  no intersecta al eje  $x$ , la única l-perpendicular a  $l$  en  $P$  es el l-rayo que pasa por  $P$ .

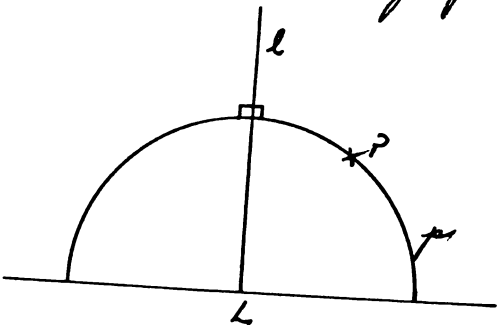
Si  $g$  intersecta al eje  $x$  en un punto  $O_P$ , la l-circunferencia de centro  $O_P$  y lradio  $O_P P$  resulta ser una l-recta perpendicular a  $l$  en  $P$ .



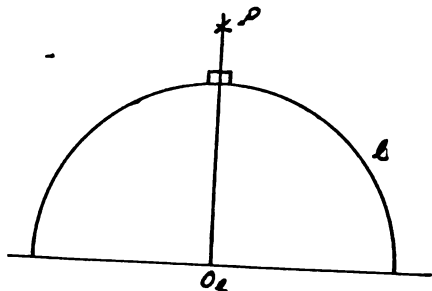
Ningún otro punto  $O$  del eje  $x$  ( $O \neq O_P$ ), que sea l-centro de la l-perpendicular buscada, cumple si el lángulo  $O_2 P O$  es recto, y  $O \neq O_P$ , el lángulo  $O_2 P O$  no puede ser recto, y así, la única l-recta perpendicular a  $l$  en  $P$  es  $g$ .

**Teorema II.2.-** Dados una  $\ell$ -recta  $l$  y un  $\ell$ -punto  $P$  fuera de  $l$ , existe una única  $\ell$ -recta perpendicular a  $l$  desde  $P$ .

Si  $l$  es un  $\ell$ -rayo,  
la  $\ell$ -perpendicular  $p$   
a  $l$  desde  $P$  es el  $\ell$ -  
semicírculo con  
centro en  $l$  el pie de  
 $l$  y  $\ell$ -radio  $LP$ .



La única porque las únicas  $\ell$ -rectas perpendiculares al  $l$  son las  $\ell$ -semicircunferencias  
que tienen centro en  $l$ , y de todas ellas,  
sólo una pasa por  $P$ .



Si  $l$  es  $\ell$ -semicircunfe-  
rencia y la  $\ell$ -recta  
que une a  $P$  con el  
centro de  $l$  es  $\ell$ -  
recta, ésta  $\ell$ -recta es  
 $p$ , la  $\ell$ -perpendicular  
buscada.

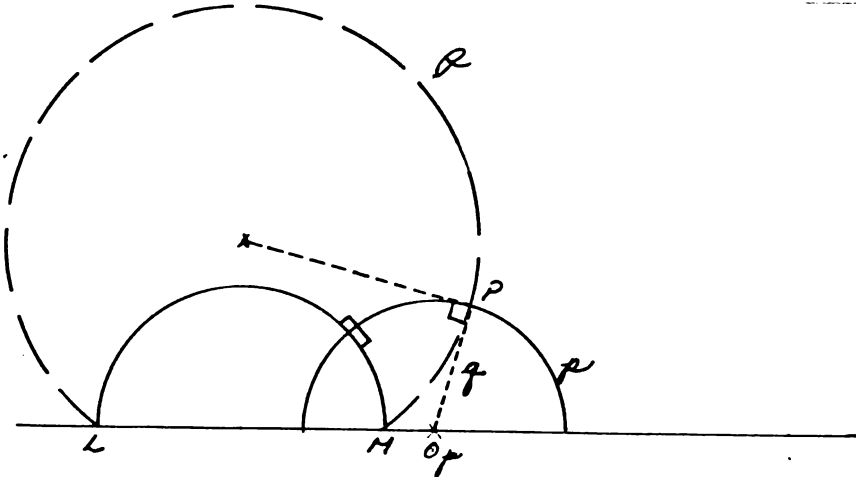
FACULTAD DE CIENCIAS



BIBLIOTECA

Si la  $\ell$ -recta  $QP$  no es  $h$ -recta, sean  $L$  y  $M$  los puntos al infinito de  $\ell$ , sea  $P$  la  $\ell$ -circunferencia  $LMP$  y sea  $q$  la  $\ell$ -tangente a  $P$  en  $P$ .

Sea  $O_p$  el punto en donde  $q$  interseca al eje  $x$ , y sea  $p$  la  $\ell$ -semicircunferencia de centro  $O_p$  y  $\ell$ -radio  $O_p P$ .



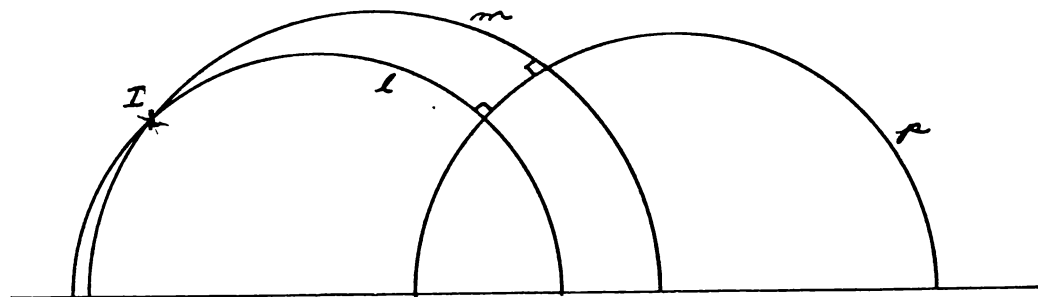
$p$  es ortogonal a  $Q$ , y por lo tanto ortogonal a  $\ell$ , pues  $Q$  y  $\ell$ , vistas como  $\ell$ -circunferencias, pertenecen a una familia de  $\ell$ -circunferencias coadiuvantes (ver § 7 I) cuyo eje radical es el eje  $x$  por lo que cualquier  $\ell$ -circunferencia perpendicular a  $Q$  es también perpendicular a  $\ell$ .

Así,  $p$  es una  $h$ -recta perpendicular a  $\ell$  de  $\ell$ .

La unicidad se sigue como consecuencia de la unicidad de la  $\ell$ -circunferencia ortogonal a  $Q$  en  $P$  y con centro en el eje  $x$ .

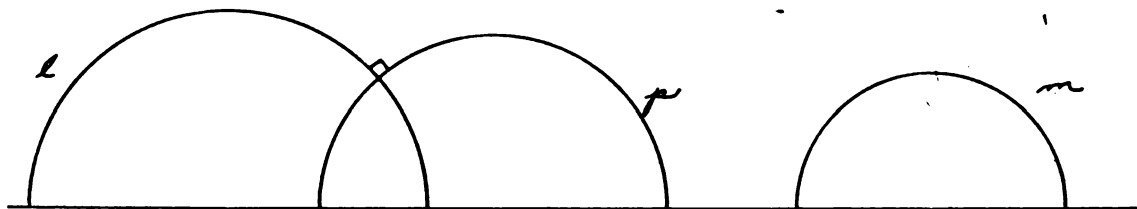
Teorema II.3. - Si  $l$  y  $m$  son dos h-rectas tales que existe una h-recta perpendicular a ambas,  $l$  y  $m$  no se intersectan.

Sean  $l$  y  $m$  dos h-rectas y sea  $p$  una h-recta perpendicular a ambas.



Si  $l$  y  $m$  se intersectan en un h-punto  $I$ ,  $p$  e  $I$  son tales que existen, desde  $I$ , dos h-perpendiculares a  $p$  ( $l$  y  $m$ ), lo cual contradice el Teorema II.2.

Observemos también que si  $l$  y  $m$  son dos h-rectas que no se intersectan y  $p$  es una h-recta perpendicular a  $l$ ,  $p$  juntas no intersecta a  $m$ .



## II.2 h-mediatrices.

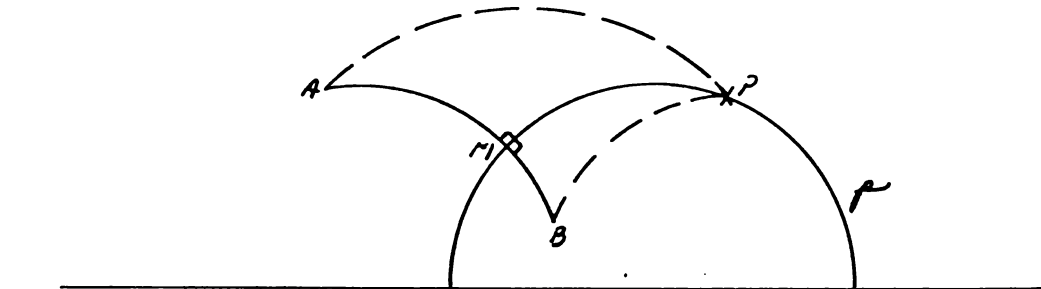
Dijimos a la h-mediatriz de un h-segmento de la siguiente manera: Una h-recta  $m$  es h-mediatriz de un h-segmento  $\overline{AB}$  si y sólo si los h-puntos de  $m$  son h-equidistantes de  $A$  y de  $B$ ; es decir, si y sólo si  $d_A^p = d_B^p$  para todo h-punto  $p$  en  $m$ .

**Teorema II.4.** - Una h-recta  $m$  es h-mediatriz de un h-segmento  $\overline{AB}$ , si y sólo si  $m$  es la h-perpendicular en  $M$  a  $\overline{AB}$ , donde  $M$  es el h-punto medio del h-segmento  $\overline{AB}$ .

Sea  $\overline{AB}$  un h-segmento. Sea  $M$  el h-punto medio de  $\overline{AB}$  y sea  $f$  la h-perpendicular a  $\overline{AB}$  en  $M$ .

Demostremos que  $f$  es la h-mediatriz de  $\overline{AB}$ ; es decir, demostremos que para todo h-punto  $p$  en  $f$ ,  $d_A^p = d_B^p$ .

Sea  $P$  un h-punto de  $f$  distinto de  $M$ , y sea  $f_P$  la inversión con respecto a  $f$ .



Como  $f$  es perpendicular a la h-recta  $AB$ , al aplicar  $f_P$ , la h-recta  $AB$  se transforma en si misma globalmente y  $M$  queda fijo, y como  $M$  es el h-punto medio de  $\overline{AB}$ ,  $f_P$  transforma a  $A$  en  $B$ .

Además, como  $f_P$  transforma a  $P$  en si mismo,  $f_P$  transforma al h-segmento  $\overline{PA}$  en el h-segmento  $\overline{PB}$ , con lo que  $P$

$d_A^P = f_P d_B^P$  y así  $d_A^P = d_B^P$ , que es lo que queríamos demostrar.

Ahora demostremos que la h-mediatriz de un h-segmento es perpendicular a este en el h-punto medir.

Sea  $\overline{AB}$  un h-segmento y  $m$  una h-recta h-mediatrix de  $\overline{AB}$ .

Sea  $M$  el h-punto de intersección de  $m$  y  $\overline{AB}$ .

Como  $M$  está en  $m$ ,  $d_M^A = d_M^B$ . Es decir,  $M$  es el h-punto medir del h-segmento  $\overline{AB}$ .

Para demostrar que  $m$  es perpendicular a  $\overline{AB}$ , tomemos un h-punto  $P$  en  $m$  distinto de  $M$ .

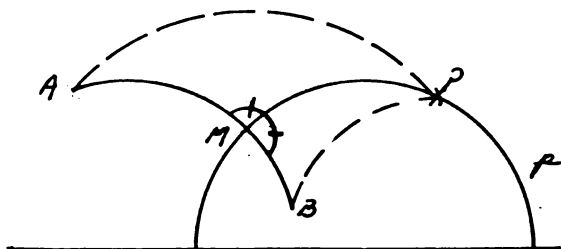
Como  $P$  está en  $m$ ,  $d_P^A = d_P^B$ .

Tenemos entonces que  $\overline{AM} \perp \overline{BM}$  y que  $\overline{PA} \perp \overline{PB}$ . Y, como además,  $\overline{MP} \perp \overline{MB}$ , resulta que los h-triángulos  $AMP$  y  $BMP$  son tales que sus lados son respectivamente h-congruentes.

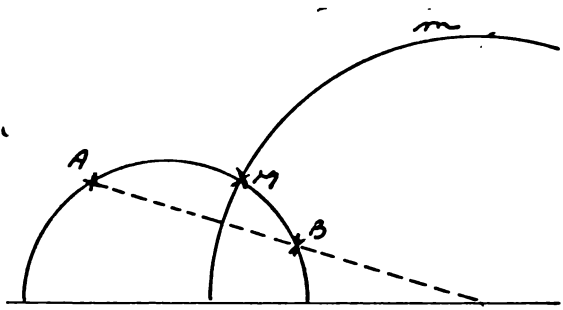
El resultado de geometría euclídea que afirma que dos h-triángulos que tienen sus lados respectivamente h-congruentes, tienen sus ángulos respectivamente congruentes, es válido también en geometría hiperbólica, pues dicho resultado es una consecuencia directa del axioma de congruencia de Hilbert, y el axioma de congruencia de Hilbert es independiente del postulado de las paralelas (ver E 81).

Así, la h-congruencia de los lados de los h-triángulos  $AMP$  y  $BMP$ , implica que los h-ángulos  $AMP$  y  $BMP$  son congruentes, por lo que  $m$  es perpendicular a  $\overline{AB}$ .

Como corolario de este teorema tenemos que la h-mediatrix de un h-segmento es única.



El teorema II.4 nos permite encontrar fácilmente la h-mediatriz  $m$  de un h-segmento  $\bar{AB}$ . Simplemente trazamos la h-recta tal que, al invertir con respecto a ella,  $A$  y  $B$  son mutuamente inversos. (trazo I.2.1), y esta recta sea la h-mediatrix de  $\bar{AB}$ .



Sea  $\bar{AB}$  un h-segmento y  $m$  la h-recta que lo contiene.

Sea  $m$  la h-recta tal que, al invertir con respecto a ella,  $A$  y  $B$  son mutuamente inversos, y sea  $f_m$  la inversión con respecto a  $m$ .

Sea  $M$  el h-punto de intersección de  $m$  y  $\bar{AB}$ .  $f_m$  transforma al h-segmento  $\bar{AM}$  en el h-segmento  $\bar{BM}$ , y por lo tanto  $M$  es el h-punto medir de  $\bar{AB}$ .

Además, el que  $f_m$  transforme a  $\bar{AB}$  en  $\bar{BM}$ , implica que  $f_m$  transforma a la h-recta  $\bar{AB}$  en  $m$  globalmente.

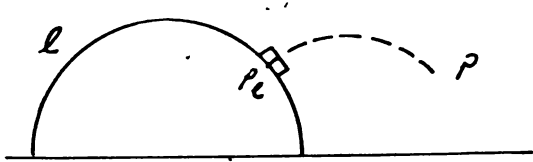
Este hecho indica que  $m$  es perpendicular a  $\bar{AB}$ , pues, bajo  $\epsilon$ -inversión, las líneas  $\epsilon$ -circunferencias que se transforman en si mismas globalmente, son las  $\epsilon$ -circunferencias perpendiculares a la circunferencia de inversión (ver §7.1).

Así,  $m$  es la h-perpendicular al h-segmento  $\bar{AB}$  en el h-punto medir y, por lo tanto, ta su h-mediatrix.

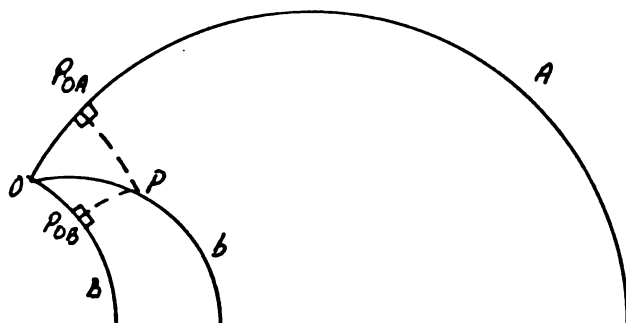
### II.3 H-bisectrices

Dicemos que una h-recta  $b$  es la h-bisectriz de un h-ángulo  $AOB$  si y sólo si para todo h-punto  $P$  en  $b$ , la h-distancia de  $P$  al lado  $OA$  del h-ángulo, es la misma que la h-distancia de  $P$  al lado  $OB$  del h-ángulo.

Consideraremos que la h-distancia de un h-punto  $P$  a una h-recta  $l$ , es la h-longitud del h-segmento  $P\tilde{P}_l$ , donde  $\tilde{P}_l$  es el pie de la h-perpendicular a  $l$  dada por  $P$ .



Aquí, una h-recta  $b$  es h-bisectriz de un h-ángulo  $AOB$  si y sólo si, para todo h-punto  $P$  en  $b$ ,  $d_{P_OA}^P = d_{P_OB}^P$ , donde  $P_{OA}$  y  $P_{OB}$  son los pies de las h-perpendiculares desde  $P$  a  $OA$  y  $OB$  respectivamente.

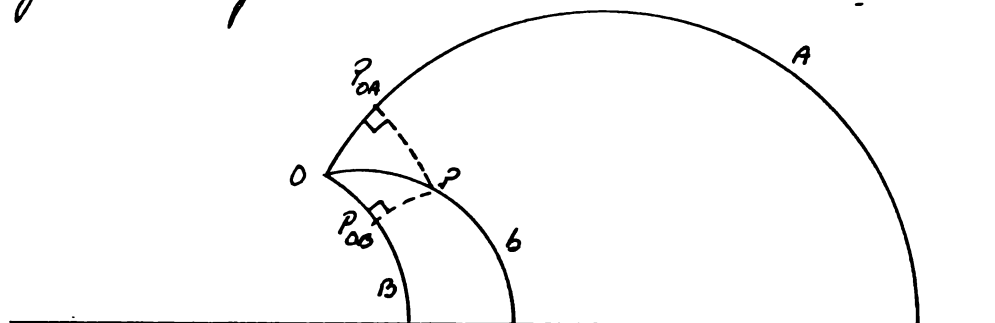


Una consecuencia inmediata de la definición de h-bisectriz, es que la h-bisectriz de un h-ángulo pasa por el vértice del h-ángulo.

Teorema II.5.- Una h-recta  $b$  es h-bisectriz de un h-ángulo  $AOB$ , si y sólo si el h-ángulo  $AOP$  es h-congruente con el h-ángulo  $POb$ , donde  $P$  es un h-punto sobre  $b$  distinto de  $O$ .

Sea  $AOB$  un h-ángulo y sea  $P$  un h-punto en el interior del h-ángulo  $AOB$  tal que los h-ángulos  $AOP$  y  $POb$  son h-congruentes.

Demostremos que la la h-recta  $OP$  es la h-bisectriz del h-ángulo  $AOB$ ; es decir, demostremos que  $d_{P_OA}^P = d_{P_OB}^P$ , donde  $P_OA$  y  $P_OB$  son los pies de las h-perpendiculares desde  $P$  a  $OA$  y  $OB$  respectivamente.



Sea  $f$  la inversión con respecto a la h-recta  $OP$ . Al aplicar  $f$ ,  $P$  y  $O$  quedan fijos y el h-rayo  $OA$  se transforma en el h-rayo  $OB$  (pues la  $\ell$ -inversión preserva ángulos).

La h-recta  $PP_{OA}$ , que pasa por  $P$  y es perpendicular a  $OA$ , se transforma en la h-recta que pasa por  $P$  y es perpendicular a  $P_OB$ ; es decir, se transforma en la h-recta  $PP_{OB}$ .

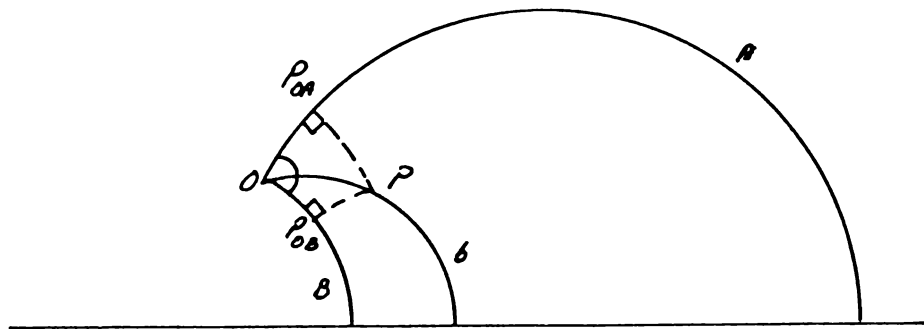
Tenemos entonces que, al aplicar  $f$ ,  $P_{OA}$ , que es el h-punto de intersección de las h-rectas  $OA$  y  $PP_{OA}$ , se transforma en  $P_{OB}$ , que es el punto de intersección de las h-rectas  $OB$  y  $PP_{OB}$ .

Así,  $f$  transforma al h-segmento  $\overline{PP_{OA}}$  en el h-segmento  $\overline{PP_{OB}}$ , por lo que

$\overline{PP_{OA}} = \overline{PP_{OB}}$  y  $d_{P_OA}^P = d_{P_OB}^P$ , que es lo que queríamos demostrar.

Sea  $AOB$  un h-ángulo y sea  $b$  la h-rectriz de  $AOC$ .  
 Sea  $P$  un h-punto sobre  $b$  distinto de  $O$ .  
 Sean  $P_{OA}$  y  $P_{OB}$  los pies de las h-perpendiculares de  $P$  a  $OA$  y  $OB$  respectivamente.

Entonces  $d_{P_{OA}}^P = d_{P_{OB}}^P$  y por lo tanto  $\overline{P_{OA}P} =_h \overline{P_{OB}P}$ .



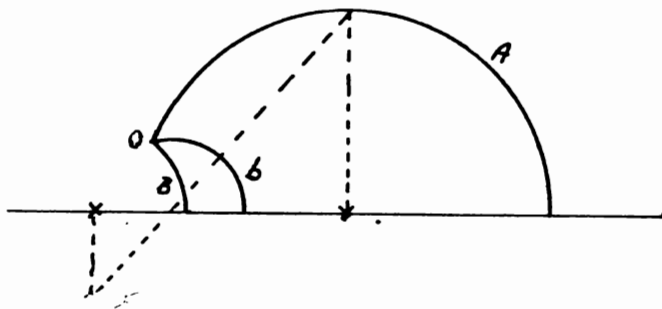
Los h-triángulos  $\triangle OP_{OA}P$  y  $\triangle OP_{OB}P$  son dos h-tríngulos rectángulos ( $\angle PP_{OA}O = \angle PP_{OB}O = 90^\circ$ ), tales que tienen un par de lados respectivamente congruentes ( $\overline{PP_{OA}} =_h \overline{PP_{OB}}$  y  $\overline{PO} =_h \overline{PO}$ ), y por lo tanto tienen sus ángulos respectivamente congruentes.

Este es un resultado de geometría euclídea que no depende del postulado de las paralelas (ver I 5) y por lo tanto válido en geometría hiperbólica.

$$\text{Así, } \angle AOP = \angle P_{OA}OP = \angle P_{OB}OP = \angle BOP$$

El teorema II.5 nos permite encontrar fácilmente la h-bisectriz  $b$  de un h-ángulo  $AOB$ .

Simplemente hay que trazar la h-recta tal que al invertir con respecto a ella, el h-rayo  $OA$  se transforma en el h-rayo  $OB$  (traz <sup>I.3.4</sup>) y ésta resulta ser la h-bisectriz de  $AOB$ .

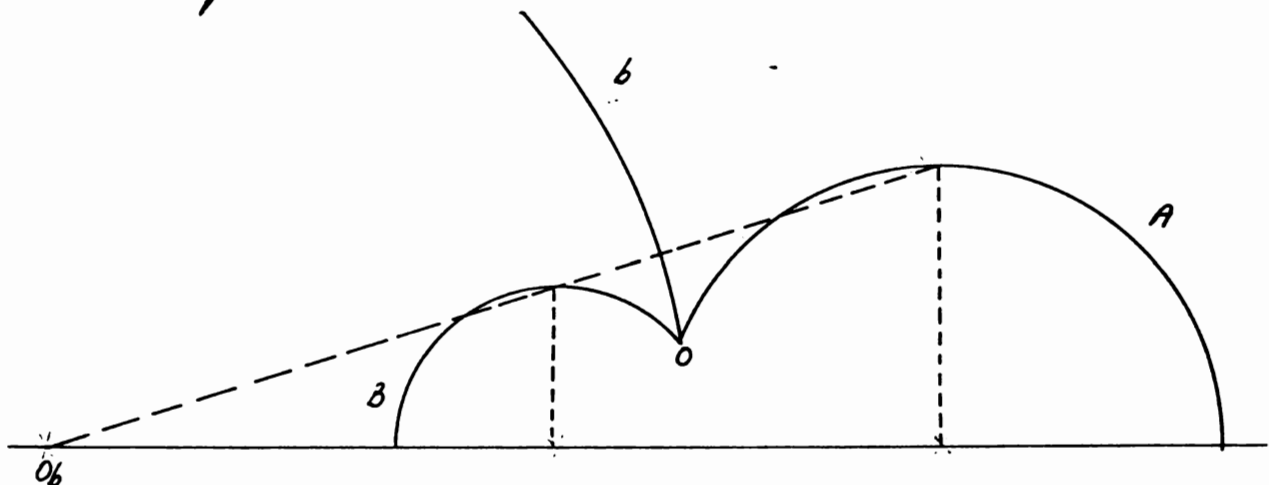


Sea  $b$  la h-recta tal que al invertir con respecto a ella, el h-rayo  $OA$  se transforma en el h-rayo  $OB$ .

Sea  $f_b$  la inversión con respecto a  $b$ .

Como al aplicar  $f_b$ ,  $b$  se transforma en sí misma, el h-ángulo  $AOb$  se transforma en el h-ángulo  $BOb$ , y como la e-inversión preserva ángulos,

$\angle AOb = \angle BOb$ ; es decir,  $b$  es la h-bisectriz del h-ángulo  $AOb$ .

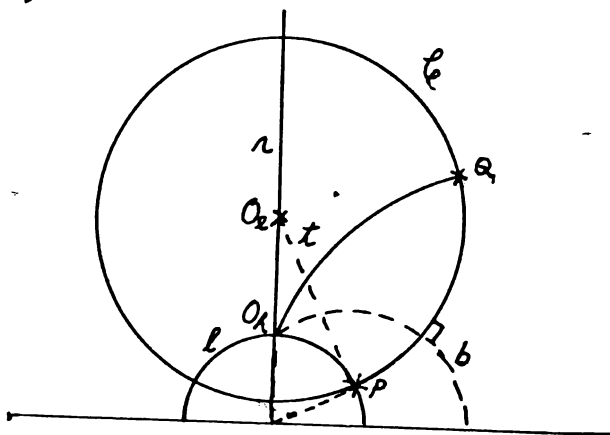


## II.4 h-círculos

En la primera parte de este trabajo (sección II.1), definimos al h-círculo como el conjunto de h-puntos que h-equidistan de un h-punto fijo, y demostramos que dados un h-punto y una h-distancia, existe un único h-círculo cuyo h-centro es el h-punto dado y cuya h-radio es la h-distancia dada.

Ahora veremos qué forma tienen los h-círculos.

**Teatma II.6.** - Los h-círculos son e-círculos cuyo centro (h-centro) no coincide con el centro eclíptico.



Sea  $O_h$  un h-punto, sea  $r$  la h-recta  $l$ -rayo que pasa por  $O_h$  y sea  $t$  cualquier otra h-recta por  $O_h$ .

Sea  $P$  un h-punto sobre  $l$  ( $P \neq O_h$ ), y sea  $t$  la h-tangente a  $l$  en  $P$ , y sea  $O_e$  el h-punto donde  $t$  intersecta a  $r$ .

Sea  $C$  la e-circunferencia de e-centro  $O_e$  y e-radio  $O_e P$ . Demostraremos que  $C$  es el h-círculo de h-centro  $O_h$  y h-radio  $O_h P$ . Es decir, demostraremos que todo h-punto de  $C$  está a una h-distancia  $r$  de  $O_h$ , donde  $r$  es la h-longitud del h-segmento  $O_h P$ .

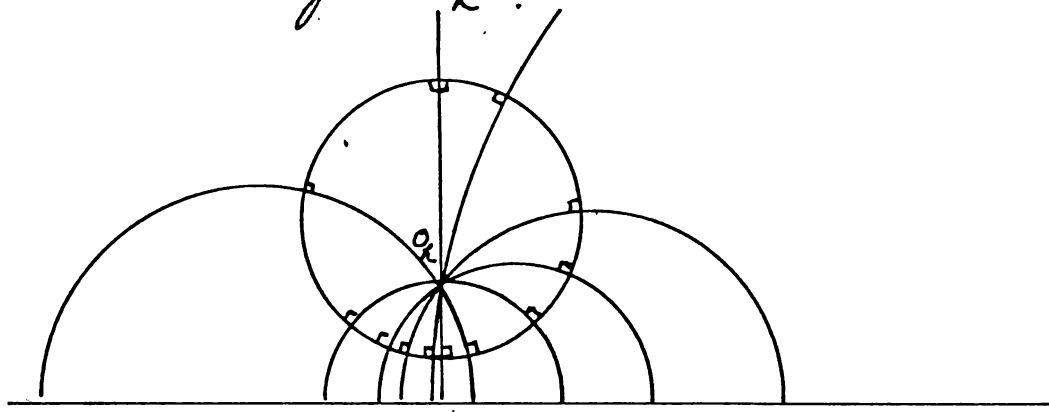
Sea  $Q$  un h-punto de  $C$  distinto de  $P$ , y sea  $b$  la h-bisectriz del h-ángulo  $QO_h P$ . Observemos que la h-recta  $b$ , al igual que todas las h-rectas por  $O_h$ , es ortogonal a  $l$ , pues las h-rectas por  $O_h$  vienen con e-circunferencias pertenecen a una familia de e-circunferencias coaxiales (ver L7I), cuyo eje radical es  $r$ , y  $C$  es una e-circunferencia con centro en  $r$  y ortogonal a una e-circunferencia de la familia ( $C$  es, por construcción, ortogonal a  $l$ ).

Sea  $f_b$  la inversión con respecto a  $b$ . Al aplicar  $f_b$ ,  $C$  se transforma en sí misma globalmente, y el h-rayo  $O_h Q$  se transforma en el h-rayo  $O_h P$ , por lo que el h-punto  $Q$  se transforma en el h-punto  $P$  y así el h-segmento  $O_h Q$  se transforma en el h-segmento  $O_h P$ .

Tendremos entonces que  $\overline{O_h P} = r \overline{O_h Q}$  y por lo tanto que  $d_{O_h}^Q = d_{O_h}^P$ , que es lo que queríamos demostrar.

Hemos demostrado entonces no solamente que los h-círculos son e-círculos cuyo centro no coincide con el e-centro, sino también que el h-círculo de h-centro  $O_h$  y h-radio  $O_h P$ , es el e-círculo perpendicular a la h-recta  $O_h P$  en  $P$  y cuyo e-centro está sobre la h-recta e-rayo que pasa por  $O_h$ , es decir, el e-centro está sobre el e-eje radical de las h-rectas por  $O_h$ .

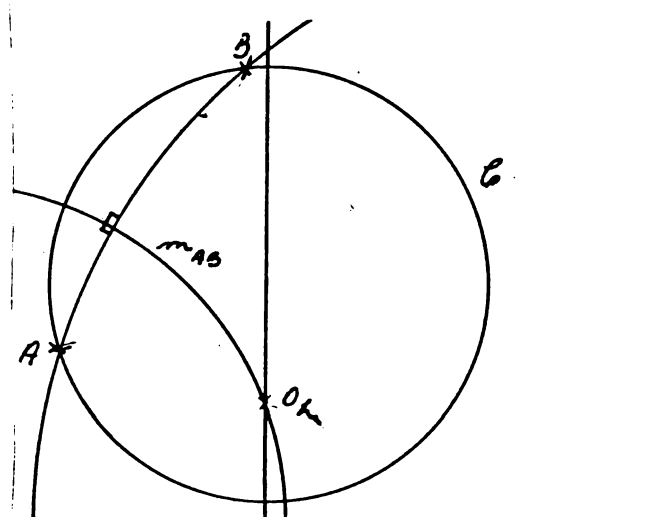
Aquí, el h-círculo de h-centro  $O_h$  y h-radio  $O_h P$ , no solamente es perpendicular a la h-recta  $O_h P$ , sino también es perpendicular a todas las h-rectas por  $O_h$ .



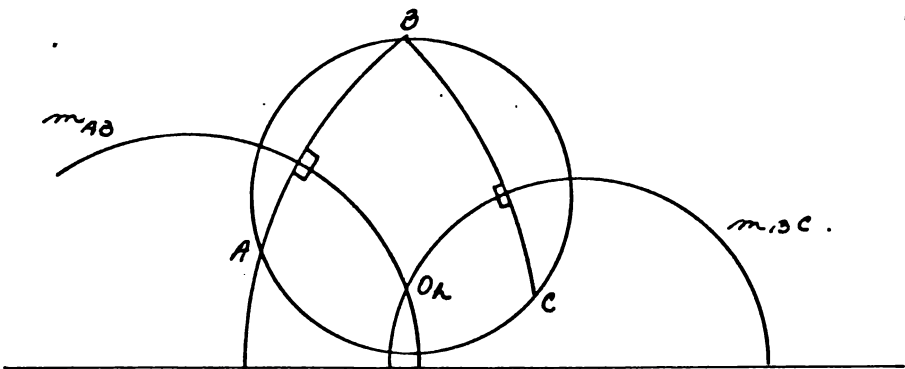
Tenemos entonces el siguiente resultado:

**Teorema II.7.** - Todo h-círculo es perpendicular a sus h-diametros.

Observemos también que si  $A$  y  $B$  son dos h-puntos sobre un h-círculo  $C$ ,  $O_h$ . El h-centro de  $C$ , es la sobre la h-mediatriz  $m_{AB}$  del h-segmento  $\overline{AB}$ , pues si  $O_h$  es el h-centro de  $C$ ,  $d_{O_h}^A = d_{O_h}^B$ .  
Nota: El h-segmento  $\overline{AB}$  no coincide con el h-arc  $AB$ .

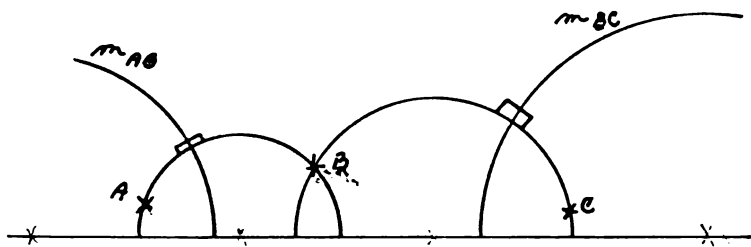


Así, si tres h-puntos  $A$ ,  $B$  y  $C$  están sobre un h-círculo  $\mathcal{C}$ , y  $m_{AB}$  y  $m_{BC}$  son las h-mediatrixes de los h-segmentos  $\overline{AC}$  y  $\overline{BC}$  respectivamente, el h-centro de  $\mathcal{C}$  es el h-punto de intersección de  $m_{AB}$  y  $m_{BC}$ .



En la siguiente figura,  $A$ ,  $B$  y  $C$  son tres h-puntos tales que  $m_{AB}$  y  $m_{BC}$ , las h-mediatrixes de  $AB$  y  $BC$  respectivamente, no se intersectan, por lo que no puede existir un h-círculo por  $A$ ,  $B$  y  $C$ , y tenemos entonces el siguiente teorema:

**Teorema II.8.** - Dados tres h-puntos no colineales, no siempre existe un h-círculo que los contenga.



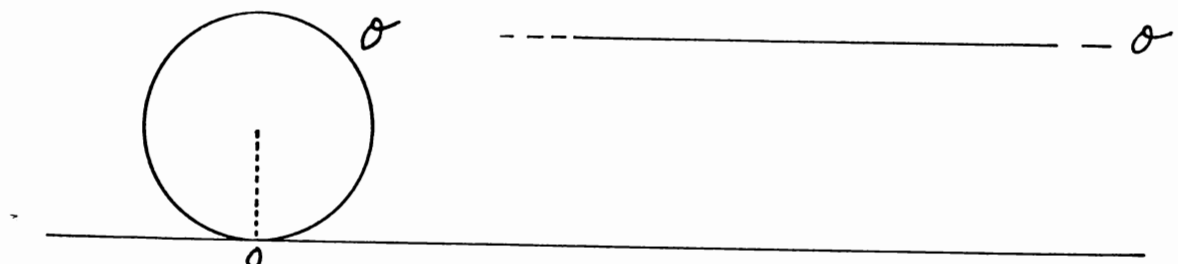
En la primera parte de este trabajo, (sección I.4), analizamos un intento de demostración del postulado de las paralelas cuyo error consistió, precisamente, en suponer la existencia del círculo que pasa por tres puntos no colineales.

Terminaremos esta sección hablando del horocírculo.

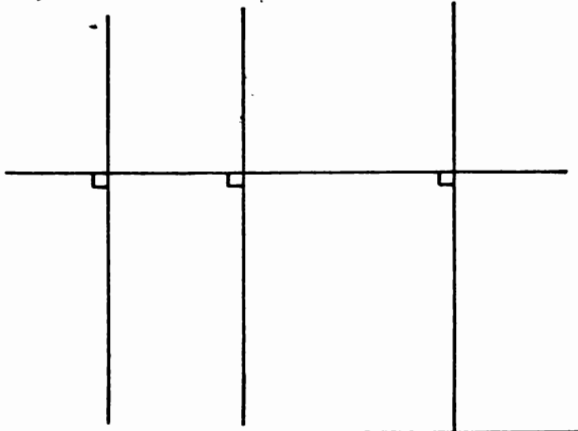
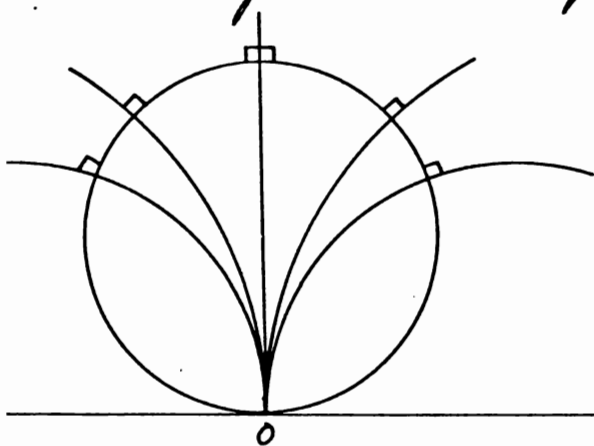
Llamaremos horocírculos a los  $\mathbb{L}$ -círculos tangentes al eje  $\mathbb{X}$  y a las  $\mathbb{L}$ -rectas paralelas al eje  $\mathbb{L}$ .

Si  $\mathcal{O}$  es un  $\mathbb{L}$ -círculo tangente al eje  $\mathbb{X}$ , diremos que el  $\mathbb{L}$ -punto  $O$  donde  $\mathcal{O}$  intersecta al eje  $\mathbb{L}$ , es el centro del horocírculo  $\mathcal{O}$ .

Si  $\mathcal{O}'$  es una  $\mathbb{L}$ -recta paralela al eje  $\mathbb{X}$ , diremos que  $I$ , el punto de la  $\mathbb{L}$ -recta al infinito en donde se intersectan todas las  $\mathbb{L}$ -rectas  $\mathbb{L}$ -rayos, es el centro del horocírculo  $\mathcal{O}'$ .



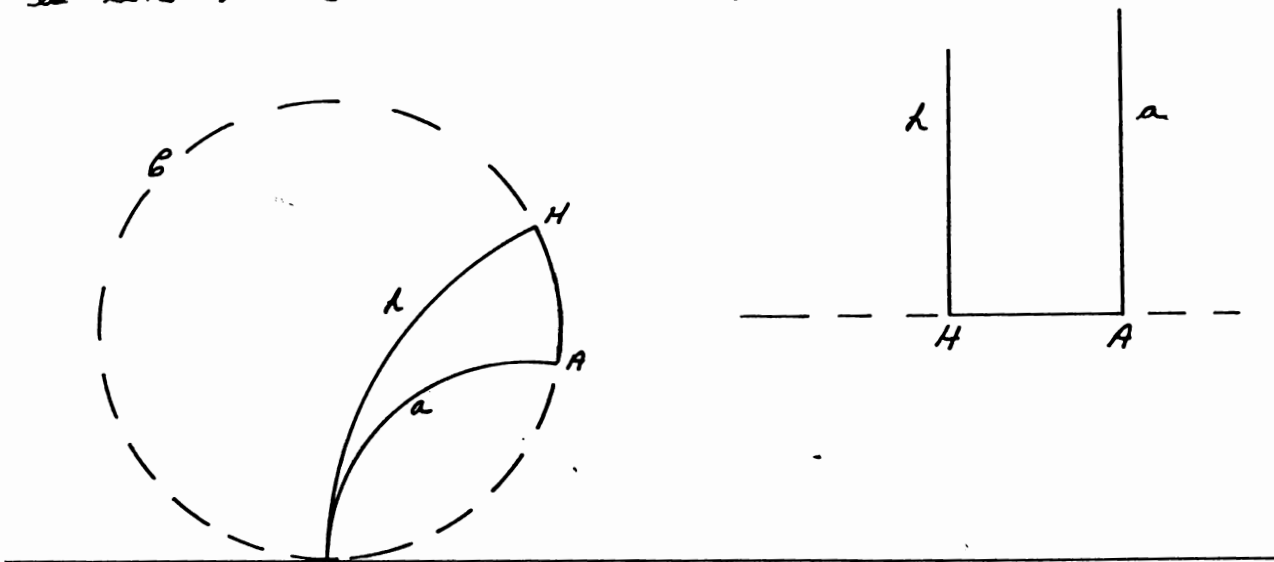
Observemos que las  $\mathbb{L}$ -rectas paralelas al eje  $\mathbb{X}$  tienen la propiedad de ser perpendiculares a todas las  $\mathbb{L}$ -rectas  $\mathbb{L}$ -rayos, y que un  $\mathbb{L}$ -círculo tangente al eje  $\mathbb{X}$  en un  $\mathbb{L}$ -punto  $O$  tiene la propiedad de ser perpendicular a todas las  $\mathbb{L}$ -rectas por  $O$ . (Para demostrar esto último, aplicamos una  $\mathbb{L}$ -inversión  $\mathcal{O}$  cuyo centro sea  $O$ . Todas las  $\mathbb{L}$ -rectas por  $O$  se transforman en  $\mathbb{L}$ -rayos perpendiculares al eje  $\mathbb{X}$ , y el  $\mathbb{L}$ -círculo por  $O$  se transforma en una  $\mathbb{L}$ -recta paralela al eje  $\mathbb{X}$ ).



Podemos considerar entonces que los horociclos son  $h$ -círculos con centro en un punto al infinito, pues los  $h$ -círculos cuyo  $h$ -centro es un  $h$ -punto  $O_x$  son aquellas figuras que tienen la propiedad de ser perpendiculares a todas las  $h$ -rectas por  $O_x$ , y los horociclos con centro en un  $h$ -punto  $O$  son aquellas figuras que tienen la propiedad de ser perpendiculares a todas las  $h$ -rectas por  $O$ .

Si  $h$  es una  $h$ -recta;  $H$  uno de sus puntos al infinito,  $b$  un horociclo con centro en  $H$ , y  $H$  el  $h$ -punto de intersección de  $h$  y  $b$ , diremos que el  $h$ -rayo  $HH$  es un  $h$ -radio del horocírculo  $b$ .

Si  $h$  y  $a$  son dos  $h$ -radios de un horocírculo  $b$  de centro  $H$ , y  $H$  y  $A$  los  $h$ -puntos de intersección de  $h$  y  $b$  y  $a$  y  $b$  respectivamente, diremos que  $HA$  es un  $h$ -arco del horocírculo  $b$ , y que  $HAM$  es un sector del horocírculo  $b$ .



### Capítulo III. h-paralelas

En este capítulo presentaremos algunos resultados sobre paralelismo.

En la primera sección (III.1. h-paralelas y paralelas frontera), mencionaremos que hay dos tipos de paralelas: las paralelas frontera, que son las que se intersectan en un punto al infinito, y las h-paralelas, que son totalmente bajas.

Demostremos que las paralelas frontera a una h-recta dada por un punto dado, tienen la propiedad de dividir al h-plano en dos regiones tales que, en una de ellas, se encuentran todas las h-paralelas a la recta por el punto dado; y en las otras se encuentran todas las h-rectas por el punto dado que no son paralelas a la recta dada.

En la sección III.2 (Perpendicular común), demostraremos que las paralelas frontera no tienen una perpendicular común, y que las h-paralelas sí tienen perpendicular común y ésta es única. Indicaremos además como trazar dicha perpendicular.

Finalmente, en la sección III.3, demostraremos que las paralelas no son equidistantes, y aplicaremos tanto en el caso de las h-paralelas como en el de las paralelas frontera, cómo es la distancia entre paralelas.

Para una demostración general de los resultados de paralelismo, al los que faremos referencia, servirá por ejemplo, la I

### III. 1. hí - paralelas y paralelas frontera.

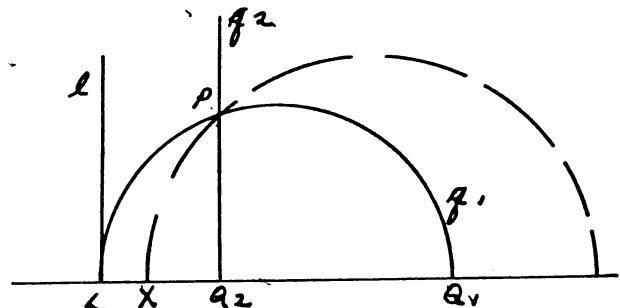
Daremos que dos h.-rectas son paralelas si y sólo si no tienen un h.-punto en común.

Teorema III.1. - Dada una h.-recta  $l$  y un h.-punto  $P$  fuera de ella, existen una infinitud de h.-rectas paralelas a  $l$  que pasan por  $P$ .

Consideremos primero el caso en el que la h.-recta dada es un e-rayo.

Sea  $l$  un e-rayo de pie  $l$  y sea  $M$  el otro punto al infinito de  $l$  (el que está sobre la h.-recta al infinito).

Sea  $P$  un h.-punto, que no está en  $l$ .



Sea  $g_1$  la h.-recta e-semicircunferencia que pasa por  $l$  y por  $P$ , y sea  $Q_1$  el otro punto al infinito de  $g_1$ .

$g_1$  es una h.-recta pa-

ralela a  $l$  por  $P$ , pues el e-punto  $l$  no pertenece al h-plant.

Sea  $g_2$  la h.-recta que pasa por  $M$  y por  $P$ ; es decir, sea  $g_2$  la h.-recta e-rayo que pasa por  $P$ .

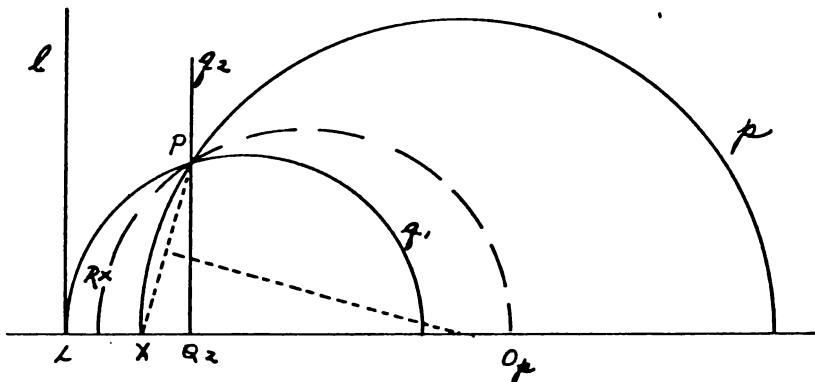
Sea  $Q_2$  el pie de  $g_2$ .  $g_2$  también es una paralela a  $l$  por  $P$ .

Demostremos que para todo e-punto  $X$  en el segmento  $lQ_2$ , la h.-recta por  $X$  y por  $P$  es una h.-recta paralela a  $l$  por  $P$ , y con esto quedará demostrado que existen una infinitud de paralelas a  $l$  por  $P$ .

Sea  $X$  un e-punto del e-segmento  $LQ_2$ ; sea  $m$  la e-mediatrix del e-segmento  $XP$ , y sea  $O_p$  el e-punto de intersección de  $m$  y el eje  $x$ .

Es posible demostrar, utilizando que el eángulo  $PXQ_2$  es obtuso (pues el díngulo  $PXQ_2$  es agudo, por ser eángulo interior de un e-triangulo rectangular), que el e-punto  $O_p$  está situado fuera de  $LX$ .

Sea  $p$  la e-semicircunferencia de e-centro  $O_p$  y e-radio  $O_p X$

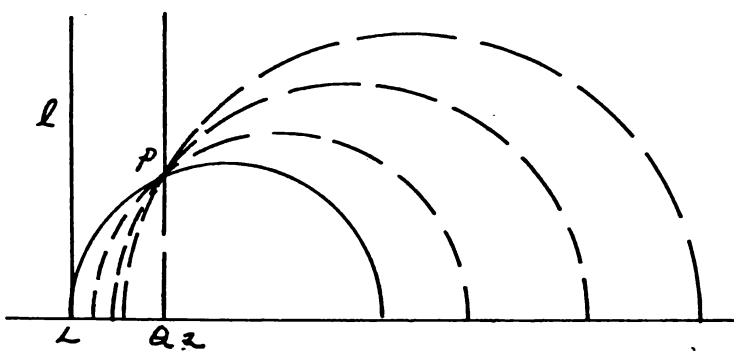


$p$  es una h-recta por  $P$ , y como  $O_p$  no está en  $LX$  y  $L$  no está en  $O_p X$ , la e-longitud del e-segmento  $O_p X$  es menor que la del e-segmento  $O_p L$ , por lo que  $p$  no intersecta a  $L$  y así es una paralela a  $l$  por  $P$ .

Hemos demostrado entonces que toda h-recta por  $P$  tal que uno de sus puntos al infinito está sobre el e-segmento  $LQ_2$ , es una paralela a  $l$  por  $P$ .

Observemos que, dado un h-punto  $R$  en el interior del hángulo  $LQ_2$ , un punto al infinito de la h-recta  $PR$  está en el interior del e-segmento  $LQ_2$ .

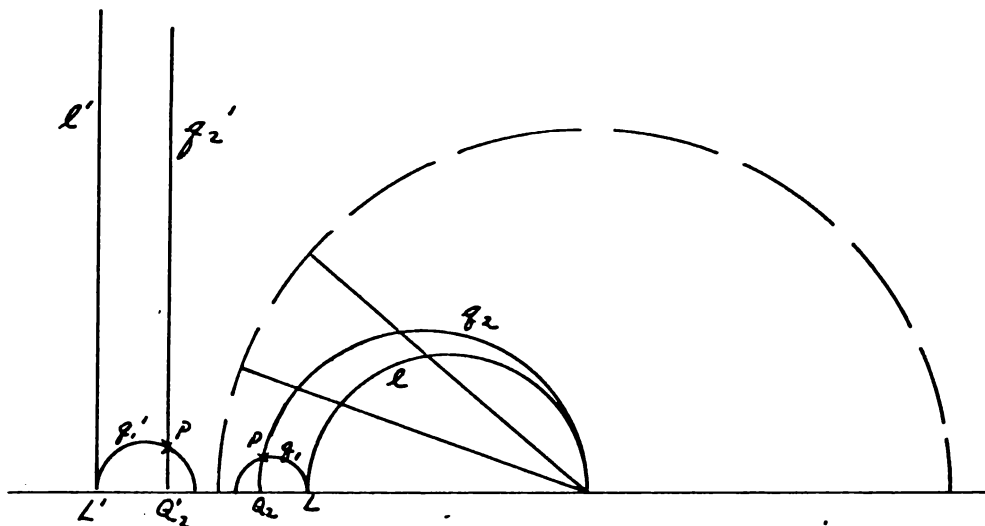
Así, toda h-recta por  $P$  que tiene un h-punto en el interior del hángulo  $LQ_2$ , es paralela a  $l$  por  $P$ , y entonces toda h-recta en el interior del hángulo  $LQ_2$  y su opuesto por el vértice es paralela a  $l$  por  $P$ .



Ahora veamos qué sucede cuando la  $\mathbb{H}$ -recta dada es una  $\mathbb{L}$ -semicircunferencia

Sea  $\mathbb{L}$  una  $\mathbb{L}$ -recta  $\mathbb{L}$ -semicircunferencia y sean  $L$  y  $M$  sus puntos al infinito. Sea  $P$  un  $\mathbb{H}$ -punto que no está en  $\mathbb{L}$ . Supondremos, sin pérdida de generalidad, que  $P$  no está en el interior de  $\mathbb{L}$ .

Sea  $g_1$  la  $\mathbb{H}$ -recta que pasa por  $L$  y por  $P$ . Sea  $g_2$  la  $\mathbb{H}$ -recta que pasa por  $M$  y por  $P$ , y sea  $Q_2$  el otro punto del infinito de  $g_2$ .



Ahora invertimos con respecto a una  $\mathbb{H}$ -recta  $l$  con centro en  $M$ :

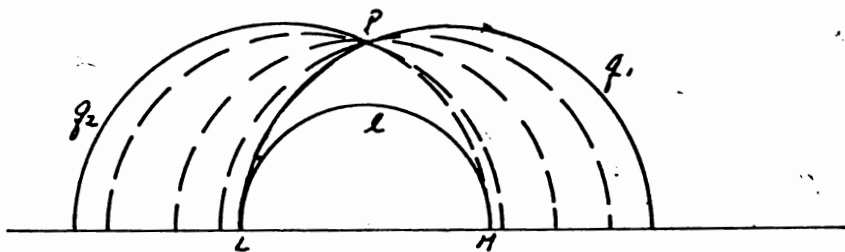
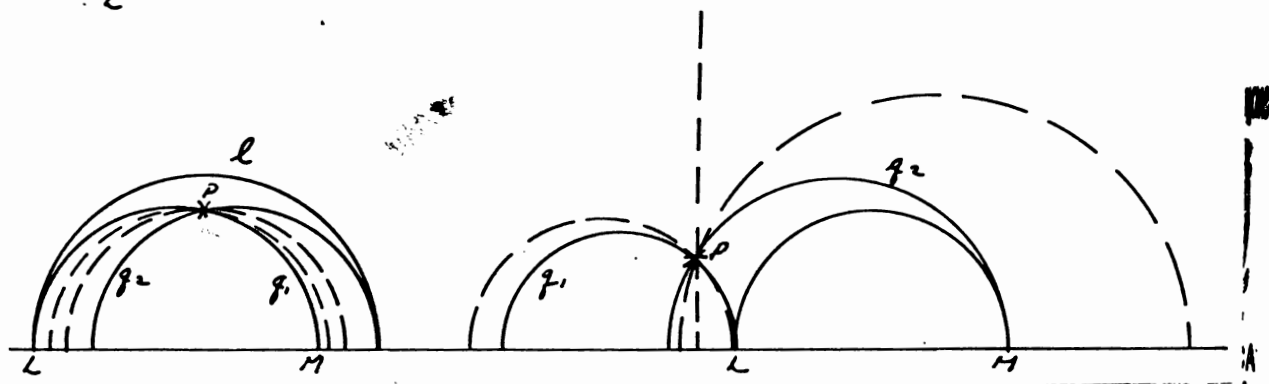
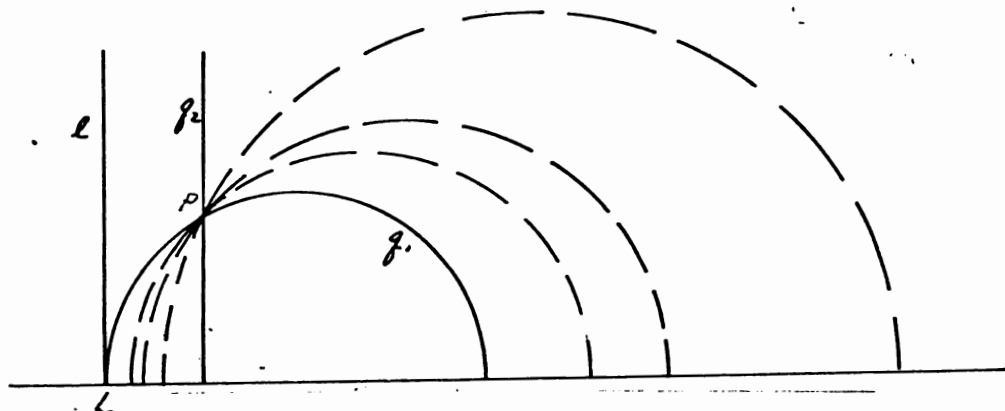
El  $\mathbb{H}$ -punto  $P$  se transforma en un  $\mathbb{H}$ -punto  $P'$ , y la  $\mathbb{H}$ -recta  $l$ , que es una  $\mathbb{L}$ -semicircunferencia que pasa por  $M$  (el centro de inversión), se transforma en un  $\mathbb{L}$ -rayo  $g_1$  que no pasa por  $P'$  y cuyo pie,  $L'$ , es el inverso de  $L$ . ( $l'$  está a la izquierda o a la derecha de  $P'$  dependiendo de si  $P$  está en el interior o en el exterior de  $l$ ).

La  $\mathbb{H}$ -recta  $g_2$ , que es una  $\mathbb{L}$ -semicircunferencia por el centro de inversión, y que pasa por  $P$ , se transforma en la  $\mathbb{H}$ -recta  $l$ -rayo  $g_2$  que pasa por  $P'$ , y cuyo pie,  $Q_2'$ , es el inverso de  $Q_2$ .

La  $\mathbb{H}$ -recta  $g_1$ , que pasa por  $L$  y por  $P$ , se transforma en la  $\mathbb{H}$ -recta  $g_1'$  que pasa por  $L'$  y por  $P'$ .

Como acabamos de demostrar, toda  $\mathbb{H}$ -recta por  $P'$  en el interior del  $\mathbb{L}$ -ángulo  $L'P'Q_2'$  y su opuesto por el vértice, es paralela a  $l'$ , y como la inversión preserva la incidencia, esto significa que en la figura original, toda  $\mathbb{H}$ -recta por  $P$  en el interior del  $\mathbb{L}$ -ángulo  $LPQ_2$  y su opuesto por el vértice es paralela a  $l$  por  $P$ , por lo que tenemos una similitud de involución  $\mathcal{I}$  en  $\mathbb{D}$ .

Tenemos entonces que dada una h-recta  $l$  de puntos al infinito  $L$  y  $H$ , y un h-punto  $P$  fuera de  $l$ ,  $g_1$  y  $g_2$ , las h-rectas que pasan por  $P$  y por  $g_1$  y por  $g_2$  respectivamente, son todas paralelas a  $l$  por  $P$  tales que todas las h-rectas por  $P$  en el interior de uno de los dos parás de h-ángulos opuestos por el vértice determinados por  $g_1$  y  $g_2$ , son paralelas a  $l$  por  $P$ .



A continuación demostraremos que todas las h-rectas por  $P$  en el interior del otro par de h-ángulos opuestos por el vértice determinados por  $g_1$  y  $g_2$ , intersectan a  $l$  y, por lo tanto, no son paralelas a ella.

Consideraremos únicamente el caso en el que la l.-recta  $l$  es un l.-rayo, pues al igual que en la demostración del teorema anterior, si  $l$  es una l.-semicircunferencia, podemos aplicar una transformación que la transforme en l.-rayo.

Lo que faremos será demostrar que para todo l.-punto  $Y$  sobre el l.-segmento  $Q_1 Q_2$  (ver figura a)) la l.-recta que pasa por  $Y$  y  $P$  intersecta a  $l$ .

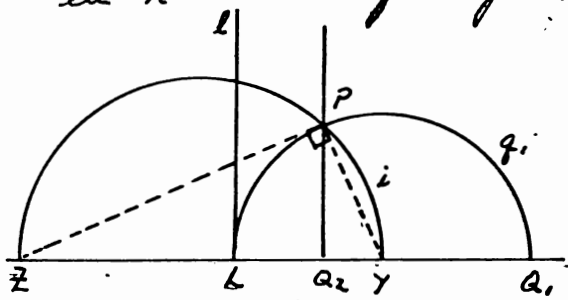


fig. a)

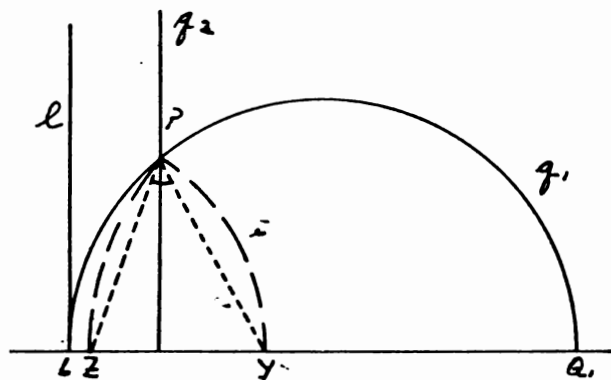
Sea  $Y$  un l.-punto del l.-segmento  $Q_1 Q_2$ .

Sea  $i$  la l.-recta que pasa por  $Y$  y por  $P$  y sea  $Z$  el otro punto al infinito de  $i$ . Demostraremos que  $ZY$  contiene a  $l$  y así,  $i$  tiene que intersectar a  $l$ .

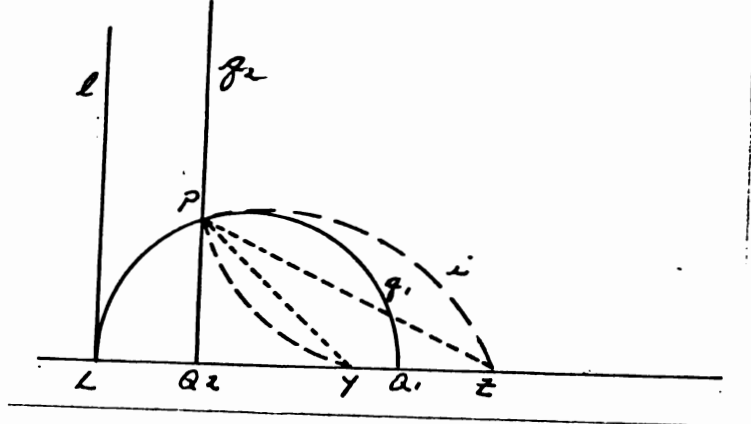
El l.-ángulo  $YPZ$  es recto por estar inscrito en la l.-semicircunferencia  $i$ .

Si  $Z$  coincide con  $l$  o  $i$  está fuera de  $ZY$ ,

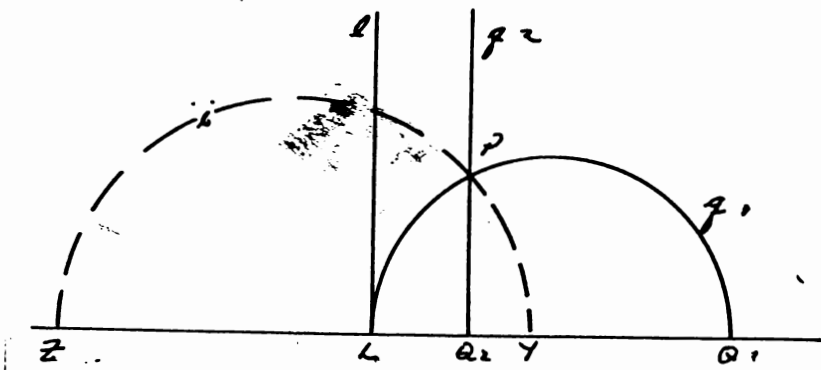
el l.-ángulo  $YPZ$  sería agudo pues estaría contenido en el interior del l.-ángulo  $L P Q$ , que es recto por estar inscrito en la l.-semicircunferencia  $g_1$ .



Si  $z$  está a la derecha de  $l$  y a la derecha de  $y$ , el  $\ell$ -ángulo  $YQ_2$  también sería agudo (pues el  $\ell$ -ángulo  $PY_2$  del  $\ell$ -triángulo  $PY_2Z$  es obtuso por ser el complemento del  $\ell$ -ángulo  $PYQ_2$  del  $\ell$ -triángulo (rectángulo  $PYQ_2$ ).



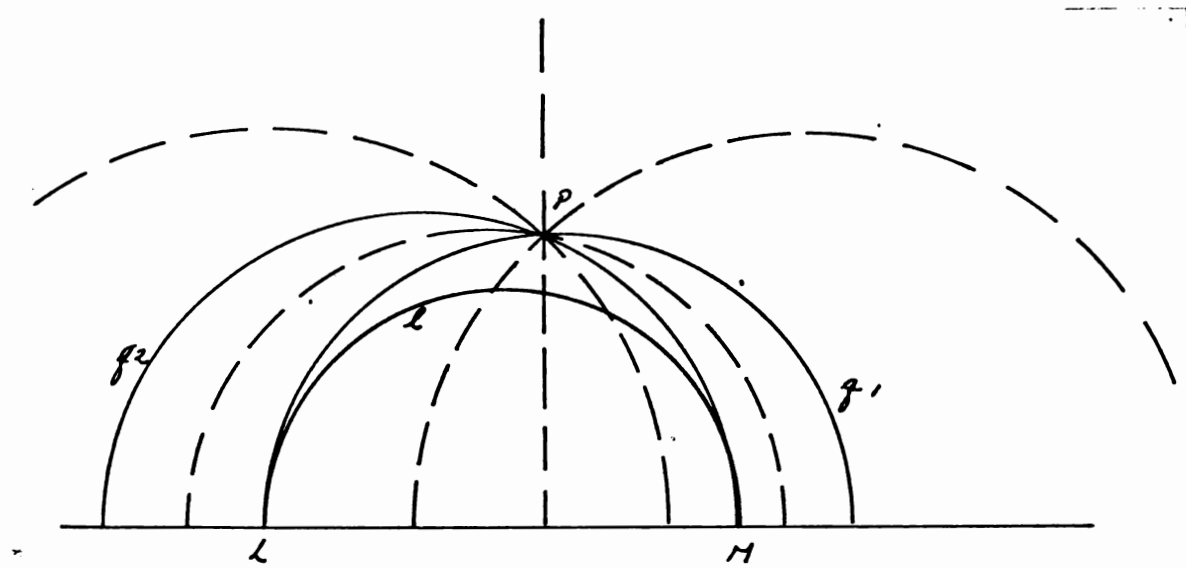
Así,  $z$  no puede coincidir con  $l$  ni estar a la derecha de  $l$ , y  $z$  está a la izquierda de  $l$ , por lo que  $z$  interseca a  $l$ .



Hemos demostrado entonces que toda  $\ell$ -recta por  $P$  en el interior del  $\ell$ -ángulo  $Q_2PQ_1$  y su opuesto por el vértice, interseca a  $l$ , y tenemos entonces el siguiente resultado:

**Teorema III.2** - Dada una  $\ell$ -recta  $l$  de puntos al infinito  $L$  y  $M$ , y un  $\ell$ -punto  $P$  fuera de ella, q., la  $\ell$ -recta paralela a  $l$  que pasa por  $L$  y  $P$ , y  $g_2$ , la  $\ell$ -recta paralela a  $l$  que pasa por  $M$  y  $P$ , son tales que todas las  $\ell$ -rectas por  $P$  en el interior de uno de los dos pares de  $\ell$ -ángulos opuestos por el vértice determinados por  $g_1$  y  $g_2$ , son también paralelas a  $l$  por  $P$ . q. Todas las  $\ell$ -rectas por  $P$  en el interior del otro par de  $\ell$ -ángulos opuestos por el vértice determinados por  $g_1$  y  $g_2$ , no son paralelas a  $l$ .

Daremos que  $g_1$  y  $g_2$  son las paralelas límite a  $\ell$  por  $p$ , o las paralelas frontera a  $\ell$  por  $p$ ; y a las demás  $\ell$ -rectas paralelas a  $\ell$  por  $p$ , las llamaremos  $\ell$ -paralelas a  $\ell$  por  $p$ .



### III. 2 Perpendicular común

En geometría euclídea, dos  $\epsilon$ -rectas paralelas tienen una infinitud de  $\epsilon$ -perpendiculares comunes. De hecho, toda  $\epsilon$ -recta perpendicular a una de las dos  $\epsilon$ -paralelas, es perpendicular a la otra.



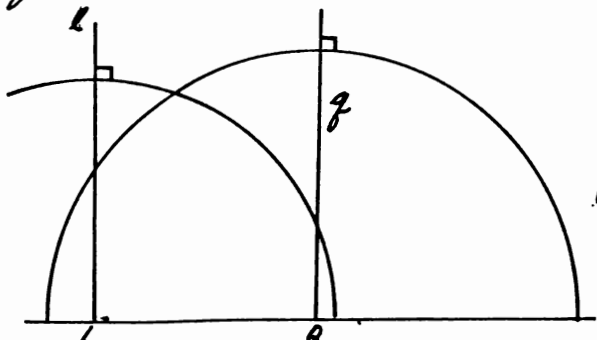
En geometría hiperbólica, dadas dos paralelas  $l$  y  $m$  y una  $\kappa$ -recta  $p$  perpendicular a  $l$ , puede suceder que  $p$  ni siquiera intersecte a  $m$ .

Vamos entonces si las paralelas tienen o no una perpendicular común.

Teorema III.3. — Si  $l$  y  $g$  son dos paralelas frontales, no existe una  $\kappa$ -recta perpendicular a ambas.

Sean  $l$  y  $g$  dos paralelas frontales.

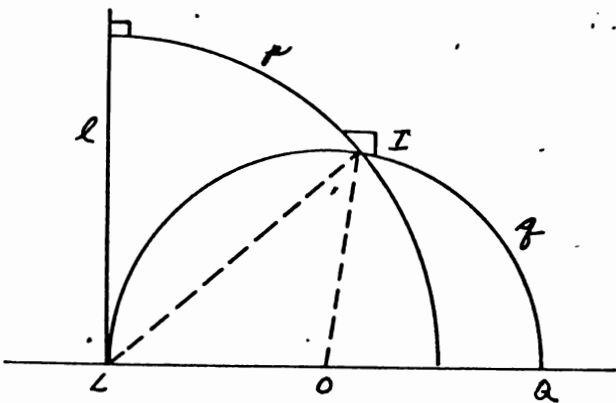
Si  $l$  y  $g$  son  $\epsilon$ -rayos de pies  $L$  y  $Q$  respectivamente, las únicas  $\kappa$ -perpendiculares a  $l$  son las  $\kappa$ -rectas semicircunferencias con centro en  $L$  (sección II.1), y las únicas  $\kappa$ -rectas paralelas a  $g$  son las  $\kappa$ -semicircunferencias con centro en  $Q$ .



Y como una  $\kappa$ -semicircunferencia no puede tener dos  $\kappa$ -centros, no puede existir una  $\kappa$ -recta perpendicular tanto a  $l$  como a  $g$ .

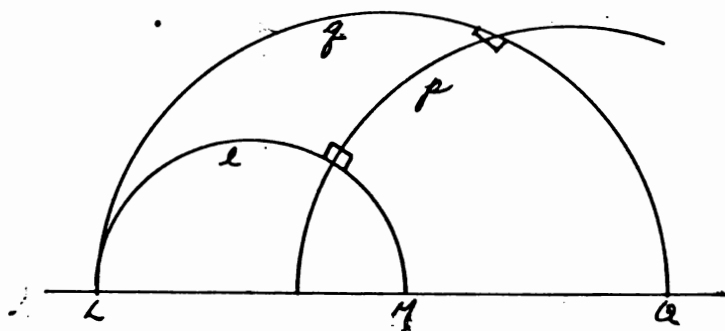
Si  $l$  es un e-rayo de pie  $l$ , y  $g$  una e-semicircunferencia de e-centro  $O$  y puntos al infinito  $L$  y  $Q$ , si existe una h-recta perpendicular a  $l$  como  $p$ .

$p$  sería, a causa de la perpendicularidad con  $l$ , una e-semicircunferencia de e-centro  $L$ , y, a causa de la perpendicularidad con  $g$ , el eángulo  $OIL$ , donde  $I$  es la intersección de  $p$  y  $g$ , sería recto.



Pero el eángulo  $OIL$  no puede ser recto porque  $O$  está en el interior del eángulo  $QIL$ , que es recto, y así, no existe una h-recta perpendicular a  $l$  y a  $g$ .

Si  $l$  es una e-semicircunferencia de puntos al infinito  $L$  y  $M$ , y  $g$  es una e-semicircunferencia de puntos al infinito  $L$  y  $Q$ , para demostrar que no existe una h-recta perpendicular a ambas, basta observar que si existiera una h-recta  $p$  con estas características, la invención con respecto a  $p$  transformaría a  $l$  en sí misma globalmente, y por lo tanto, al punto  $L$  en el e-punto  $M$ , y como también transformaría a  $g$  en sí misma globalmente, transformaría a  $Q$  en  $L$ , pero un punto no puede tener dos invenciones, y así, no existe una h-recta perpendicular a  $l$  y a  $g$ .

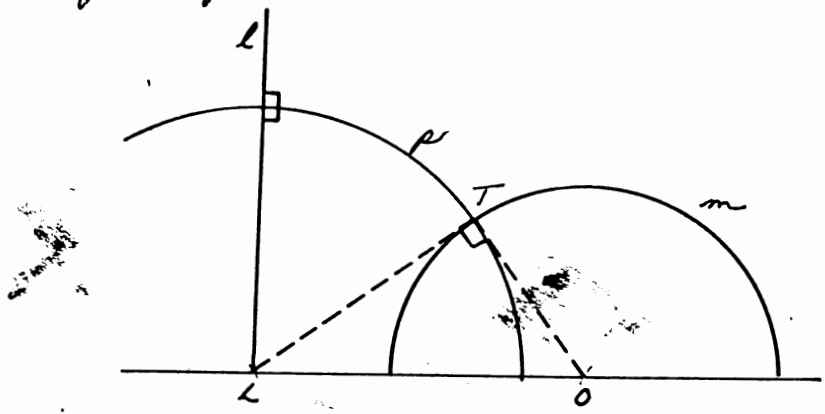


Una vez demostrado que las paralelas frontales no tienen perpendicular común, demostraremos lo siguiente:

Teorema III.4.- Si  $l$  y  $m$  son dos  $\ell$ -paralelas,  $l$  y  $m$  si tienen una perpendicular común.

Consideraremos únicamente el caso en que una de las  $\ell$ -rectas es  $\ell$ -rayo y la otra  $\ell$ -semicircunferencia. Pues, en cada caso que ambas son  $\ell$ -semicircunferencias, podemos aplicar una unión que transforme a una de ellas en  $\ell$ -rayo.

Sea  $l$  una  $\ell$ -recta  $\ell$ -rayo de pie  $L$  y sea  $m$  una  $\ell$ -recta  $\ell$ -semicircunferencia de centro  $O$  y  $\ell$ -paralela a  $l$ .



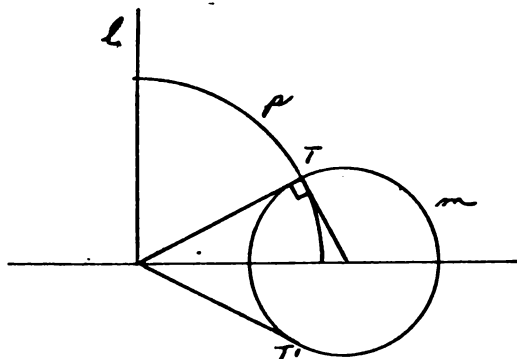
Sea  $T$  el  $\ell$ -punto donde la  $\ell$ -tangente a  $m$  de  $l$  intersecta a  $m$ , y sea  $p$  la  $\ell$ -semicircunferencia de  $\ell$ -centro  $L$  y  $\ell$ -radio  $LT$ .

Como  $p$  tiene centro en  $L$ ,  $p$  es perpendicular a  $l$ ; y como el ángulo  $lTb$  es recto (pues  $lT$  es la tangente a  $m$  en  $T$ ),  $p$  es perpendicular a  $m$ .

Así,  $p$  es una  $\ell$ -recta perpendicular tanto a  $l$  como a  $m$ .

Además,  $p$  es la única  $\ell$ -recta perpendicular tanto a  $l$  como a  $m$ , pues de todas las  $\ell$ -semicircunferencias con centro en  $l$ , la única que tiene la propiedad de ser perpendicular a  $m$ , es la  $\ell$ -semicircunferencia  $p$  tal que el  $\ell$ -ángulo  $lTm$  es recto, donde  $T$  es la intersección de  $p$  y  $m$ .

Y para que este  $\ell$ -ángulo sea recto, es necesario que  $lT$  sea la  $\ell$ -tangente a  $m$  desde  $l$ , que es única. De hecho, hay dos  $\ell$ -tangentes desde  $l$  al  $\ell$ -círculo  $m$ , pero la otra es lo intersecta en un  $\ell$ -punto  $T'$  que no pertenece al  $\ell$ -plan.



Y para que este  $\ell$ -ángulo sea recto, es necesario que  $lT$  sea la  $\ell$ -tangente a  $m$  desde  $l$ , que es única. De hecho, hay dos  $\ell$ -tangentes desde  $l$  al  $\ell$ -círculo  $m$ , pero la otra es lo intersecta en un  $\ell$ -punto  $T'$  que no pertenece al  $\ell$ -plan.

Tenemos entonces el siguiente resultado:

**Teorema III.5.** - Si  $l$  y  $m$  son dos  $\ell$ -paralelas, tienen una única  $\ell$ -perpendicular común.

Podremos resumir los resultados de esta sección diciendo que: dos  $\ell$ -rectas paralelas tienen, a lo más, una  $\ell$ -perpendicular común. Si las  $\ell$ -rectas son  $\ell$ -paralelas, si tienen tal perpendicular; si son paralelas frontera, no las tienen.

Antes de seguir adelante, veremos cómo trazar la perpendicular común de dos l.-paralelas e-semicircunferencias.

Sean  $l$  y  $m$  dos l.-paralelas e-semicircunferencias.

Trazar una e-circunferencia  $b$  que intersecte, en dos puntos, tanto a  $l$  como a  $m$ .

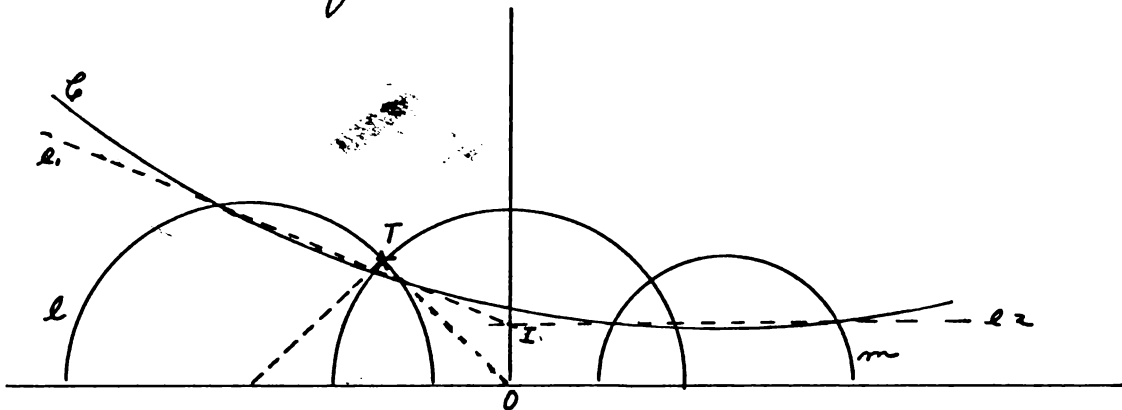
Trazar la l-recta  $e_1$ , que pasa por los dos puntos donde  $b$  intersecta a  $l$ .

Trazar la l-recta  $e_2$ , que pasa por los dos puntos donde  $b$  intersecta a  $m$ .

Llamar  $I$  al punto de intersección de  $e_1$  y  $e_2$ .

Trazar la l-recta  $o_1$  perpendicular al eje  $x$  y llamar  $O$  a la intersección de esta l-recta con el eje  $x$ .

Trazar la l-tangente a  $l$  desde  $O$  y llamar  $T$  al punto de tangencia.



La l-recta de e-centro  $O$  y e-radio  $OT$ , resulta ser una l-recta perpendicular a  $l$ , y, por tener centro en el eje radical de  $l$  y  $m$  (ver E73), es también perpendicular a  $m$ .

### III.3 Distancia entre paralelas.

En la sección II.3 definimos la distancia de un h-punto  $P$  a una h-recta  $l$  como la h-longitud del h-segmento  $PP'$ , donde  $P'$  era el pie de la h-perpendicular a  $l$  desde  $P$ .

A continuación demostraremos que si  $l$  es una h-recta y  $m$  es una h-recta paralela a  $l$ , los h-puntos de  $m$  no h-equilibran de  $l$ .

#### III.3.1 Distancia entre h-paralelas.

**Teorema III.6.** - Si  $l$  y  $m$  son dos h-paralelas,  $p$  su perpendicular común y  $P_m$  la intersección de  $p$  y  $m$ , para todo h-punto  $Q_m$  en  $m$  distinto de  $P_m$ , la h-distancia de  $Q_m$  a  $l$  es mayor que la de  $P_m$  a  $l$ .

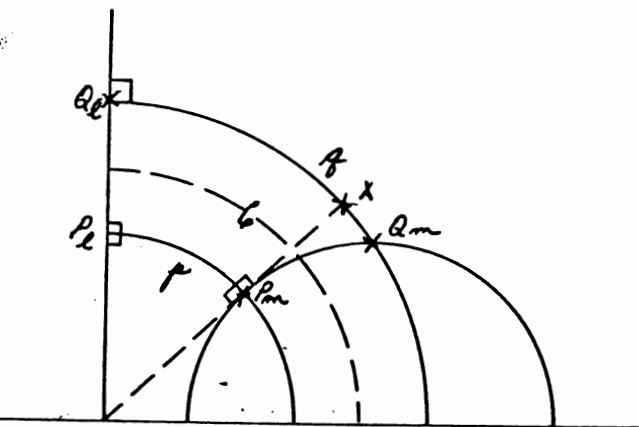
Sean  $l$  y  $m$  dos h-paralelas. Supondremos que  $l$  es un h-rayo. Sea  $p$  la perpendicular común de  $l$  y  $m$ .  
y sean  $P_e$  y  $P_m$   
los puntos de  
intersección de  $p$   
y  $l$  y  $p$  y  $m$ .  
Sea  $Q_m$  un punto  
en  $m$  distinto de  
 $P_m$ .

Sea  $b$  la h-recta  
tal que al in-  
vertir con respecto  
a ella,  $p$  se tra-  
forma en  $g$ .  $b$

Es una e-semicircunferencia con centro en  $l$  (sección II).  
Sea  $f_b$  la inversión con respecto a  $b$ . Al aplicar  $f_b$ ,  
 $P_e$  se transforma en  $Q_e$  y  $P_m$  en el h-punto  $X$  donde la  
e-recta  $p$  pasa por  $l$  y  $P_m$  intersecta a  $g$ .

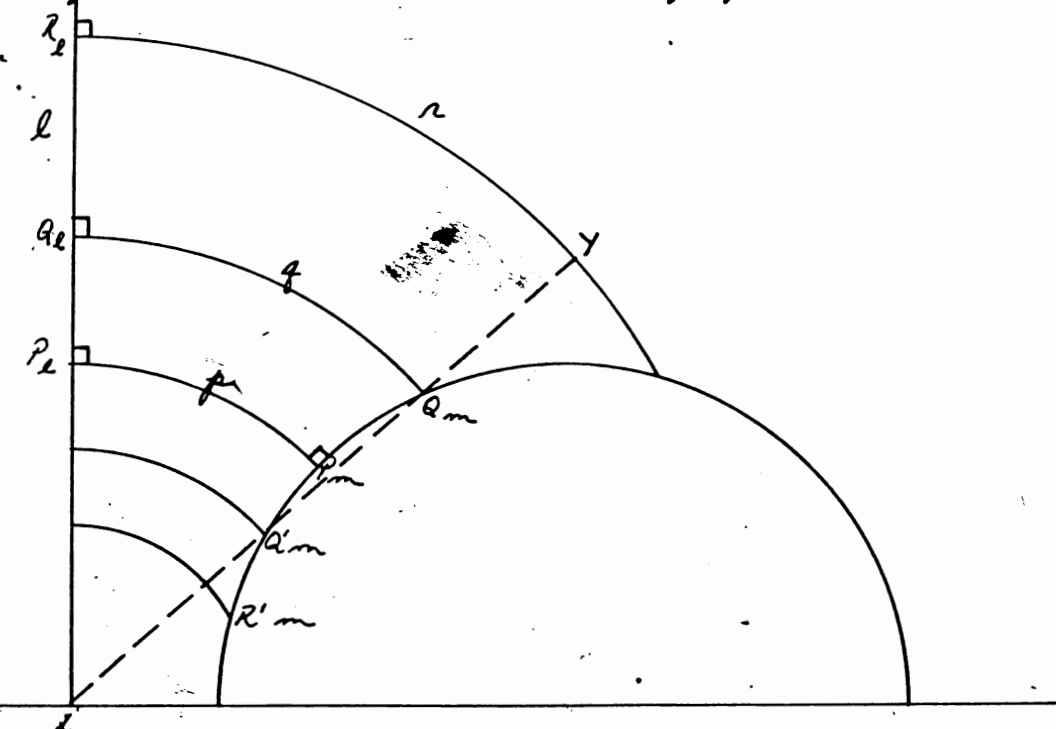
Tenemos entonces un h-punto  $X$  en  $m$  tal que  $d_{Q_e}^X = d_{P_e}^{P_m}$   
Como  $p$  es h-perpendicular a  $m$ , la e-recta  $lP_m$  es  
tangente a  $m$  y así, el h-punto  $X$  no puede estar sobre  
 $m$ , por lo que  $X$  es distinto de  $Q_m$  y entonces  
 $d_{Q_e}^X \neq d_{Q_m}^X$ , de donde  $d_{Q_e}^{P_m} \neq d_{Q_m}^{P_m}$ .

Además, debido también a que la e-recta  $lP_m$  es e-tangente  
a  $m$ , el h-punto  $X$  no puede estar dentro de la e-semicí-  
cunferencia  $m$ , por lo que la h-longitud de  $Q_m Q_e$  no  
solo es distinta que la de  $XQ_e$ , sino que es mayor, y



Observemos que, si tomamos un  $l$ -punto  $R_m$ , en  $m$ , del mismo lado de  $P_m$  que  $Q_m$ , y más lejos de  $P_m$  que  $Q_m$ , la  $l$ -distancia de  $R_m$  a  $l$  es mayor que la de  $Q_m$  a  $l$ , ya que si trazamos la  $l$ -perpendicular a desde  $R_m$  a  $l$  y llamamos  $R_e$  al pie de esta  $l$ -perpendicular, el envejecimiento con respecto a la  $l$ -recta que transforma a  $q$  en  $r$ , transforma al  $l$ -segmento  $Q_m R_e$  en un  $l$ -segmento  $Y R_e$  menor que el  $l$ -segmento  $R_m R_e$ , por lo que tenemos entonces el siguiente resultado:

Teorema III.7 - Si  $l$  y  $m$  son dos  $X$ -paralelas y  $x$  es un  $l$ -punto en  $m$ , la  $l$ -distancia de  $x$  a  $l$  es mínima, cuando  $x$  está sobre la perpendicular común y va aumentando al medida que  $x$  se aleja de la perpendicular común.



(En realidad, sólo hemos demostrado que esto sucede para los  $l$ -puntos  $x$  que están del mismo lado de la perpendicular común; pero insistiendo con respecto a  $p$ , la perpendicular común, demostraremos que del otro lado sucede lo mismo. En la figura,  $Q_m'$ , el envejecimiento de  $Q_m$  con respecto a  $p$ , está a la misma distancia de  $l$  que  $Q_m$ ; y  $R_m'$ , el envejecimiento de  $R_m$  con respecto a  $p$ , está a la misma  $l$ -distancia de  $l$  que  $R_m$ .)

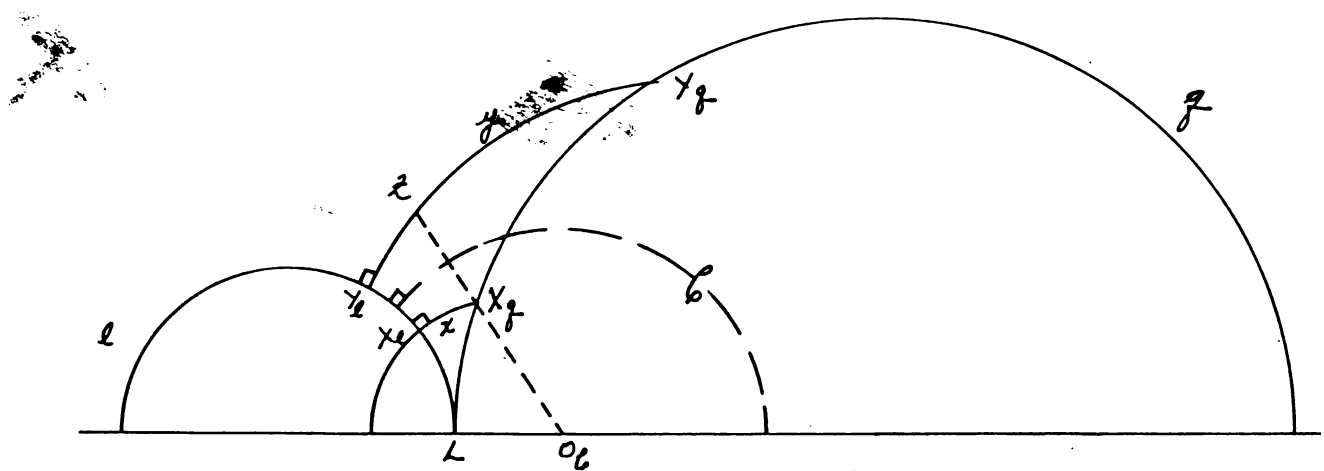
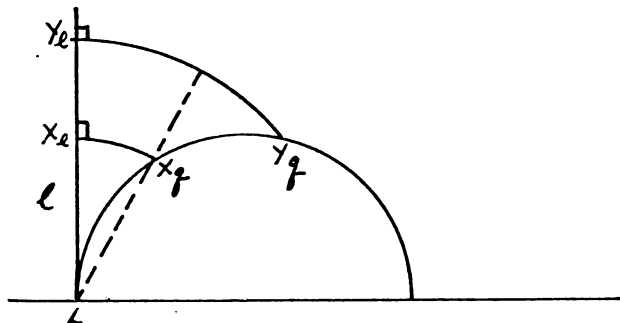
### III. 3. 3. Distancia entre paralelas frontera.

Teorema III.8. - Si  $l$  y  $g$  son dos paralelas frontera, y  $X$  y  $Y$  dos  $h$ -puntos distintos sobre  $g$ , la  $h$ -distancia de  $X$  a  $l$  es distinta de la  $h$ -distancia de  $Y$  a  $l$ .

Sean  $l$  y  $g$  dos paralelas frontera que se intersectan en un punto al infinito  $L$  sobre el eje  $x$ .

Sean  $X_g$  y  $Y_g$  dos  $h$ -puntos distintos so-

bre  $g$ ; sean  $X$  y  $Y$  las  $h$ -perpendiculares a  $l$  desde  $X_g$  y  $Y_g$  respectivamente, y sean  $X_e$  y  $Y_e$  los pies de estas  $h$ -perpendiculares.



Si  $X_g$  está entre  $l$  y  $Y_g$ , observamos, procediendo como en la demostración anterior, que la envíe en  $g$  transforma al  $h$ -segmento que transforma a  $X$  en  $Y$  en un  $h$ -segmento  $Z_g Y_g$  cuya  $h$ -longitud es menor que la del  $h$ -segmento  $Y_g Y_e$ , por lo que  $d_{X_e} < d_{Y_e}$ , y así, la  $h$ -distancia de  $X_g$  a  $l$  es menor que la de  $Y_g$  a  $l$ .

Tenemos entonces que la  $h$ -distancia entre paralelas límite crece a medida que nos alejamos del punto al infinito en donde se intersectan estas paralelas. Se llama dirección de paralelismo al la dirección en la cual la  $h$ -distancia entre paralelas límite decrece.

Capítulo 1º  
h-triángulos

Este capítulo estará dedicado al estudio de h-triángulos.

En la primera sección II.1. (suma de ángulos de un h-triángulo) demostraremos que en todos los h-triángulos la suma de ángulos interiores es estrechamente menor que  $180^\circ$ , y que la suma de ángulos interiores de los h-triángulos no es la misma para todos los h-triángulos.

En la sección II.2 (h-congruencia de h-triángulos, mencionaremos) que todos los teoremas de geometría euclídea, sobre congruencia de triángulos son válidos también en geometría hiperbólica, pero que en geometría hiperbólica tenemos también que dos h-triángulos cuyos ángulos son h-congruentes, son h-congruentes, y por lo tanto, en geometría hiperbólica no existen los triángulos semejantes propiamente dichos. Demostraremos también que todos los h-triángulos 3-asintóticos son h-congruentes.

En la sección II.3 (Teorema de Pitágoras), exhibiremos un h-triángulo rectángulo en el que el cuadrado de la hipotenusa es mayor que la suma de los cuadrados de los catetos, para demostrar que el Teorema de Pitágoras no es válido en geometría hiperbólica.

Posteriormente, en la sección II.4 (h-bisectrices, h-mediatrices y h-alturas de un h-triángulo), analizaremos si, al igual que en geometría euclídea, estas rectas concurren.

Demostraremos que las tres h-bisectrices se intersectan en un h-punto en el interior del h-triángulo, y que este h-punto resulta ser, el h-centro del círculo inscrito en el h-triángulo.

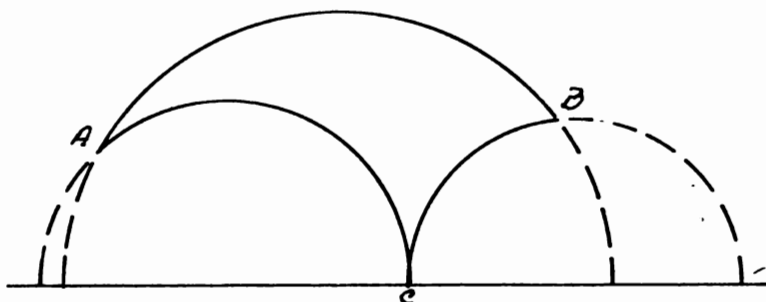
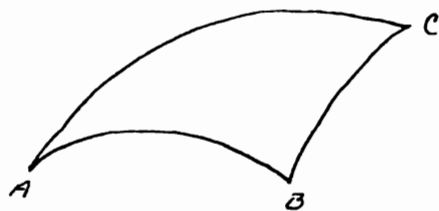
Con respecto a las h-meditrizes demostraremos que si dos h-meditrizes se intersectan en un h-punto, la tercera h-meditriz pasa también por ese h-punto; que si dos h-meditrizes de un h-triángulo son paralelas frontera la tercera

lo paralela frontera a ambas por el mismo punto al infinito, y que si dos h-meditrizes son h-paralelas, la tercera es h-paralela a ambas y además, las 3 h-meditrizes tienen una perpendicular común, y en ese sentido puede decirse que pertenecen a la misma familia de paralelas.

Cuando tablamos de  $h$ -alturas demostraremos que si dos  $h$ -alturas se intersectan en un  $h$ -punto la tercera  $h$ -altura pasa también por ese  $h$ -punto. Mencionaremos que, al igual que en el caso de las  $h$ -mediatrices, si dos  $h$ -alturas se intersectan en un punto al infinito, la tercera altura pasa también por ese punto, y que si las tres alturas son  $h$ -paralelas, existe una  $h$ -recta perpendicular a las tres.

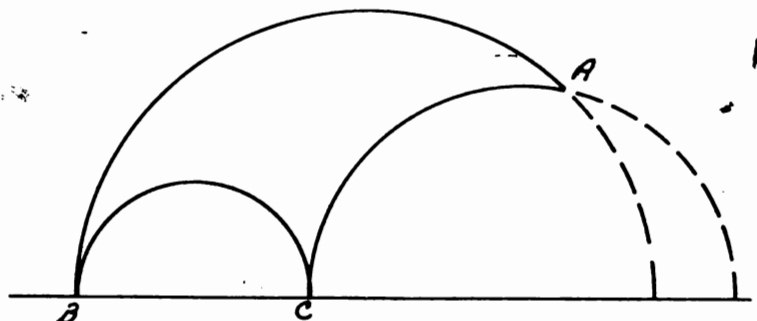
#### IV h- triángulos

Tres h-puntos  $A \circ C$  determinan un h-triángulo  $A \circ C$ . Los vértices del h-triángulo son los puntos  $A, B$  y  $C$ ; los lados del h-triángulo son los h-segmentos  $\overline{AB}, \overline{BC}$  y  $\overline{CA}$ , y los ángulos de  $A \circ C$  son los h-ángulos  $CAB, A \circ C$  y  $BAC$ .

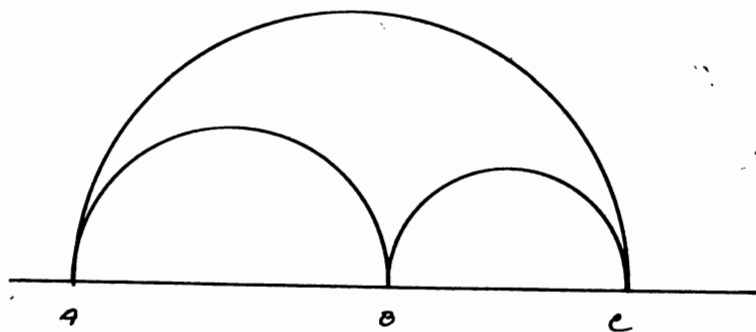


Si  $A$  y  $B$  son dos h-puntos y  $C$  un h-punto sobre el eje  $x$ , diremos que  $A \circ C$  es un h-triángulo 1-similárico cuyos lados son el h-segmento  $AB$  y los h-rayos  $AC$  y  $BC$ .

Si  $A$  es un h-punto y  $B$  y  $C$  dos h-puntos sobre el eje  $x$  diremos que  $A \circ C$  es un h-triángulo 2-similárico.



Si  $B \circ C$  son tres puntos en el eje  $x$ , diremos que  $A \circ C$  es un h-triángulo 3-similárico.



#### IV.1 Suma de ángulos de un h-tríangulo.

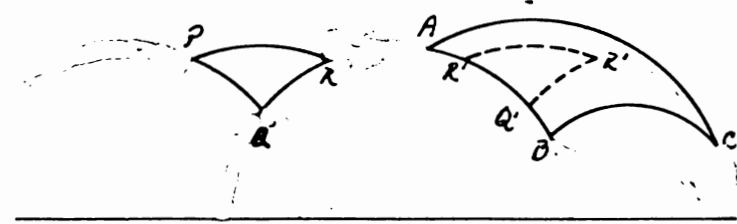
Teorema IV.1 En todo h-tríangulo la suma de ángulos interiores es menor que  $180^\circ$ .

En la sección II.3 de la primera parte de este trabajo, definimos el defecto  $\delta$  de un telángulo  $ABC$  como  $\delta = 180^\circ - (A + B + C)$ . Demostremos que  $\delta$  siempre es mayor o igual que cero y que  $\delta(ABC)$  es igual a la suma de los defectos de los subtriángulos del triángulo  $ABC$ . Para demostrar esto, utilizamos resultados que no dependen del postulado de las paralelas, por lo que podemos aplicar ese resultado también a los h-tríangulos.

Así, para demostrar que todo h-tríangulo tiene suma de ángulos menor que  $180^\circ$ , es decir, para demostrar que todo h-tríangulo tiene defecto positivo, basta demostrar que todo h-tríangulo contiene un h-subtriángulo con defecto positivo.

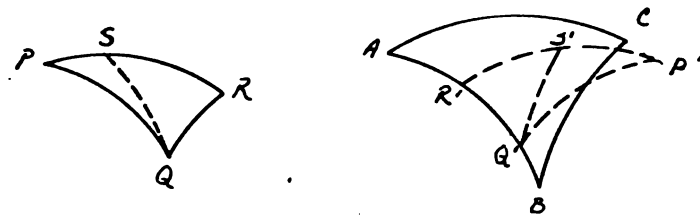
Sea  $AOC$  un h-tríangulo arbitrario y sea  $PQR$  un h-tríangulo con defecto positivo (los h-tríangulos con defecto nulo están, establemos uno en la sección II.2.2 de la primera parte).

Si al aplicarle a  $PQR$  una h-isometría que mande al lado  $PQ$  sobre el lado  $AO$ , se observa,  $P'Q'R'$  es un h-subtriángulo de  $AOC$ , tenemos que  $AOC$  tiene defecto positivo pues contiene un h-subtriángulo  $(P'Q'R')$  con defecto positivo.



Si  $P'Q'R'$  no está en el interior de  $ABC$ , diremos a  $PQR$  en dos subtriángulos  $SPQ$  y  $SQR$ . Al menos uno de ellos, digamos  $SQR$ , tiene defecto positivo.

Si  $S'Q'R'$ , la imagen de  $SQR$ , está en el interior de  $ABC$ ,  $ABC$  tiene un  $\lambda$ -subtriángulo con defecto positivo y por lo tanto tiene defecto positivo.

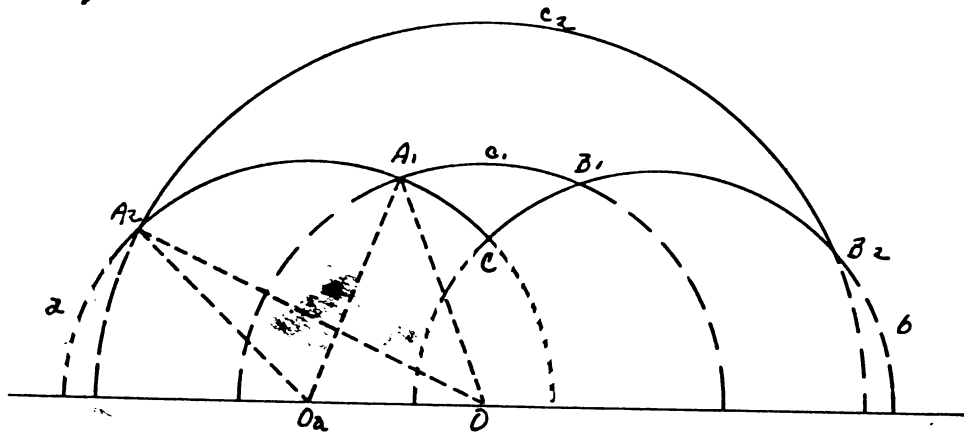


Si  $S'Q'R'$  no está en el interior de  $ABC$ , repetimos el proceso tantas veces como sea necesario hasta obtener un  $\lambda$ -triángulo  $T$   $\lambda$ -subtriángulo de  $PQR$  y tal que su imagen,  $T'$ , sea  $\lambda$ -subtriángulo de  $ABC$ .

Teorema IV.2. - No todos los h-triángulos tienen la misma suma de ángulos.

Sean  $a$  y  $b$  dos h-rectas e-semicircunferencias que se intersectan en un h-punto  $c$  y cuyo h-radio es el mismo. sea  $O$  el pie de la e-perpendicular al eje  $x$  desde  $C$  y sea  $c$ , una h-recta con centro en  $O$  y cuyo h-radio es el mismo que el de  $a$  y  $b$ . Sean  $A_1$  y  $B_1$ , los h-puntos donde  $c$  intersecta a  $a$  y a  $b$  respectivamente.

Sea  $c_2$  una h-recta con centro en  $O$  y cuyo h-radio es mayor que el h-radio de  $c_1$ , y sean  $A_2$  y  $B_2$  los h-puntos donde  $c_2$  intersecta a  $a$  y a  $b$  respectivamente.



Es posible demostrar que el e-ángulo  $OA_2O_a$ , donde  $O_a$  es el centro de  $a$ , es mayor que el h-ángulo  $OA_2O_a$  y, por lo tanto, el h-ángulo  $O,A,C$  es mayor que el h-ángulo  $O_2A_2C$ . Análogamente, el h-ángulo  $A,B,C$  es mayor que el h-ángulo  $A_2B_2C$  y así, la suma de los ángulos interiores del h-triángulo  $A,B,C$  es mayor que la de los ángulos interiores del h-triángulo  $A_2B_2C$ .

En general, es posible demostrar que a medida que crecen los lados de un h-triángulo, disminuye la suma de sus ángulos.

## IV.2 h-congruencia de h-triángulos

De acuerdo con nuestra definición de h-congruencia, dos h-triángulos son h-congruentes si y sólo si existe una h-isometría que transforma a uno en otro.

Los siguientes teoremas de geometría euclídea sobre congruencia de triángulos son independientes del postulado de las paralelas (ver C.8) y por lo tanto válidos en geometría hiperbólica!

Si dos triángulos son congruentes, tienen sus ángulos respectivamente congruentes.

Si dos triángulos tienen dos lados y el ángulo formado por ellos respectivamente congruentes, son congruentes.

Si dos triángulos tienen dos ángulos y el lado adyacente a ellos respectivamente congruentes, son congruentes.

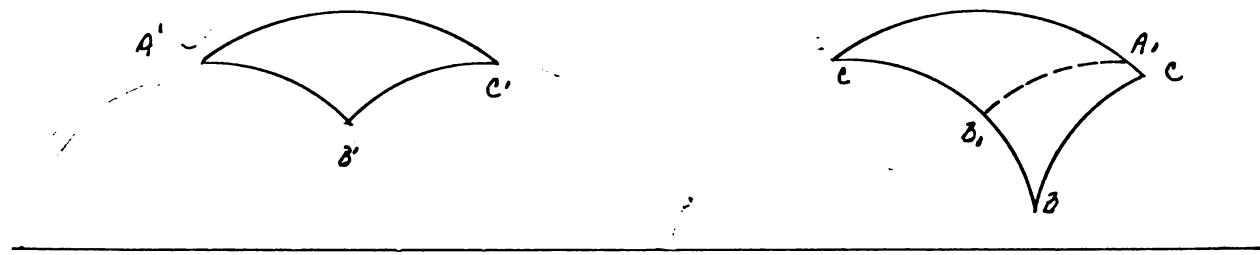
Pero en geometría hiperbólica tenemos también el siguiente resultado:

Teorema IV.3. - Si dos h-triángulos tienen sus ángulos respectivamente h-congruentes, son h-congruentes.

Para demostrar este teorema, tomaremos dos h-triángulos  $AOC$  y  $A'OC'$  tales que  $\angle AOC = \angle A'O'C$ ;  $\angle OCA = \angle O'C'A'$  y  $\angle CAO = \angle C'A'O$ , y supondremos que un par de lados correspondientes, digamos  $AB$  y  $A'B'$ , no son h-congruentes, con lo que llegaremos a una contradicción.

Supondremos, sin pérdida de generalidad, que el lado  $AB$  es mayor que el lado  $A'B'$ . Entonces el lado  $AC$  es mayor que el lado  $A'C'$  (esta es un resultado de geometría euclídea que no depende del postulado de las paralelas) (ver [8]).

Existen por lo tanto un h-punto  $B$ , en el interior del h-segmento  $AB$  y un h-punto  $C$ , en exterior del h-segmento  $AC$  tales que el h-triángulo  $ABC$ , sea h-congruente con el h-triángulo  $A'B'C'$ .



Como los ángulos de  $AOC$  son h-congruentes con los de  $A'O'C'$ ,  $\delta(AOC) = \delta(A'O'C')$ . Y como  $A'B'C' \cong A, O, C$ ,  $\delta(A'B'C') = \delta(A, O, C)$ .

Así,  $\delta(AOC) = \delta(A, O, C)$  es decir, el h-triángulo  $ABC$  y su h-subtriángulo  $A, O, C$  tienen el mismo defecto  $\delta$ .

Por esto es imposible, pues al trazar la h-recta  $B, C$ , obtenemos otros dos h-subtriángulos,  $CB, \delta_1$  y  $A, B, C$  cuyos defectos son  $\delta_1$  y  $\delta_2$  respectivamente. Y como el defecto de un h-triángulo es igual a la suma de los defectos de sus h-subtriángulos, tenemos que  $\delta = \delta + \delta_1 + \delta_2$ , lo cual es imposible pues  $\delta_1$  y  $\delta_2$  son estrictamente positivos.

Cuando hablamos de los intentos de demostración del postulado de las paralelas, analizamos uno, el de Wallis, que se basa en la semejanza de triángulos semejantes. El teorema que acabamos de demostrar nos dice, que en geometría hiperbólica no existen los triángulos semejantes proporcionalmente dichos.

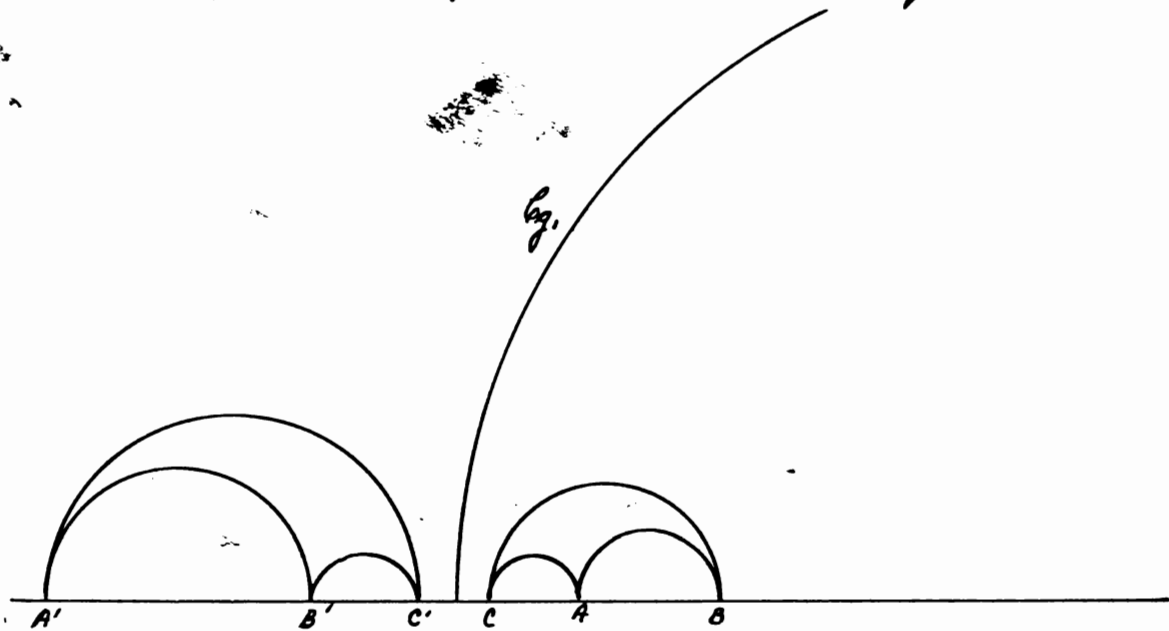
**Teorema II.4** . - Todas las h-triángulos 3-asintóticos son h-congruentes.

Sean  $ABC$  y  $A'B'C'$  dos h-triángulos 3-asintóticos. Supondremos, sin pérdida de generalidad, que  $A, B, C, A', B', C'$  están en el orden que indica la figura.

Demostraremos que existe una h-isometría que transforma a  $ABC$  en  $A'B'C'$  y así, que los dos h-triángulos son h-congruentes.

Sea  $g_2$  la inversión que transforma a la h-recta  $AB$  en la h-recta  $A'B'$  (construcción I.2.4)  $g_2$  transforma a  $A$  en  $B'$ , a  $B$  en  $A'$ , y a  $C$  en un e-punto  $C''$ , donde  $C''$ , en general, no coincide con  $C'$ .

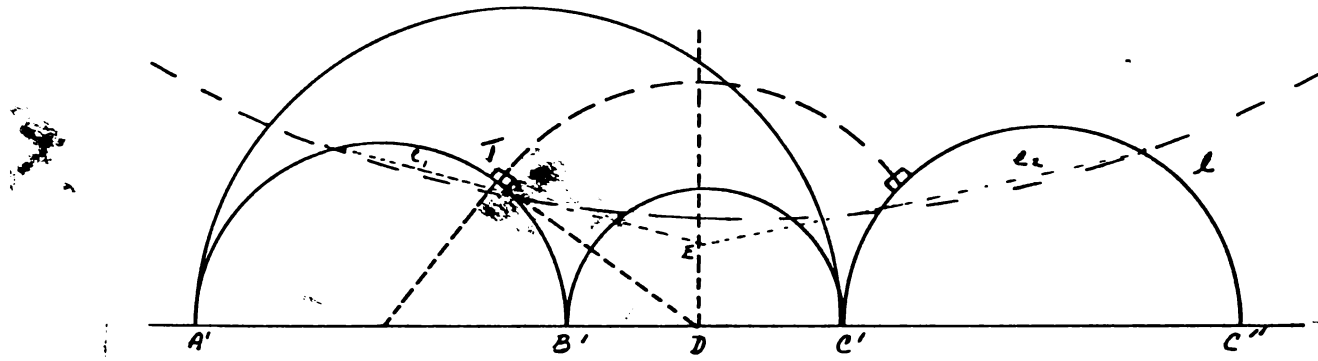
Si  $C'' = C'$ ,  $g_2$  transforma a  $ABC$  en el h-triángulo  $B'A'C'$ , que es el mismo que  $A'B'C'$ , por lo que  $ABC$  y  $A'B'C'$  son h-congruentes.



Si  $C'' \neq C$ , tracemos la  $\ell$ -recta  $l$  que pasa por  $C'$  y  $C''$  y sea  $\delta$  una  $\ell$ -circunferencia que intersecta en dos  $\ell$ -puntos tanto a la  $\ell$ -recta  $A'B'$  como a la  $\ell$ -recta  $C'C''$ .

Sea  $\ell_1$  la  $\ell$ -recta que pasa por los  $\ell$ -puntos en donde  $\delta$  intersecta a  $A'B'$  y sea  $\ell_2$  la  $\ell$ -recta que pasa por los dos  $\ell$ -puntos en donde  $\delta$  intersecta a  $C'C''$ . Sea  $E$  el punto de intersección de  $\ell_1$  y  $\ell_2$  y sea  $D$  el  $\ell$ -punto donde la  $\ell$ -recta perpendicular al eje  $x$  desde  $E$  intersecta al eje  $x$ .  $D$  está en el eje radical de las  $\ell$ -circunferencias  $A'B'$  y  $C'C''$  (ver [53]) y, por lo tanto, cualquier  $\ell$ -circunferencia con centro en  $D$  y orthogonal a  $A'B'$  es perpendicular a  $C'C''$ .

Sea  $T$  el  $\ell$ -punto donde la  $\ell$ -tangente a  $A'B'$  desde  $D$  intersecta a  $A'B'$  y sea  $\ell$  la  $\ell$ -recta con centro en  $D$  y  $\ell$ -radio  $DT$ . Entonces  $\ell$  es  $\ell$ -perpendicular tanto a la  $\ell$ -recta  $A'B'$  como a la  $\ell$ -recta  $C'C''$ .



Sea  $g_2$  la invención con respecto a  $\ell$ .

$g_2$  transforma a la  $\ell$ -recta  $A'B'$  en si misma globalmente, por lo que  $g_2(B') = B'$  y  $g_2(A') = A'$ .

y como  $g_2$  también transforma a  $C'C''$  en si misma globalmente.

Tenemos entonces que

$$\begin{aligned} g_2 \circ g_1(A) &= g_2(A') = A' \\ g_2 \circ g_1(B) &= g_2(A') = B' \\ g_2 \circ g_1(C) &= g_2(C'') = C' \end{aligned}$$

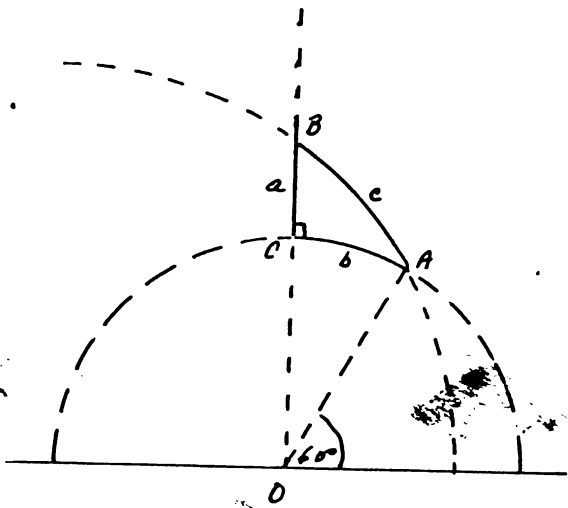
Lo decí, la  $\ell$ -isometría  $g = g_2 \circ g_1$  transforma al  $\ell$ -triángulo 3-asintótico  $A'B'C$  en el  $\ell$ -triángulo 3-asintótico  $A'B'C'$  y por lo tanto  $A'B'C$  y  $A'B'C'$  son  $\ell$ -congruentes.

### IV.3 Teorema de Pitágoras

El teorema de Pitágoras no es válido en geometría hiperbólica. Es posible demostrar que en geometría hiperbólica el cuadrado de la hipotenusa ~~la suma~~ siempre es estreñamente mayor que ~~la suma~~ del cuadrado de los catetos. Demostremos lógicamente lo siguiente:

**Teorema IV.5.** - Existen h-triángulos rectángulos tales que el cuadrado de la hipotenusa es mayor que la suma de los cuadrados de los catetos.

Para demostrar este teorema, lo que haremos será trazar un h-triángulo rectángulo con esta propiedad.



Tracemos una h-recta e-rayo  $a$  y llamemos  $O$  a su pie. Tracemos la h-recta  $b$  de e-centro  $O$  y e-radio  $\frac{1}{2}$  y llamemos  $C$  a la intersección de  $a$  y  $b$ .

Tracemos una e-recta por  $O$  que forme ángulo de  $60^\circ$  con el eje  $x$  y llamemos  $A$  al punto de intersección de esta e-recta y la h-recta  $b$ .

Con centro en  $L_3$ , el punto al infinito enquierdo de  $b$ , tracemos una h-recta  $c$  cuyo e-radio sea  $L_6A$ , y llamemos  $B$  al punto de intersección de  $c$  y  $a$ .

Tanemos así un h-triángulo  $ABC$  cuyo ángulo en  $C$  es recto. Calcularemos la h-longitud de la hipotenusa ( $c$ ), y la de los catetos ( $a$  y  $b$ ), para demostrar que  $c^2 > a^2 + b^2$ .

## Cálculo del cateto b

El cateto b mide, por definición de la distancia,  $|\log \{C, A, M_b, L_b\}|$  donde  $L_b$  y  $M_b$  son las proyecciones al infinito de la l-recta  $CA$  y tales que  $C$  está entre  $A$  y  $L_b$  y  $A$  está entre  $C$  y  $M_b$ .

Lo primero que observamos es que  $\{C, A, M_b, L_b\} = \{C', A', M_b', L_b'\}$

donde  $C'$  y  $A'$  son, respectivamente, las e-proyecciones de  $C$  y  $A$  sobre el eje  $x$  (ver [7.3]). En este caso,  $C'$  es  $O$ , el pie del e-rayo  $a$ .

Así estamos interesados en la razón cruzada

$$\{O, A'; M_b, L_b\} = \frac{OM_b}{M_b A'} / \frac{OL_b}{L_b A'}$$

~~•~~  $OL_b$  y  $OM_b$  son, por construcción, -1 y 1 respectivamente.  $L_b A' = L_b O + OA'$  donde  $L_b O = \pm 1$  y  $OA'$  es  $1/2$  pues el e-triángulo  $OAA'$  es rectangular de hipotenusa 1 y con ángulo  $AOA' = 60^\circ$ .

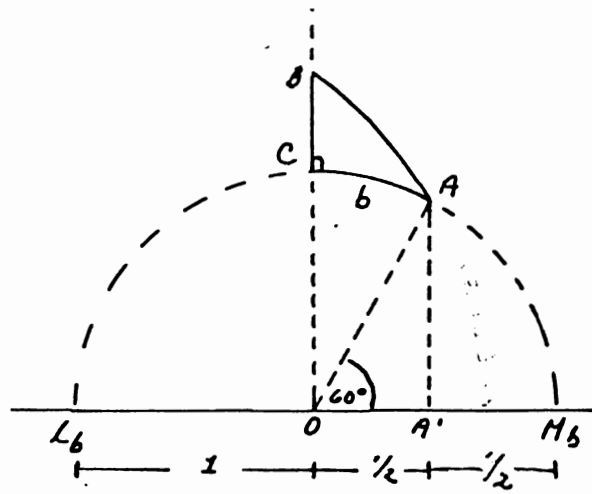
Así,  $L_b A' = 1 + 1/2 = 3/2$ . Finalmente,

$$M_b A' = M_b O - A' O = (-1) - (-1/2) = -1/2$$

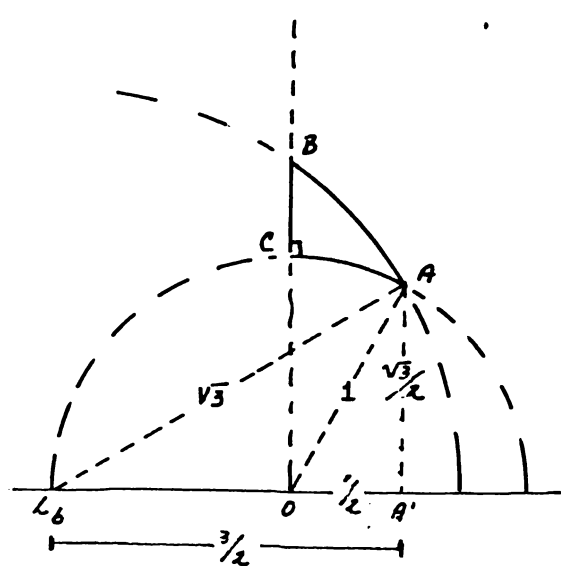
Sustituyendo estos valores en la razón cruzada tenemos que

$$\{O, A'; M_b, L_b\} = \frac{-1}{-1/2} / \frac{-1}{3/2} = 3.$$

Por lo que el cateto b mide  $|\log 3| = 3$



## Cálculo del cateto a



El cateto a mide, por definición de la distancia,  $|\log \frac{OB}{OC}|$ .

Donde OC mide, por construcción, 1; y OB mide  $\sqrt{2}$ , pues como el e-triángulo rectángulo  $AOA'$  tiene hipotenusa 1 y cateto  $OA' = 1/2$ , el tercer cateto mide  $\sqrt{3}/2$ .

Así, el e-triángulo rectángulo  $L_0 A' A$  tiene catetos  $L_0 A' = 3/2$  y  $A' A = \sqrt{3}/2$ , por lo que su hipotenusa,  $L_0 A$ , mide  $\sqrt{3}$ .

Però esta hipotenusa es el e-radio de la l-recta c, por lo que la e-distancia de  $L_0$  a c es también  $\sqrt{3}$ .

Aplicando Pitágoras al e-triángulo  $BL_0 O$ , de hipotenusa  $= \sqrt{3}$  y cateto  $L_0 O = 1$ , tenemos que el otro cateto,  $OB$ , es  $\sqrt{2}$ .

Así, el cateto b del l-triángulo  $ASC$  mide

$$|\log \frac{OB}{OC}| = |\log \frac{\sqrt{2}}{1}| = \log \sqrt{2}$$

Cálculo de la hipotenusa.

La 1: longitud de la hipotenusa, c, es:

$\log \{C, A, M_c, L_c\}$  donde  $M_c$  y  $L_c$  son los puntos al infinito de  $AC$  tales que  $C$  esté entre  $A$  y  $L_c$  y  $A$  entre  $C$  y  $M_c$ .

$\{C, A, M_c, L_c\} = \{O, A', M_c, L_c\}$  donde  $A'$  es la e-proyección de  $A$  sobre el eje  $x$ .

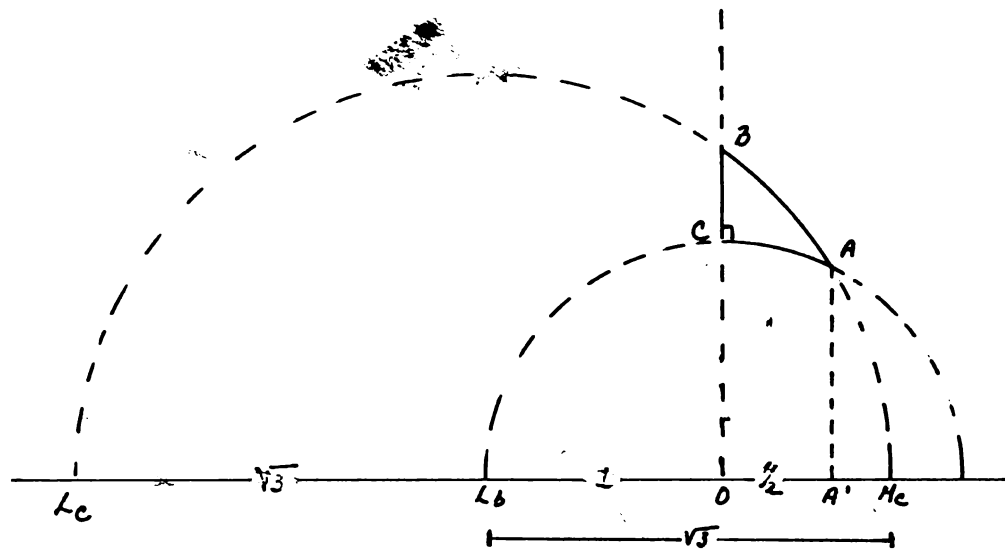
$$\{O, A', M_c, L_c\} = \frac{OM_c}{M_c A'} / \frac{OL_c}{L_c A'}$$

$$OM_c = L_b M_c - L_b O = \sqrt{3} - 1 = -1 + \sqrt{3}$$

$$M_c A' = M_c L_b - A' L_b = -\sqrt{3} - (-\frac{3}{2}) = (\frac{3}{2}) - \sqrt{3}$$

$$OL_c = OL_b + L_b L_c = -1 - \sqrt{3}$$

$$L_c A' = L_c O + OA' = (1 + \sqrt{3}) + \frac{1}{2} = (\frac{3}{2}) + \sqrt{3}$$



Sustituyendo estos valores en la razón cruzada, tenemos

$$\{O, A', M_c, L_c\} = \frac{-1 + \sqrt{3}}{\frac{3}{2} - \sqrt{3}} / \frac{-1 - \sqrt{3}}{\frac{3}{2} + \sqrt{3}} = \frac{-2 + 2\sqrt{3}}{3 - 2\sqrt{3}} / \frac{-2 - 2\sqrt{3}}{3 + 2\sqrt{3}} =$$

$$\frac{(2\sqrt{3} - 2)(2\sqrt{3} + 3)}{(-2\sqrt{3} - 2)(-2\sqrt{3} + 3)} = \frac{4(3) + 1(2\sqrt{3}) - 6}{4(3) + 1(-2\sqrt{3}) - 6} = \frac{6 + 2\sqrt{3}}{6 - 2\sqrt{3}} = \frac{3 + \sqrt{3}}{3 - \sqrt{3}} =$$

$$\left(\frac{3 + \sqrt{3}}{3 - \sqrt{3}}\right) \left(\frac{3 + \sqrt{3}}{3 + \sqrt{3}}\right) = \frac{9 + 6\sqrt{3} + 3}{9 - 3} = \frac{12 + 6\sqrt{3}}{6} = 2 + \sqrt{3}$$

por lo que  $c = \log |2 + \sqrt{3}| = \log 2 + \sqrt{3}$ .

Tenemos entonces que

$$a = \log \sqrt{2} \quad b = \log 3 \quad c = \log 2 + \sqrt{3}$$

de donde

$$a = \log \sqrt{2} \approx \log 1.4142 < \log 1.42 \approx .1523 < .153$$

$$b = \log 3 \approx .47712 < .478$$

$$c = \log 2 + \sqrt{3} \approx \log 2 + 1.7320 > \log 3.731 \approx .57185 > .570$$

y por lo tanto

$$a^2 < .023409 \quad b^2 < .223484 \quad c^2 > .3249$$

Ahi,

$$c^2 > .3249 > .023409 + .223484 > a^2 + b^2.$$

lo decir,  $c^2 > a^2 + b^2$ .

## II.4 h-bisectrices, h-mediáticas y h-alturas de un h-triángulo

### II.4.1 h-bisectrices de un h-triángulo

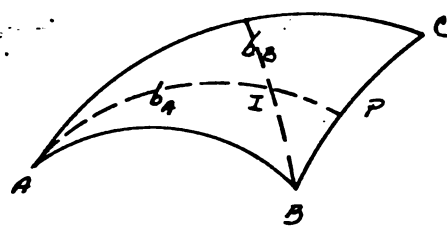
Teorema II.6 Dos h-bisectrices interiores de un h-triángulo siempre se intersectan en un punto en el interior del h-triángulo.

El que toda recta por el vértice de un triángulo intersece al lado opuesto al vértice, es un resultado de geometría euclídea que no depende del postulado de las paralelas (Euklides lo demostraba sin saberlo demostrado y Hilbert lo obtiene como una consecuencia del Axioma III.5 (ver [43])).

Así, si  $ABC$  es un h-triángulo y  $b_A$  la h-bisectriz interior del h-ángulo en  $A$ ,  $b_A$  intersecta al lado  $BC$  en un h-punto  $P$ .

Así, la h-bisectriz en  $B$ , es una h-recta por el vértice en  $B$  del h-triángulo  $ABP$ , por lo que intersecta al lado  $AP$ , es decir, a  $b_B$ , en un h-punto  $I$ .

I está en el interior del h-triángulo  $ABC$  pues el h-segmento  $AP$  está en el interior del h-triángulo  $ABC$ .

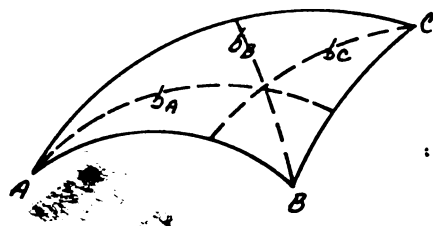


Teorema 18.7 Si  $I$  es el  $h$ -punto de intersección de dos  $h$ -bisectrices interiores de un  $h$ -triángulo, la tercera  $h$ -bisectriz pasa por  $I$ .

Sea  $AOC$  un  $h$ -triángulo,  $b_A$  y  $b_B$  las  $h$ -bisectrices interiores de  $AOC$  por  $A$  y por  $B$  respectivamente, y sea  $I$  el  $h$ -punto de intersección de  $b_A$  y  $b_B$ .

Como  $I$  está sobre  $b_A$ , la  $h$ -distancia de  $I$  al lado  $AB$  es la misma que la  $h$ -distancia de  $I$  al lado  $AC$  ( $d_{AB}^I = d_{AC}^I$ ).

Análogamente, como  $I$  está sobre  $b_B$ ,  $d_{BC}^I = d_{BA}^I$ , y así,  $d_{AC}^I = d_{BC}^I$ , por lo que  $I$  está sobre la  $h$ -bisectriz de  $AC$  y  $BC$ . ( $b_C$ ).



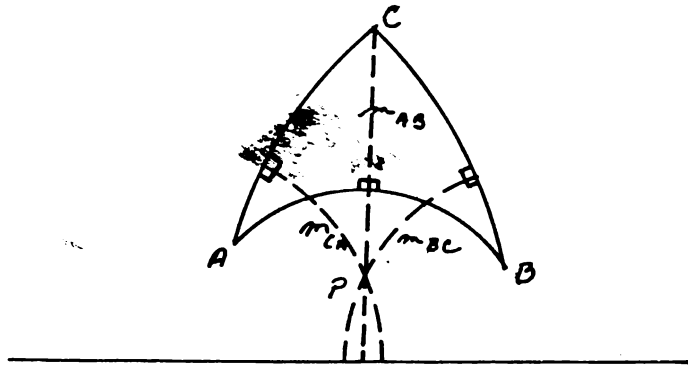
Tenemos además que si  $P_A$ ,  $P_B$  y  $P_C$  son los pies de las  $h$ -perpendiculares a los lados del  $h$ -triángulo desde  $I$ ,  $d_{PA}^I = d_{PB}^I = d_{PC}^I$ ; y por tanto  $P_A$ ,  $P_B$  y  $P_C$  están sobre el  $h$ -círculo de  $h$ -centro  $I$  y  $h$ -radio  $IP_A$ .

## IV. 4.2 L-mediatrices de un L-triángulo

**Teorema IV.8** Las tres L-meditrizes de un L-triángulo concurren (en un L-punto o en un L-punto al infinito) o son L-paralelas.

Demostraremos primero que si en un L-triángulo las L-meditrizes se intersectan (en un L-punto o en un punto al infinito), la tercera L-meditriz pasa por el punto de intersección de las dos primeras, y que si en un L-triángulo las L-meditrizes son L-paralelas, la tercera L-meditriz es L-paralela a ambas. Una vez hecho esto, estableceremos L-triángulos tales que sus L-meditrizes concurren, y un L-triángulo tal que sus L-meditrizes son L-paralelas.

Sea ABC un L-triángulo tal que dos de sus L-meditrizes,  $m_{AB}$  y  $m_{AC}$ , se intersectan en un L-punto P, y sea  $m_{BC}$  la tercera L-meditriz.

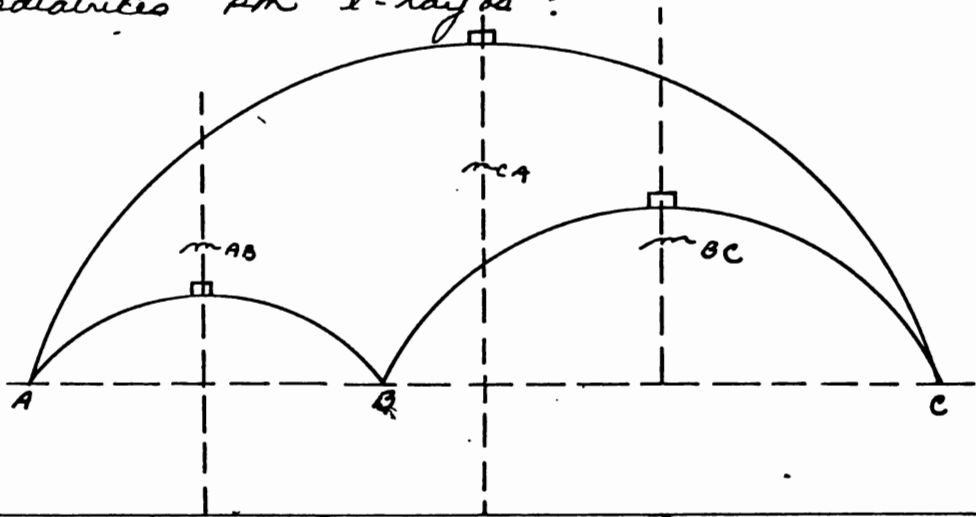


Como P está en  $m_{AB}$ ,  $d'_A = d'_B$ ;

como P está en  $m_{AC}$ ,  $d'_A = d'_C$ .

y así,  $d'_B = d'_C$ , es decir, P está sobre  $m_{BC}$ .

Sin  $A'BC$  un h-triángulo tal que dos de sus h-mediáticas  $m_{AB}$  y  $m_{BC}$  se intersectan en un punto al infinito. Supondremos que  $m_{AB}$  y  $m_{BC}$  son h-rectas, pues en caso de no serlo, aplicamos una inversión con centro en el h-punto de intersección de las h-mediáticas y transformamos al h-triángulo  $A'BC$  en una h-triángulo  $A'B'C'$  tal que los de sus h-mediáticas son h-rayos.



Tomo al invertir con respecto a  $m_{AB}$ , que es h-rayo. A se transforma en  $B$  y viceversa. La h-recta  $AB$  es perpendicular a  $m_{AB}$  y por lo tanto paralela al eje  $x$ .

Análogamente, la h-recta  $BC$  es también paralela al eje  $x$ .

Como la h-paralela a una h-recta por un punto es única, la h-recta  $AB$  es la misma que la h-recta  $BC$  y así  $A$  y  $C$  son dos h-puntos tales que la h-recta que los une es paralela al eje  $x$ , por lo que la h-mediática del h-segmento  $AC$  es un h-rayo (el h-rayo cuyo pie es el h-centro de la h-recta  $AC$ ).

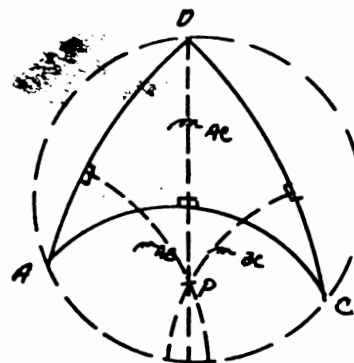
Si  $A'BC$  es un h-triángulo tal que los de sus h-mediáticas,  $m_{AB}$  y  $m_{BC}$ , son h-paralelas, la tercera h-mediática,  $m_{AC}$ , es h-paralela tanto a  $m_{AB}$  como a  $m_{BC}$ , pues si  $m_{AC}$  intersecta, digamos a  $m_{AB}$ ,  $m_{BC}$  tendría que pasar por el punto de intersección de  $m_{AB}$  y  $m_{AC}$ , en lo que  $m_{AB}$  y  $m_{BC}$  no serían h-paralelas.

A continuación exhibiremos un  $\lambda$ -triángulo tal que sus  $\lambda$ -mediatrices concurren en un  $\lambda$ -punto.

Sea  $\mathcal{C}$  un  $\lambda$ -círculo de  $\lambda$ -centro  $O$  y sean  $A, B$  y  $C$  tres  $\lambda$ -puntos sobre  $\mathcal{C}$ .  $A, B$  y  $C$  no son  $\lambda$ -colineales —pues si que una recta y un círculo tienen a lo más dos puntos en común, es un resultado que no depende del postulado de las paralelas (ver [8]) y, por lo tanto, determinan un  $\lambda$ -triángulo  $ABC$ .

Como  $O$ , el  $\lambda$ -centro de  $\mathcal{C}$ ,  $\lambda$ -equidista de  $A$  y  $B$ ,  $O$  está sobre  $m_{AB}$ , la  $\lambda$ -mediatriz de  $AB$ . Análogamente,  $O$  está sobre  $m_{BC}$ , la  $\lambda$ -mediatriz de  $BC$ , y sobre  $m_{CA}$ , la  $\lambda$ -mediatriz de  $CA$ .

Así, las tres  $\lambda$ -mediatrices del  $\lambda$ -triángulo  $ABC$  se intersectan en el  $\lambda$ -punto  $O$ .



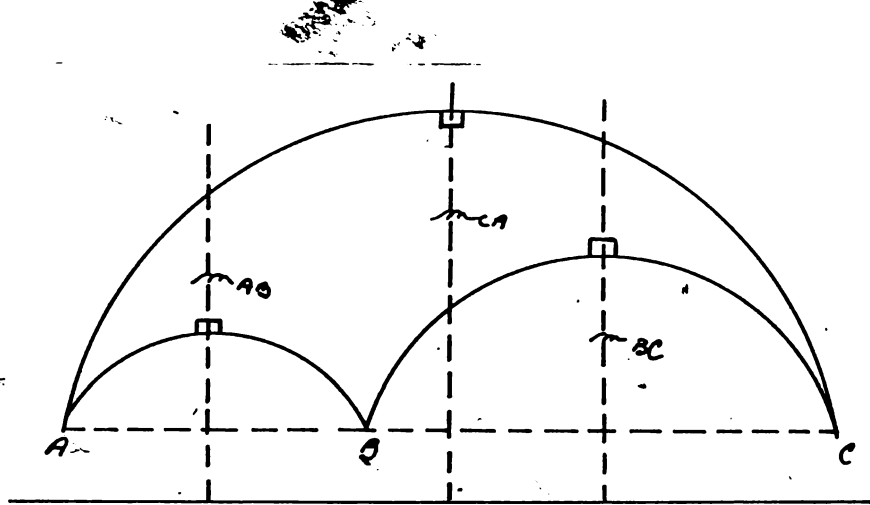
Ahora estudiaremos un h-triángulo cuyas tres h-mediatrixas se intersectan en un punto al infinito.

Sean  $A, B$  y  $C$  tres h-puntos e-colineales y tales que la e-recta que los contiene es paralela al eje  $x$ .

Como  $A, B$  y  $C$  son e-colineales, no existe un e-círculo que pase por ellos y por lo tanto no existe una h-recta que pase por ellos, por lo que determinan un h-triángulo  $ABC$ .

Así, la h-mediatriz de  $\overline{AB}$ , es la h-recta e-rayo que pasa por el e-punto medir del e-segmento  $AB$ . Analogamente,  $m_{BC}$  es la h-recta e-rayo que pasa por el e-punto medir del e-segmento  $BC$ , y  $m_{CA}$  es la h-recta e-rayo que pasa por el e-punto medir del e-segmento  $CA$ .

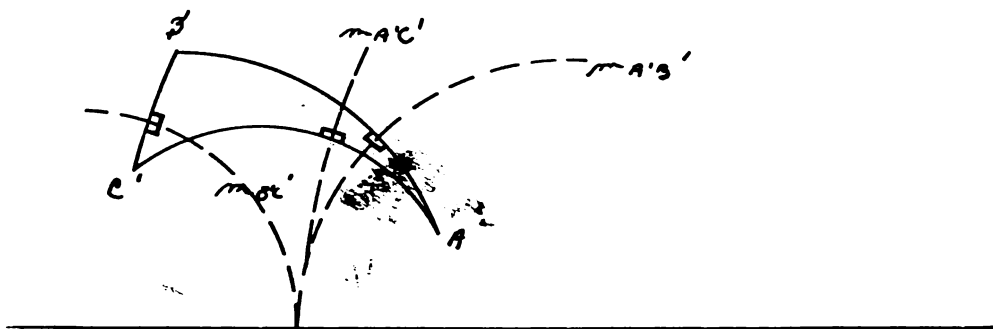
Así,  $ABC$  es un h-triángulo tal que sus tres h-mediatrixas son h-rectas e-rayo y, por lo tanto, pasan por el mismo punto al infinito.



Observemos que al invertir un  $\lambda$ -triángulo  $AOC$  tal que sus tres  $\lambda$ -mediáticos  $m_{A\bar{O}}$ ,  $m_{\bar{O}C}$  y  $m_{C\bar{A}}$  sean  $\epsilon$ -rayos, con respecto a una  $\lambda$ -recta  $\ell$ -semicircunferencia cuyo  $\epsilon$ -center  $O$ , no coincide en los ejes de las  $\lambda$ -mediáticos,  $m_{A\bar{O}}$ ,  $m_{\bar{O}C}$  y  $m_{C\bar{A}}$ , que son  $\epsilon$ -semirectas que no pasan por  $O$ , se transforman en  $\epsilon$ -semicircunferencias que pasan por  $O$ ,  $m_{A' \bar{O}'}$ ,  $m_{\bar{O}' C'}$  y  $m_{C' \bar{A}'}$ .

y como la inversión preserva ángulos y  $\lambda$ -distancia,  $\overline{A'B}'$ ,  $\overline{B'C}'$  y  $\overline{C'A}'$ , los inversos de los segmentos  $\overline{AB}$ ,  $\overline{BC}$  y  $\overline{CA}$ , son tales que  $m_{A' \bar{B}'}$  es la  $\lambda$ -mediatriz de  $\overline{A'B}'$ ;  $m_{B' \bar{C}'}$  es la  $\lambda$ -mediatriz de  $\overline{B'C}'$  y  $m_{C' \bar{A}'}$  es la  $\lambda$ -mediatriz de  $\overline{C'A}'$ .

Así,  $A'B'C'$  es un  $\lambda$ -triángulo tal que sus tres  $\lambda$ -mediáticos se intersectan en un punto al infinito  $O$  sobre el eje  $\lambda$ .



Finalmente, exhibiremos un  $h$ -triángulo  $AOC$  tal que sus tres  $h$ -mediatrices son  $h$ -paralelas.

Sean  $A, B$  y  $C$  tres  $h$ -puntos  $e$ -colineales y tales que la  $e$ -recta que los contiene no es un  $e$ -rayo e intersecta al eje  $\pi$  en un  $e$ -punto  $O$ .

Como  $A, B$  y  $C$  son  $e$ -colineales, no son  $h$ -colineales y por lo tanto determinan un  $h$ -triángulo  $AOC$ .

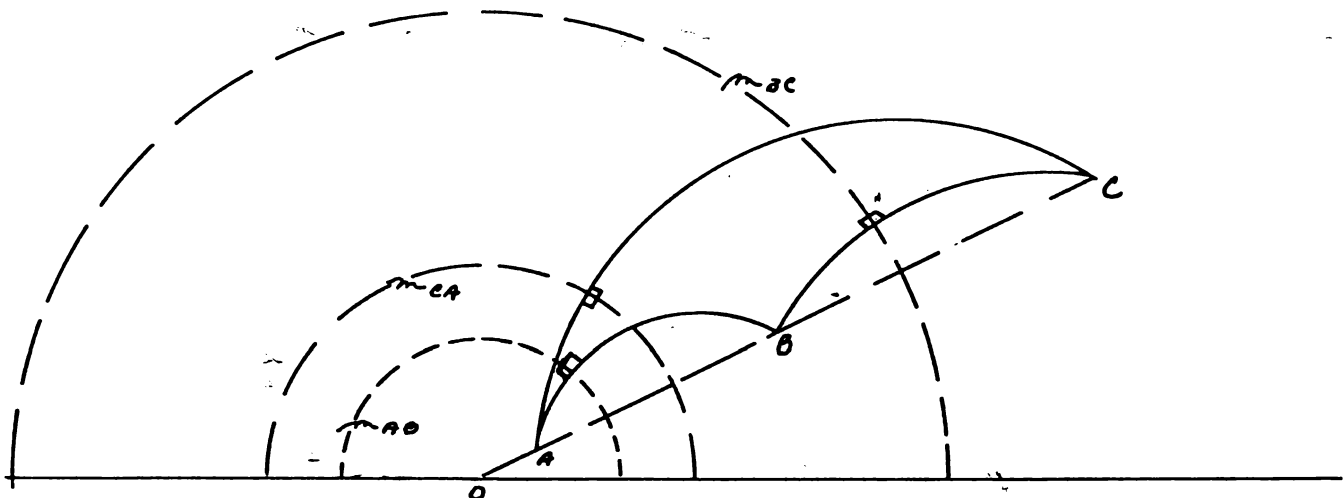
Sea  $l$  la  $h$ -recta tal que al invertir con respecto a ella,  $A$  y  $B$  son mutuamente inversas.

$l$  tiene centro en  $O$  y  $l$  es la  $h$ -mediatrix de  $\overline{AB}$ .<sup>(m<sub>AB</sub>)</sup>

Análogamente, la  $h$ -mediatrix de  $\overline{BC}$ <sup>(m<sub>BC</sub>)</sup> es la  $h$ -recta tal que al invertir con respecto a ella,  $B$  y  $C$  son mutuamente inversas, por lo que  $m_{BC}$  tiene centro en  $O$ .

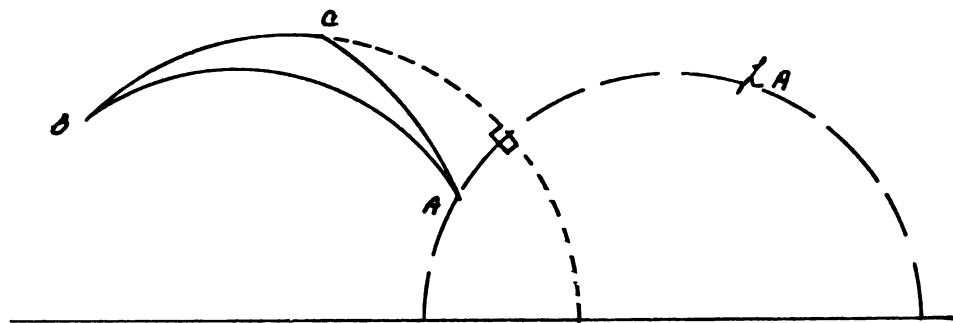
Por la misma razón, el centro de  $m_{CA}$  es también  $O$ .

Tenemos entonces que las tres  $h$ -mediatrices de  $AOC$  son  $e$ -semicircunferencias concéntricas y por lo tanto  $h$ -paralelas.

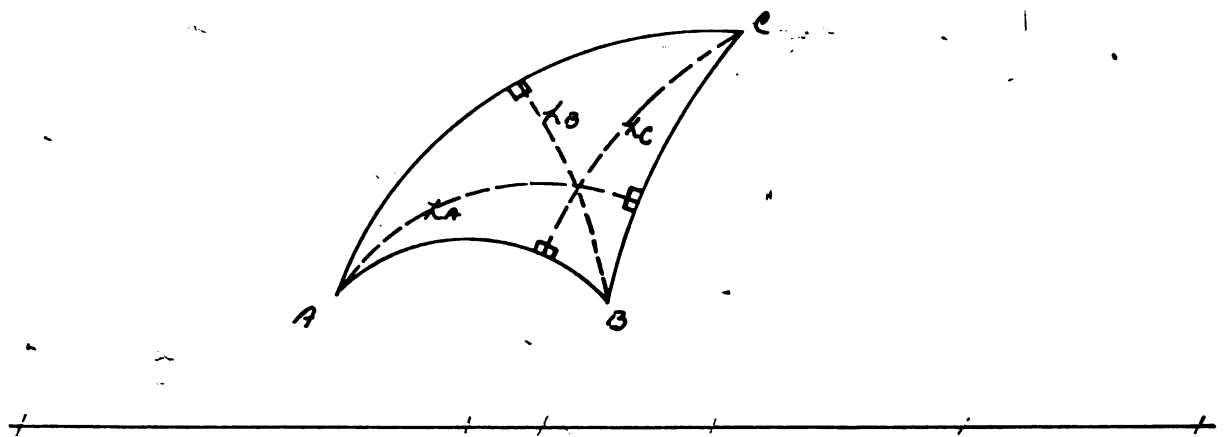


### IV. 4.3 h-alteras de un h-triángulo

Sea  $AOC$  un h-triángulo. La h-alta en  $A$  de  $AOC$  ( $h_A$ ), es la h-recta perpendicular a la h-recta  $OC$  desde  $A$ .



Análogamente,  $h_B$  y  $h_C$  son las h-paralelas desde  $B$  y desde  $C$  a los lados  $CA$  y  $AO$  respectivamente.



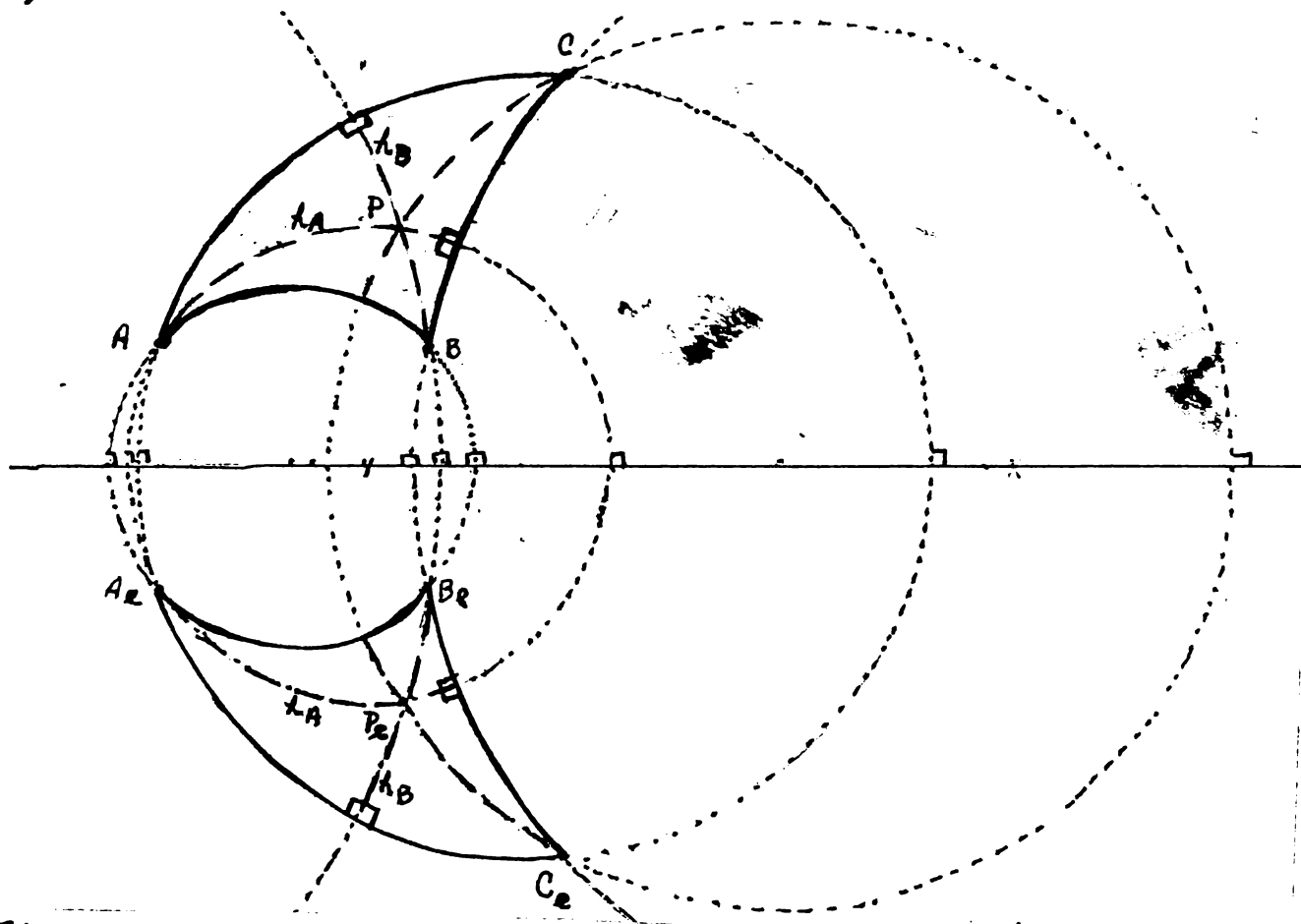
Teorema II.9 Las tres h-alturas de un h-triangulo concurren (en un h-punto o en un punto al infinito), o son h-paralelas.

Al igual que en el caso de las h-mediatrias, demostraremos primero que si en un h-triangulo dos h-alturas se intersectan, la tercera h-altura pasa por el punto de intersección de las dos primeras, y que si dos h-alturas son h-paralelas, la tercera es h-paralela a ambas! Una vez hecho esto, exhibiremos h-triangulos tales que sus h-alturas concurren y un h-triangulo tal que sus h-alturas son h-paralelas.

Sea  $ABC$  un  $h$ -triángulo tal que dos de sus  $h$ -alturas,  $h_A$  y  $h_B$ , se intersectan en un  $h$ -punto  $P$ . sea  $l$  la  $l$ -recta que pasa por  $C$  y por  $P$ . Demostremos que  $l$  es la  $h$ -altura  $h_C$ ; es decir, demostremos que  $l$  es  $h$ -perpendicular a  $AO$ , y con esto quedaría demostrado que la tercera  $h$ -altura pasa por  $P$ .

Para ello tomaremos en cuenta que el  $l$ -plano es un  $l$ -semiplano y haremos una  $l$ -enversión del  $l$ -plano en si mismo, para demostrar que en la figura invertida  $C'P'$ , el inverso de la  $h$ -recta  $CP$ , es perpendicular a  $A'O'$  el inverso de la  $h$ -recta  $AO$ .

Consideraremos entonces que nuestras  $h$ -rectas son parte de  $l$ -circunferencias en el  $l$ -plano, y tenemos la siguiente situación:



Una  $l$ -recta, el eje  $X$ , y tres  $l$ -circunferencias ortogonales a ella:  $AO$ ,  $OC$  y  $CA$ , tales que  $AO$  y  $OC$  se intersectan en los puntos  $B$  y  $B_e$ ;  $BC$  y  $CA$  se intersectan en  $C$  y  $C_e$ , y  $CA$  y  $AO$  en  $A$  y  $A_e$ .

Tenemos además otras tres  $l$ -circunferencias ortogonales al eje  $X$ :  $h_A$ ,  $h_B$  y  $CP$ , y tales que  $h_A$  pasa por  $A, A_e, P$  y  $P_e$  y es ortogonal a  $BC$ ;  $h_B$  pasa por  $B, B_e, P$  y  $P_e$  y es ortogonal a  $AC$ , y  $CP$  pasa por  $C, C_e, P$  y  $P_e$ .

Para demostrar que la  $l$ -circunferencia  $CP$  es ortogonal a la  $l$ -circunferencia  $AO$ , haremos una  $l$ -enversión respecto a una  $l$ -circunferencia con centro en  $P$ .

Al aplicar  $f$ , el eje  $x$  se transforma en una circunferencia  $\tilde{x}$ ;  $l_A$ , que pasa por  $P$  y es ortogonal a  $x$ , se transforma en un diámetro de  $\tilde{x}$  ( $\tilde{l}_A'$ ). Lo mismo sucede con  $l_B$ .  $l_A$  y  $l_B$  se intersectan en el centro de  $x$ , que es  $P_e$ , el enripar de  $P$ .

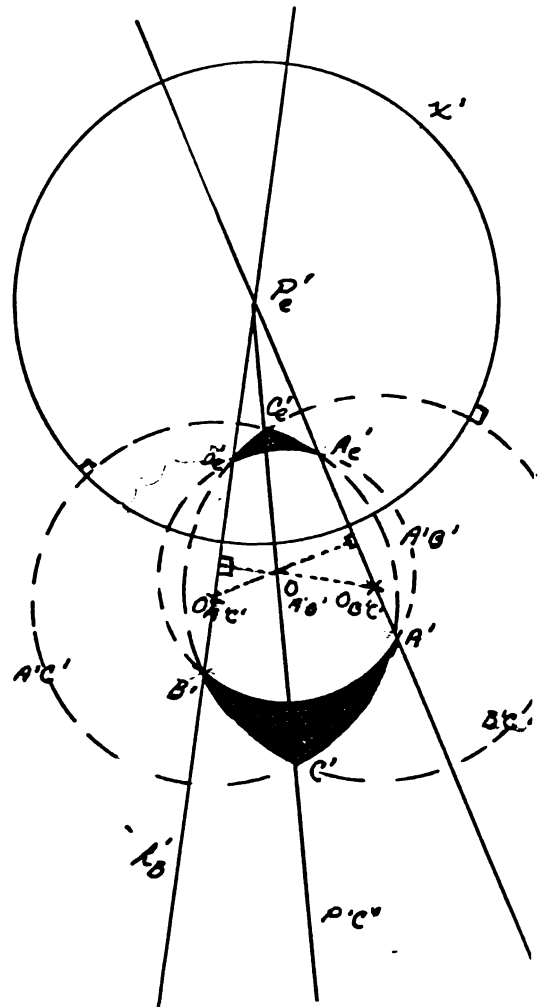
$BC$ , que es ortogonal al eje  $x$  y a  $l_A$ , se transforma en una circunferencia  $\tilde{B'C'}$  ortogonal a  $\tilde{x}$  y cuyo centro ( $O_{B'C'}$ ) está sobre  $\tilde{l}_A'$ . Además,  $B'C'$  intersecta a  $\tilde{l}'$  en dos puntos  $B'$  y  $C'$ , que son los enriparos de  $B$  y  $C$ .

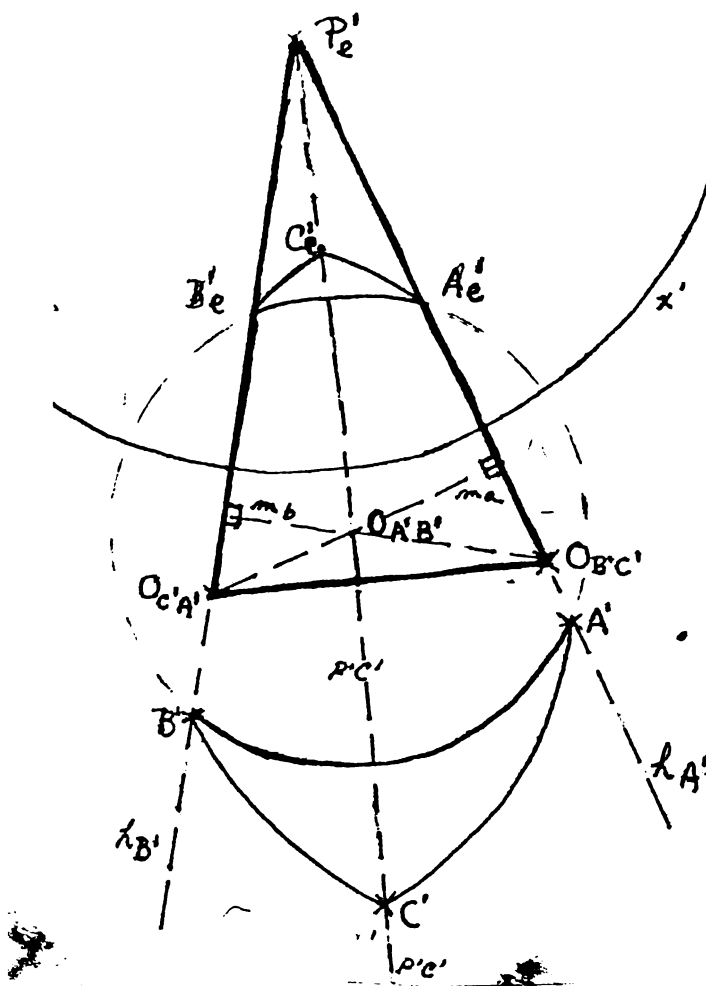
Análogamente,  $C'A'$ , el enripar de  $CA$ , es una circunferencia cuyo centro ( $O_{C'A'}$ ) está en  $\tilde{l}_B'$ , y que es ortogonal a  $\tilde{x}$  e intersecta a  $\tilde{l}_A'$  en  $A'$  y  $C'_e$ .

Además,  $C'A'$  y  $B'C'$  se intersectan en  $C'$  y  $C'_e$ , los enriparos de  $C$  y  $C_e$ .

$A'B'$ ; el enripar de  $AB$ , es la circunferencia que pasa por  $A'$ ,  $B'$ ,  $B'_e$  y  $B_e$ . Pda encuéntrala, podemos trazar las mediatrixes de los segmentos  $B'_e B_e$  y  $A'_e A_e$ , y el punto donde se intersectan es  $O_{A'B'}$ , el centro de  $A'B'$ . Finalmente,  $C'P'$ , el enripar de  $CP$ , es la recta que pasa por  $P'_e$ ,  $C'$  y  $C'_e$ .

Demostraremos ahora que  $C'P'$  es perpendicular a  $A'B'$ ; es decir demostraremos que  $C'P'$  pasa por  $O_{A'B'}$ , el centro de  $A'B'$ .





Para demostrar que  $P'C'$  pasa por  $O_{A'B'}$ , daremos lo siguiente:

Tomemos en el  $\triangle P'eO_{C'A'}$ ,  $O_{B'C'}$  y en  $m_b$  y  $m_a$ , las mediatrices de los segmentos  $\overline{OB'_e}$  y  $\overline{AA'_e}$  que usaremos para encontrar  $O_{A'B'}$ , el centro de  $A'B'$ .

Como  $B'$  y  $B'_e$  están sobre la circunferencia  $B'C'$ ,  $m_b$  pasa por  $O_{B'C'}$ ; el centro de  $B'C'$ . Además, como  $m_b$  es perpendicular a  $P'eO_{C'A'}$ ,  $m_b$  resulta ser la altura en  $O_{B'C'}$  del triángulo  $P'eO_{C'A'}O_{B'C'}$ .

Análogamente,  $m_a$  pasa por  $O_{B'C'}$  y es perpendicular a  $P'eO_{B'C'}$ , por lo que  $m_a$  es la altura en  $O_{C'A'}$  del triángulo  $P'eO_{C'A'}O_{B'C'}$ .

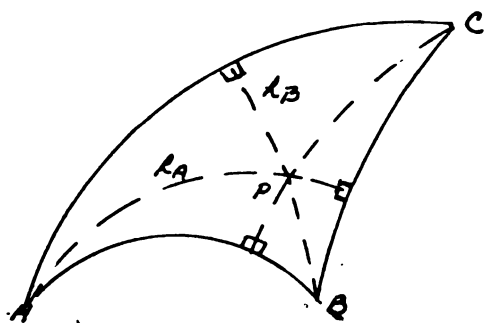
Tenemos entonces que  $m_b$  y  $m_a$  son dos alturas del triángulo  $P'eO_{C'A'}O_{B'C'}$  que se intersectan en  $O_{A'B'}$ . Y como en geometría euclíadiana las tres alturas de un triángulo pasan por un mismo punto, la tercera altura tiene que pasar por  $O_{A'B'}$ . Demostremos que la recta  $P'C'$  es la tercera altura y con esto que pasa por  $O_{A'B'}$ .

$P'C'$  pasa por  $P'_e$ , por lo que lo único que hay que demostrar para convencernos de que  $P'C'$  es la tercera altura, es que  $P'C'$  es perpendicular a  $O_{C'A'}O_{B'C'}$ .

Para ello basta observar que  $P'C'$  pasa por  $C'$  y  $C'_e$ , los puntos de intersección de las circunferencias  $B'C'$  y  $C'_e$ , por lo que es perpendicular a la línea de sus centros; es decir  $P'C'$  es perpendicular a  $O_{C'A'}O_{B'C'}$  y por lo tanto es la tercera altura, por lo que tiene que pasar por  $O_{A'B'}$ .

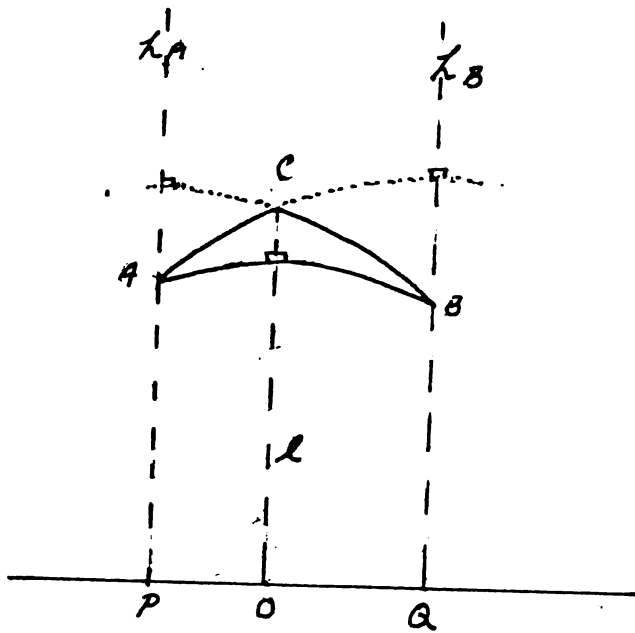
Así,  $P'C'$  es perpendicular a  $A'B'$ .

Entonces, en la figura original la h-recta  $PC$  es perpendicular a la h-recta  $AO$ , con lo que  $PC$  resulta ser la tercera h-altura del h-triángulo  $AOC$ , y con esto queda demostrado que si dos h-alturas de un h-triángulo se intersectan en un h-punto  $P$ , la tercera h-altura pasa también por  $P$ .



Sea  $AOC$  un h-triángulo tal que dos de sus h-alturas,  $h_A$  y  $h_B$  son paralelas límite.

Supondremos que  $h_A$  y  $h_B$  son l-rayas pues, en el caso en que  $h_A$  y  $h_B$  se intersectan en un l-punto  $X$  sobre el eje  $\ell$ , podemos hacer una inversión con respecto a una h-recta con centro en  $X$  para transformar al h-triángulo  $AOC$  en un h-triángulo  $A'OC'$  tal que dos de sus h-alturas;  $h_{A'}$  y  $h_{B'}$  son l-rayas.



Sea  $l$  la  $h$ -recta  $l$ -rayo que pasa por  $C$ . Demostremos que  $l$  es perpendicular a  $AB$  y con esto que es la tercera  $h$ -altura. Para ello lo que tenemos sería demostrar que la  $e$ -distancia  $OA$  (donde  $O$  es el pie de  $l$ ) es la misma que la  $e$ -distancia  $OQ$ , y con esto que  $O$  es el  $e$ -centro de la  $h$ -recta  $AB$ .

Sea  $P$  el pie de la  $h$ -altura  $h_1$ . Como  $h_1$  es perpendicular a  $l$  ( $P$  es el  $e$ -centro de la  $h$ -recta  $BC$ ). Sea  $Q$  el pie de la  $h$ -altura  $h_2$  ( $Q$  es el  $e$ -centro de la  $h$ -recta  $AC$ ).

Como los  $e$ -triángulos  $BPQ$  y  $CPQ$  son rectángulos,

$(BP)^2 = (PQ)^2 + (QB)^2$  y  $(CP)^2 = (PO)^2 + (OC)^2$   
y como  $BP = CP$  ( $C$  es el  $e$ -centro de  $BC$ ),  $(BP)^2 = (CP)^2$

y así  $(PQ)^2 + (QB)^2 = (PO)^2 + (OC)^2$

de donde  $(PQ)^2 = (PO)^2 + (OC)^2 - (QB)^2 \dots (1)$ .

Análogamente, los  $e$ -triángulos  $APQ$  y  $CQO$  son rectángulos por lo que  $(QA)^2 = (AP)^2 + (PQ)^2$  y  $(CQ)^2 = (QO)^2 + (OC)^2$ .

y como  $(QA)^2 = (CQ)^2$  ( $Q$  es el  $e$ -centro de  $AC$ ),

$(AP)^2 + (PQ)^2 = (QO)^2 + (OC)^2$ , de donde

$(PQ)^2 = (QO)^2 + (OC)^2 - (AP)^2 \dots (2)$

de (1) y (2) tenemos que

$$(PO)^2 + (OC)^2 - (QB)^2 = (QO)^2 + (OC)^2 - (AP)^2 \text{ y así}$$

$$(PO)^2 + (AP)^2 = (QO)^2 + (QB)^2$$

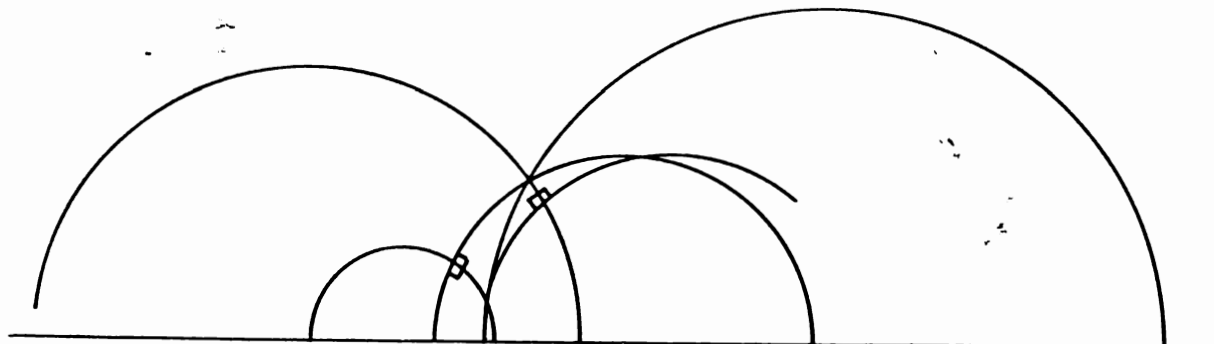
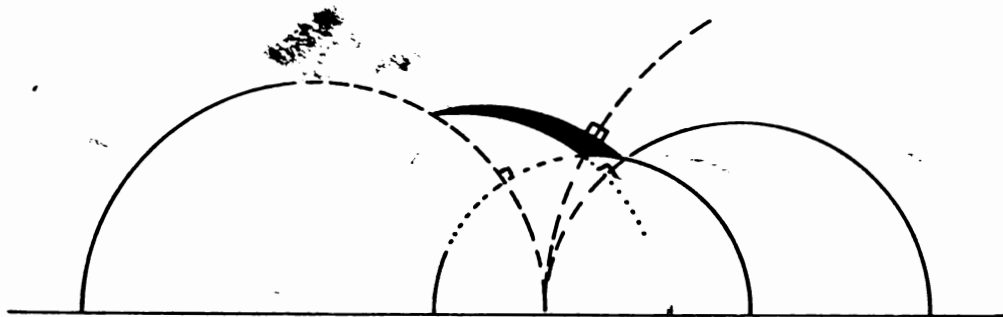
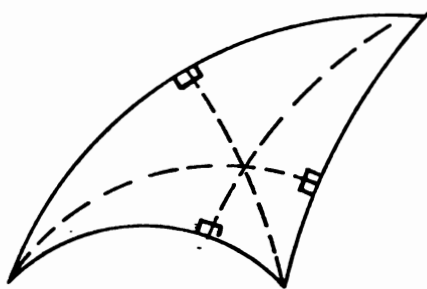
pero  $(PO)^2 + (AP)^2 = OA^2$  ( $APO$  es rectángulo)

y  $(QO)^2 + (QB)^2 = OQ^2$  ( $BQO$  es rectángulo)

y entonces  $OA^2 = OQ^2$ , por lo que  $OA = OQ$  que es lo que queríamos demostrar.

Si  $AOC$  es un  $h$ -triángulo tal que dos de sus  $h$ -alturas,  $h_A$  y  $h_B$  son  $h$ -paralelas, la tercera  $h$ -altura,  $h_C$ , es  $h$ -paralela a ambas pues si  $h_C$  intersecta, digamos a  $h_A$ ,  $h_C$  tiene que pasar por el punto de intersección de  $h_A$  y  $h_C$ , lo cual contradice que  $h_A$  y  $h_B$  sean  $h$ -paralelas.

A continuación exhibimos dos  $h$ -triángulos tales que sus  $h$ -alturas concurren y son  $h$ -triángulos cuyas  $h$ -alturas son  $h$ -paralelas.



---

Apéndice

Área de un  $\lambda$ -triángulo.

A continuación demostraremos algunas resulta-  
das que utilizaremos para definir el área  
de un  $\lambda$ -triángulo.

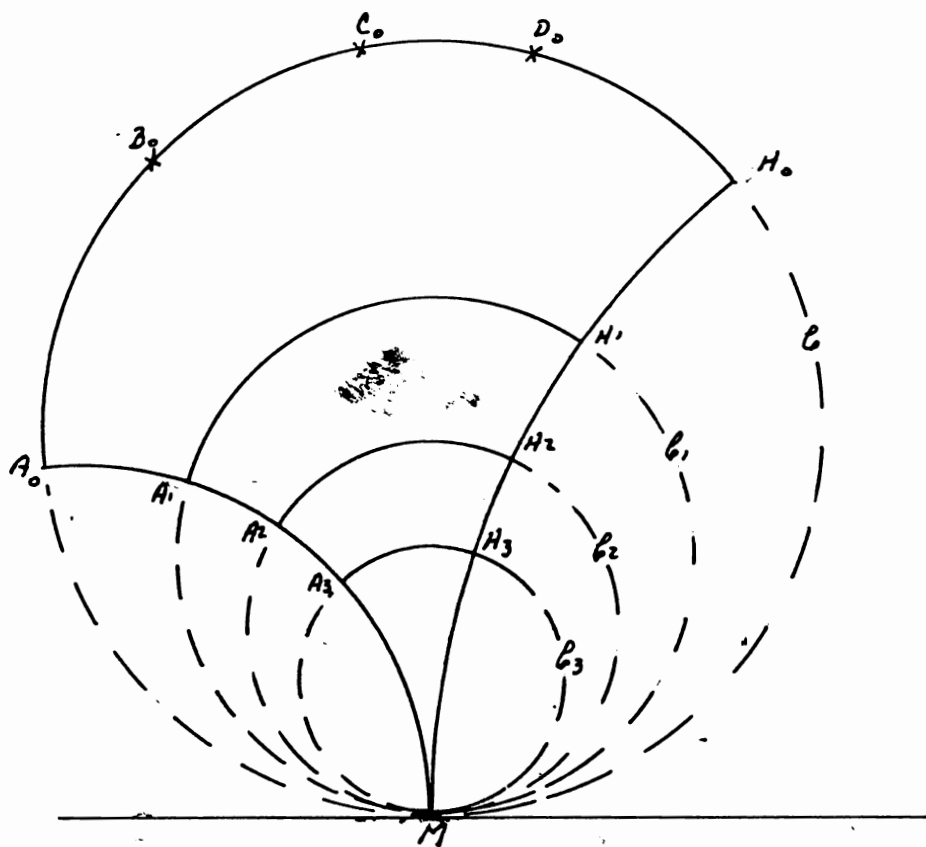
Supondremos que la función área ( $a$ ) satis-  
fice que el área de una figura cerrada  
en el sentido geométrico es ..., que  
el área de figuras congruentes es la misma  
y que si una figura está contenida dentro  
de otra, su área es menor que la de la figu-  
ra que la contiene.

Las demostraciones de los Teoremas A.2, A.3, A.4  
y A.5, son una adaptación al modelo de Poincaré  
del semiplano de demostraciones tomadas de LII.

Sean  $b$  un horocírculo de centro  $M$  y sean  $h$  y  $a$  dos  $h$ -radios del horocírculo  $b$ ; sea  $H_0A_0$  el  $h$ -arco de  $b$  determinado por  $h$  y  $a$ .

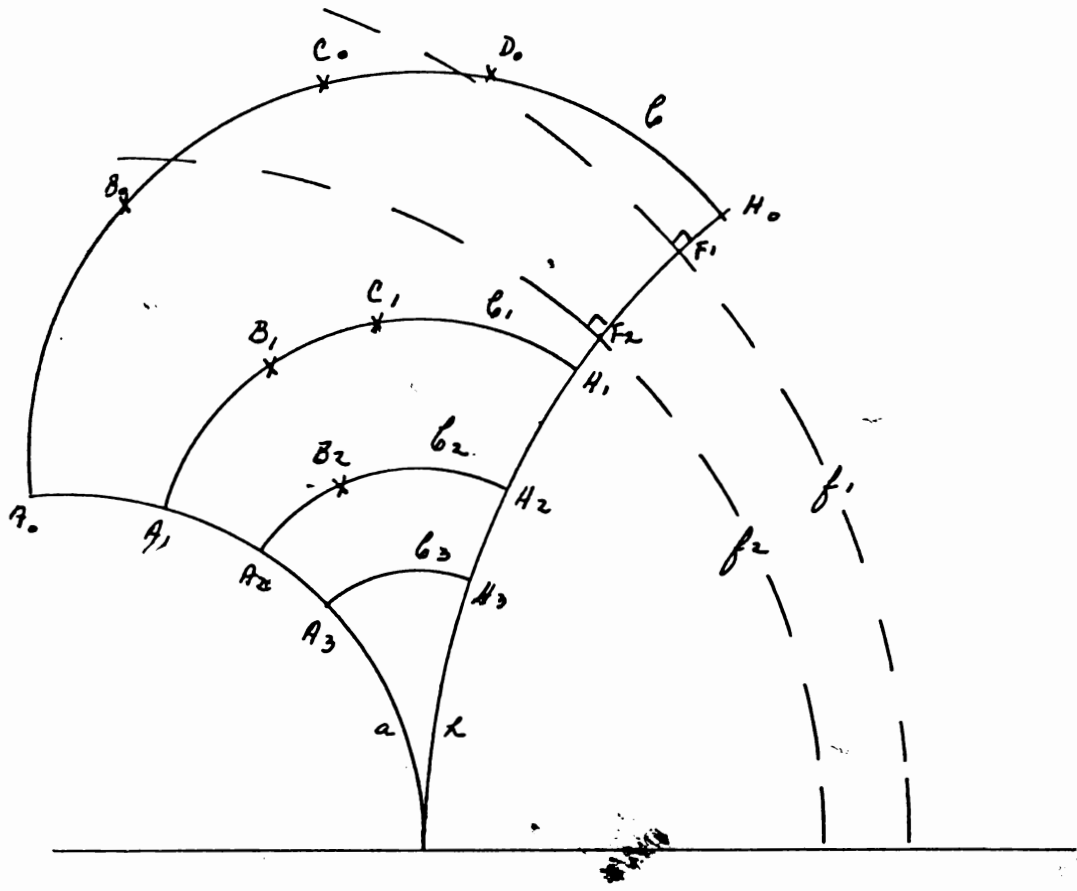
Sean  $H_1, H_2, H_3, \dots$  una sucesión de  $h$ -puntos sobre  $L$  en el "interior" de  $b$  tales que  $H_iH_{i+1} = h$  ( $H_1, H_2$   
 $i=0, 1, 2, \dots$ )

Sean  $b_1, b_2, b_3, \dots$  los horocírculos go con centro en  $M$  que pasan por  $H_1, H_2, H_3, \dots$ ; y sean  $A_1, A_2, A_3, \dots$  los  $h$ -puntos en donde  $b_1, b_2, b_3, \dots$  intersectan al  $h$ -radio  $a$ .



Indicaremos como trazar los  $h$ -puntos  $B_0, C_0, D_0, \dots$  sobre el  $h$ -arco  $HA$  tales que:

- el  $h$ -arco  $H_0B_0$  es  $h$ -congruente con el  $h$ -arco  $H_1A_1$ ;
- el  $h$ -arco  $H_0C_0$  es  $h$ -congruente con el  $h$ -arco  $H_2A_2$ ;
- el  $h$ -arco  $H_0D_0$  es  $h$ -congruente con el  $h$ -arco  $H_3A_3$  etc.



Para encontrar el h-punto  $B_0$  en  $HA_0$  tal que  $H_0B_0 = H_0A_0$  hacemos lo siguiente:

Sea  $f$  la h-isometría que transforma a  $H_0, H_1, H_2, \dots$  en  $H_1, H_2, H_3, \dots$ . Como se demostró en I.4,  $f = f_2 \circ f_1$ , donde  $f_1$  es la invención con respecto a la h-línea  $l$  orthogonal a  $l$  en el h-punto  $F_1$  en el interior de  $H_0H_1$ , tal que  $d_{F_1}^{H_0} = \frac{1}{4}d_{H_1}^{H_0}$ ; y  $f_2$  es la invención con respecto a la h-perpendicular a  $l$  en el h-punto  $F_2$  en el interior de  $H_0H_1$ , tal que  $d_{F_2}^{H_0} = \frac{3}{4}d_{H_1}^{H_0}$ .

La h-isometría  $f$  transforma al horocírculo  $C$  en el horocírculo  $C_1$ , pues como  $C$  es un e-círculo tangente a  $l$  en  $x$  y  $f(l) = M$  (ver sección ),  $f(C)$  también lo es un e-círculo tangente al eje  $x$  en  $M$ ; y como  $f(H_0) = H_1$ ,  $f(C)$  es el e-círculo tangente en  $M$  al eje  $x$  y que pasa por  $H_1$ ; es decir,  $f(C)$  es el horocírculo  $C_1$ . Entonces el h-punto  $\delta$  tal que  $f(\delta) = A_3$ , está sobre  $C_1$ .

Es posible demostrar que  $\delta$  no sólo está sobre  $C_1$ , sino que  $\delta$  está entre  $H_0$  y  $A_0$ . Así, tenemos un h-punto  $B$  en el interior del h-arc  $H_0A_0$  tal que  $f(B) = A_1$ . Y como  $f(H_0) = H_1$ ,  $f$  transforma al h-arc  $H_0C$  en el h-arc  $H_1A_1$ , por lo que estos h-arcos son h-congruentes.

(Para encontrar  $\delta$ , basta aplicar a  $A$ , la  $h$ -isometría  $f^{-1}$  inversa de  $f$ ; es decir, basta aplicar a  $f_A$ ,  $f_2$  seguida de  $f_1$ .

Para encontrar el  $h$ -punto  $C$  en  $H_0 A$  tal que el  $h$ -arco  $HC$  es  $h$ -congruente con el  $h$ -arco  $H_2 A_2$ , encontramos primero  $f^{-1}(A_2)$ .

$f^{-1}(A_2)$  es un  $h$ -punto  $B$ , sobre el  $h$ -arco  $H A$ , (pues  $f(B_1) = B_2$ ).

Después, encontramos  $f^{-1}(B_1)$ .  $f^{-1}(B_1)$  es un  $h$ -punto  $C$  sobre el  $h$ -arco  $HA$  (pues  $f(C) = B_1$ ); así  $C$  es un  $h$ -punto sobre  $HA$  tal que

$$f^2(C) = f(f(C)) = f(B_1) = A_2 .$$

$$\text{y como } f^2(H) = f(f(H)) = f(H_1) = H_2 ,$$

tenemos que  $f(HC) = H_2 A_2$ , por lo que

$$HC =_h H_2 A_2 .$$

Análogamente, para encontrar el  $h$ -punto  $D$  tal que  $H_0 D =_h H_3 A_3$ , encontramos el  $h$ -punto  $B_2$  tal que  $f(B_2) = A_3$  ( $B_2$  está en  $B_2$ ); después el  $h$ -punto  $C$ , tal que  $f(C) = B_2$  ( $C$ , está en  $B_1$ ), y finalmente el  $h$ -punto  $D$  tal que  $f(D) = C$ , ( $D$  está en  $B$ ).

Así,  $D$  es un  $h$ -punto en el  $h$ -arco  $H_0 A$  tal que  $f^3(D) = A_3$ . Y como  $f^3(H_0) = H_3$ , tenemos que  $f^3(H_0 D) = H_3 A_3$ , por lo que  $H_0 D =_h H_3 A_3$ .

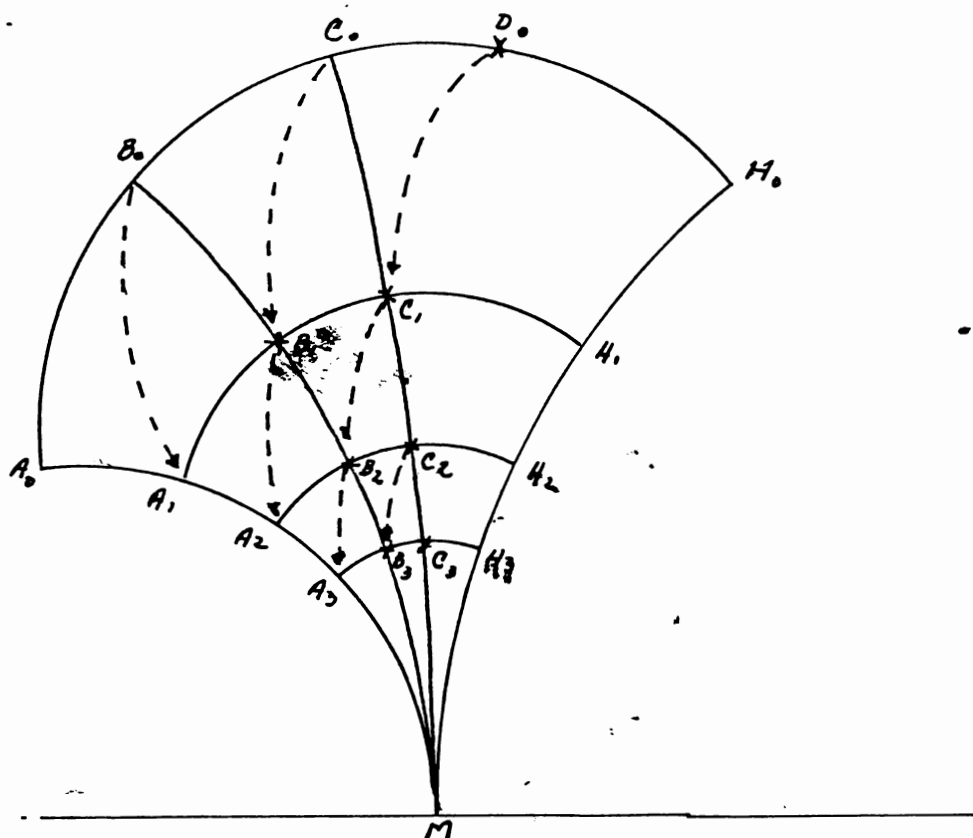
Procediendo de la misma manera, tenemos que

$$E = [f^{-1}(A_4)]^4, \quad F = [f^{-1}(A_5)]^5, \quad G = [f^{-1}(A_6)]^6 \text{ etc.}$$

Observemos ahora que, como  $A_1, A_2, A_3, \dots$  son colineales, y  $f''(A_1) = B_0$ ;  $f''(A_2) = B_1$ ;  $f''(A_3) = B_2$  etc., los  $h$ -puntos  $B_0, B_1, B_2$  también son colineales. Además, como  $f''(M) = M$ , la  $h$ -recta que contiene a  $B_0, B_1, B_2, \dots$  es el  $h$ -radio por  $B_0$  del horocírculo.

Análogamente, como  $(f^{-1})^2$  transforma a  $A_2$  en  $C_0$ ; a  $A_3$  en  $C_1$ ; a  $A_4$  en  $C_2$  etc.  $C_0, C_1, C_2, \dots$  son colineales y la  $h$ -recta que pasa por ellas es el  $h$ -radio por  $C_0$  de  $f$ .

$D_0, D_1, D_2, \dots$  están sobre el  $h$ -radio de  $C$  por  $D_0$  y así sucesivamente.



Haremos demostrar entonces el siguiente resultado:

**Teorema A.1** - Si  $HAH$  es un sector de horocírculo con centro en  $M$ ;  $H_1, H_2, H_3, \dots$   $h$ -puntos sobre el  $h$ -radio  $HAH$  tales que  $HH_1 =_h H_1 H_2 =_h H_2 H_3 \dots$ ;  $A_1, A_2, A_3, \dots$  los puntos en donde los horocírculos con centro en  $M$  que pasan por  $H_1, H_2, H_3, \dots$  intersectan al  $h$ -radio  $HAH$ ;  $B_0, C_0, D_0, \dots$  puntos en el  $h$ -arcos  $HA$  tales que  $HB_0 =_h H_1 A_1$ ;  $HC_0 =_h H_2 A_2$ ;  $HD_0 =_h H_3 A_3, \dots$  y  $B_i, C_i, D_i, \dots$ ,  $i=1, 2, 3, \dots$  los  $h$ -puntos en donde los  $h$ -radios  $B_0 H, C_0 H, D_0 H$  etc. intersectan a los  $h$ -arcos  $H_1 A_1, H_2 A_2, H_3 A_3, \dots$  la  $h$ -isometría  $f$  que transforma a la sucesión  $H, H_1, H_2, \dots$  en la sucesión  $H, H_2, H_3, \dots$  transforma a  $B_i$  en  $A_{i+1}$ ; a  $C_i$  en  $B_{i+1}$ ; a  $D_i$  en  $C_{i+1}$  etc.

Teorema A.2 Todo sector de horacícto tiene área finita.

Sea  $HAM$  un sector de horacícto. Sean  $H_i, A_i, B_i, C_i$  etc como en el teorema anterior.

Por el Teorema anterior, existe una  $\lambda$ -isometría que transforma a  $H_i$  en  $H_{i+1}$ , y a  $B_i$  en  $A_{i+1}$ ; a  $C_i$  en  $B_{i+1}$ ; a  $D_i$  en  $C_{i+1}$ , etc.

Así,  $C_i C_0 B_0 B_i = \lambda B_2 B_1 A_1 A_2$  y

$D_0 D_i C_0 C_i = \lambda C_2 C_1 B_1 B_2 = \lambda B_3 B_2 A_2 A_3$ ; es decir  
 $D_0 D_i C_0 C_i = \lambda B_3 B_2 A_2 A_3$ .

Análogamente,  $E_i E_0 D_0 D_i = \lambda B_4 B_3 A_3 A_4$ ;  $F_i F_0 E_0 E_i = \lambda B_5 B_4 A_4 A_5$  etc. y así,

$H_i H_0 A_0 A_i = \lambda B_0 A_0 M$ , de donde  $a(H_i H_0 A_0 A_i) = a(B_0 A_0)$

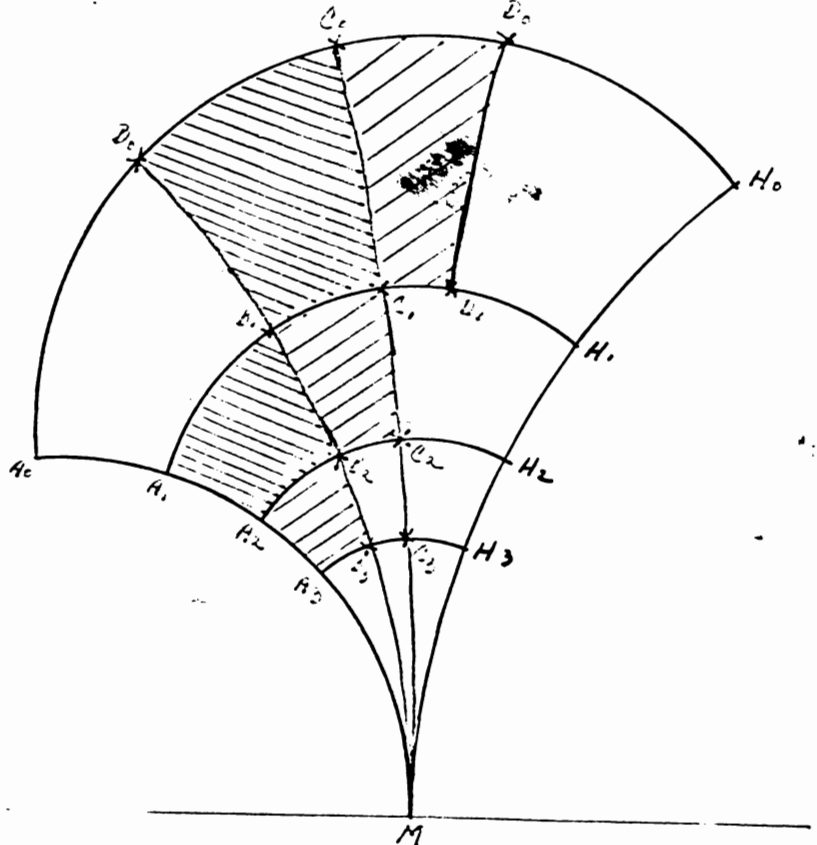
y como  $H_i H_0 A_0 A_i$  tiene área finita por ser una figura cerrada desde el punto de vista geométrico,  $B_0 A_0 M$  también tiene área finita.

Però si  $a(B_0 A_0 M)$  es finita,  $a(H_0 A_0 M)$  también es finita.

pues

$$a(H_0 A_0 M) = a(B_0 A_0 M) \cdot \frac{H_0 A_0}{B_0 A_0}$$

y así todo sector de horacícto tiene área finita.



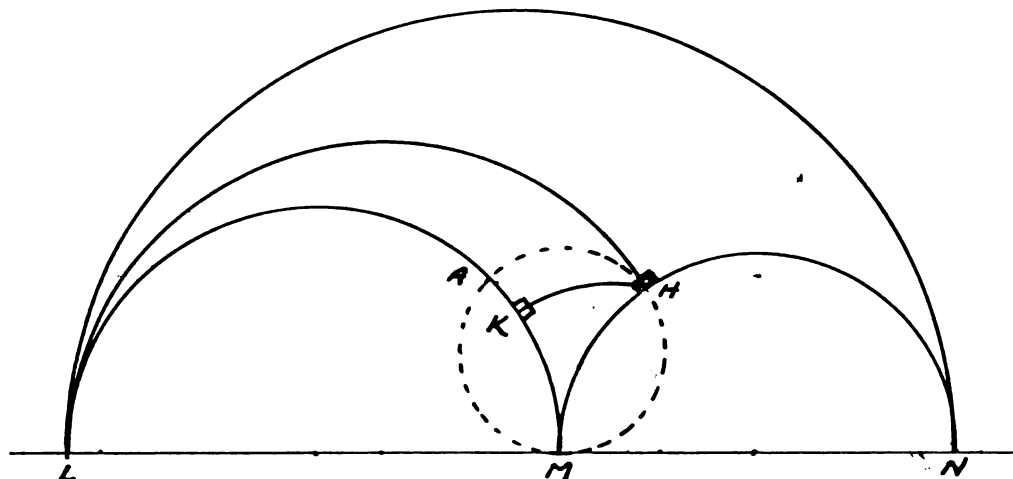
Teorema A.3 Todo  $\lambda$ -triángulo 3-asintótico tiene área finita.

Sea  $LHM$  un  $\lambda$ -triángulo 3-asintótico. Sea  $LH$  la  $\lambda$ -perpendicular a  $MN$  desde  $L$  y sea  $HK$  la  $\lambda$ -perpendicular a  $ML$  desde  $H$ . Sea  $\sigma$  el horocírculo con centro en  $M$  que pasa por  $H$ , y sea  $A$  la intersección de  $\sigma$  y  $LH$ . El  $\lambda$ -triángulo 1-asintótico  $KHM$  está comprendido dentro del sector de horocírculo  $HAM$ , que tiene área finita, por lo que  $a(KHM)$  es finita.

La inversión con respecto a  $HK$  transforma a  $HKL$  en  $HKM$ , ya lo que  $HKL \sim HKM$  y entonces  $a(HKL) = a(HKM)$ , de donde  $HKL$  tiene área finita. Así, el  $\lambda$ -triángulo  $HLN$  tiene también área finita ( $a(HLN) = a(HKL) + a(HKM)$ ).

Análogamente, la inversión con respecto a  $LH$  transforma a  $HKM$  en  $HLN$ , por lo que  $HLN$  tiene área finita.

y como  $a(LMN) = a(HLN) + a(HLM)$ ,  $LMN$  tiene área finita y así todos los  $\lambda$ -triángulos 3-asintóticos tienen área finita.



Como se demostró en la sección IV.2, todos los  $\lambda$ -triángulos 3-asintóticos son  $\lambda$ -congruentes (teor. IV.4), y así, todos los  $\lambda$ -triángulos 3-asintóticos tienen la misma área.

Sea  $\lambda\pi$  el área de los  $\lambda$ -triángulos 3-asintóticos.

Teorema A.4 El área de un  $k$ -triángulo 2-asintótico de ángulo  $\alpha$  es  $h(\pi - \alpha)$ , donde  $h$  es la misma constante que aparece en el área de los  $k$ -triángulos 3-asintóticos.

Sea  $AMN$  un  $k$ -triángulo 2-asintótico con vértices al infinito  $M$  y  $N$ . Sea  $AH$  una  $k$ -recta por  $A$  en el interior del  $k$ -ángulo en  $A$  del  $k$ -triángulo y sea  $L$  el punto al infinito de  $AH$  entre  $M$  y  $N$ .

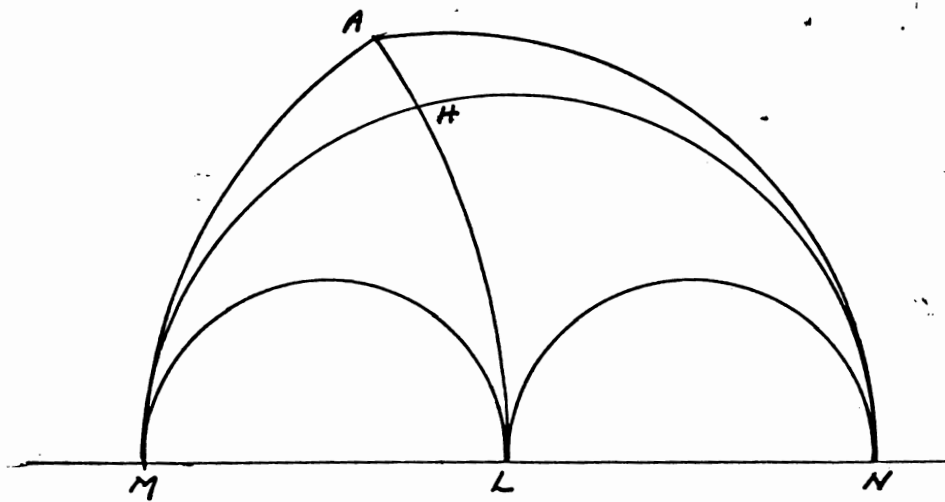
Entonces  $a(AMLN) = a(LAM) + a(NAL)$ ,  
 $a(AHLN) = a(NMA) + a(NHL)$ , y tenemos  
 $a(LAM) + a(NAL) = a(NMA) + a(NHL) \dots (1)$

Intentando definir el área de un  $k$ -triángulo 2-asintótico como función de su ángulo, tenemos que:  
 $a(LAM) = a(x)$  donde  $x = a(LAM)$ ;  
 $a(NAL) = a(y)$  donde  $y = a(NAL)$ ;

$a(NMA) = a(x+y)$ .

Sustituyendo estos valores en (1) tenemos

$a(x) + a(y) = a(x+y) + a(LMN)$ , donde  $LMN$  es 3-asintótico y por lo tanto de área  $h\pi$ , y así  
 $a(x) + a(y) = a(x+y) + h\pi$ .



Consideremos la expresión

$$a(x) + a(y) = a(x+y) + h\pi$$

Dando a  $y$  fijo y variando  $x$ , derivemos la expresión con respecto a  $x$ , y obtenemos

$$a'(x) = a'(x+y)$$

y como  $y$  es arbitraria, tenemos que  $a'(x)$  es constante, de donde  $a$  es una función de la forma  $a(\theta) = m\theta + b$ .

En el caso en que  $\theta=0$ , lo que tenemos es un 1-tríngulo 2-asintótico, siendo un 1-tríngulo 3-abintótico, por lo que

$$a(0) = h\pi \text{ para } \theta=0$$

y cuando  $\theta=\pi$ , los tres vértices del 1-tríngulo son colineales, por lo que

$$a(\pi) = 0 \text{ para } \theta=\pi$$

Tenemos entonces que

$$m\pi + b = 0$$

$$m \cdot 0 + b = h\pi$$

de donde  $b = h\pi$  y  $m = -h$ ,

y así,  $a(\theta) = m\theta + b = -h\theta + h\pi = h(\pi - \theta)$

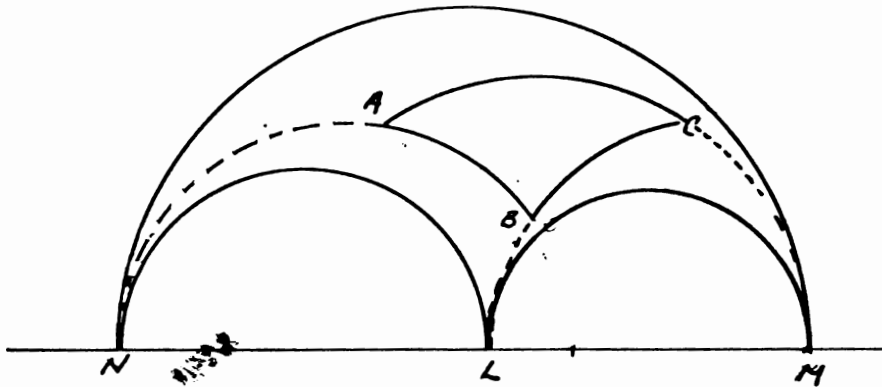
es decir, el área de un 1-tríngulo 2-asintótico de ángulo  $\theta$  es  $h(\pi - \theta)$ , donde  $h$  es la misma constante que aparece en el área de los 1-tríngulos 3-asintóticos.

Teatema A.5 El área de un h-tríngulo cuyas vértices están en el h-plant es  $h d$ , donde  $h$  es una constante y  $d$  es el defecto del h-tríngulo.

Sea  $AOC$  un h-tríngulo cuyas vértices están en el h-plant.

sea  $N$  el punto al infinito izquierdo de la h-secta  $AB$  (ver figura);  $L$  el punto al infinito al la h-secta  $BC$ , y  $M$  el punto al infinito derecho de la h-secta  $CA$ .

sea  $LMN$  el h-tríngulo 3-simétrico  $LMN$ .



$$\text{Entonces } a(LMN) = a(ABC) + a(AMN) + a(BNL) + a(CLM)$$

$$\text{y así } a(AOC) = a(LMN) - a(AMN) - a(BNL) - a(CLM).$$

donde

$$a(LMN) = h\pi$$

$$a(AMN) = h(\pi - \alpha_{MAN}) = h(\pi - (\pi - A)) = hA$$

$$a(BNL) = h(\pi - \alpha_{NBL}) = h(\pi - (\pi - B)) = hB$$

$$a(CLM) = h(\pi - \alpha_{LCM}) = h(\pi - (\pi - C)) = hC$$

y así,

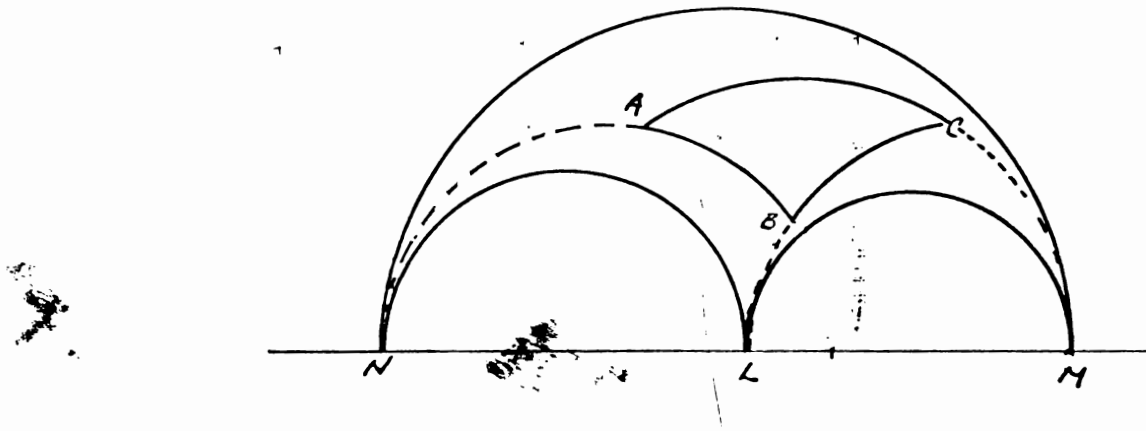
$$a(AOC) = h\pi - hA - hB - hC = h(\pi - A - B - C) = hd$$

donde  $d$  es el defecto de  $AOC$ .

Teorema A.5 El área de un  $k$ -triángulo cuyas vértices están en el  $k$ -plan es  $\lambda d$ , donde  $\lambda$  es una constante y  $d$  es el defecto del  $k$ -triángulo.

Sea  $AOC$  un  $k$ -triángulo cuyas vértices están en el  $k$ -plan.

sea  $N$  el punto al infinito izquierdo de la  $k$ -recta  $AO$  (ver figura);  $L$  el punto al infinito del la  $k$ -recta  $OC$ , y  $M$  el punto al infinito derecho de la  $k$ -recta  $CA$ .  
sea  $LHM$  el  $k$ -triángulo  $3$ -asintótico  $LHM$ .



$$\text{Entonces } a(LHM) = a(ASC) + a(AMN) + a(ONL) + a(CLM)$$

$$\text{y así } a(AOC) = a(LHM) - a(AMN) - a(ONL) - a(CLM).$$

donde

$$a(LMN) = \lambda \pi$$

$$a(AMN) = \lambda (\pi - s_{MAN}) = \lambda (\pi - (\pi - A)) = \lambda A$$

$$a(ONL) = \lambda (\pi - s_{NOL}) = \lambda (\pi - (\pi - B)) = \lambda B$$

$$a(CLM) = \lambda (\pi - s_{CLM}) = \lambda (\pi - (\pi - C)) = \lambda C$$

y así,

$$a(AOC) = \lambda \pi - \lambda A - \lambda B - \lambda C = \lambda (\pi - A - B - C) = \lambda d$$

donde  $d$  es el defecto de  $AOC$ .

## Bibliografía

- 1 Coxeter H. S. M. Non Euclidian Geometry  
Toronto, University of Toronto  
3<sup>o</sup> ed. 1957.
- 2 Vana David An Introduction To non-euclidean geometry  
New York, Academic Press  
1973
- 3 Heath Thomas L. The Thirteen book of Euclid's elements.  
(traducción comentada del texto de Hersey).  
New York, Dover  
2<sup>a</sup> ed. 1956
- 4 David Foundations of Geometry  
Open Court, La Salle, Illinois  
6<sup>o</sup> ed. 1971
- 5 Mosekowaki H. Non euclidean Geometry  
New York Academic Press  
1964
- 6 Santalo Luis Geometrias no euclidianas  
Editorial Univeritaria de Buenos Aires  
1961
- 7 Shurly Lee S. Introducción a la geometría moderna  
Compañía Editorial Continental Mex DF  
8<sup>a</sup> ed. 1975
- 8 Vennat Gustave Introduction à la géométrie non  
euclidienne par la méthode  
élémentaire  
Paris, Gauthier Villars  
1951